



TUGAS AKHIR - TM184835

PERANCANGAN DAN ANALISIS SISTEM *POWER DAN DRIVE TRAIN* SEPEDA MOTOR BERTENAGA *HYBRID* DENGAN KAPASITAS 110 CC

LAKSITA ANGGADEWI
NRP 02111640000034

Dosen Pembimbing:
Prof. Ir. I Nyoman Sutantra, M.Sc., Ph.D

DEPARTEMEN TEKNIK MESIN
Fakultas Teknologi Industri dan Rekayasa Sistem
Institut Teknologi Sepuluh Nopember
Surabaya 2020



TUGAS AKHIR – TM184835

**PERANCANGAN DAN ANALISIS SISTEM *POWER*
DAN *DRIVETRAIN* PADA SEPEDA MOTOR
BERTENAGA *HYBRID* DENGAN KAPASITAS 110 CC**

LAKSITA ANGGADEWI
NRP 02111640000034

Dosen Pembimbing:
Prof. Ir. I Nyoman Sutantra, M.Sc., Ph.D

DEPARTEMEN TEKNIK MESIN
Fakultas Teknologi Industri dan Rekayasa Sistem
Institut Teknologi Sepuluh Nopember
Surabaya 2020



FINAL PROJECT – TM184835

DESIGN AND ANALYSIS OF POWER AND DRIVETRAIN SYSTEM ON 110 CC HYBRID MOTORCYCLE

LAKSITA ANGGADEWI
NRP 02111640000034

Advising Lecturer:
Prof. Ir. I Nyoman Sutantra, M.Sc., Ph.D.

MECHANICAL ENGINEERING DEPARTMENT
Faculty of Industrial Technology and Systems
Engineering
Institut Teknologi Sepuluh Nopember
Surabaya 2020

**PERANCANGAN DAN ANALISIS SISTEM POWER DAN
DRIVETRAIN PADA SEPEDA MOTOR BERTENAGA
HYBRID DENGAN KAPASITAS 110 CC**

TUGAS AKHIR

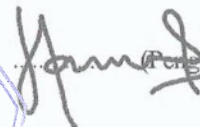
Diajukan Untuk Memenuhi Salah Satu Syarat
Memperoleh Gelar Sarjana Teknik
Program Studi S-1 Departemen Teknik Mesin
Fakultas Teknologi Industri dan Rekayasa Sistem
Institut Teknologi Sepuluh Nopember

Oleh :

Laksita Anggadewi

NRP. 02111640000034

Disetujui oleh:

1. Prof. Ir. I Nyoman Sutantra, M. Sc., Ph.D.  (Pembimbing)
NIP. 195106051978031002
2. Dr. Eng. Yohanes, S.T., M.Sc.  (Penguji I)
NIP. 198006272012121003
3. Dr. Eng. Unggul Wasiwitono, S.T., M.Eng.Sc.  (Penguji II)
NIP. 197805102001121001
4. Prof. Dr. Harus Laksana Guntri, S.T., M.Eng.  (Penguji III)
NIP. 19750511199903-001



**PERANCANGAN DAN ANALISA SISTEM POWER
DAN DRIVETRAIN PADA SEPEDA MOTOR
BERTENAGA HYBRID DENGAN KAPASITAS
110CC**

Nama Mahasiswa : Laksita Anggadewi

NRP : 02111640000034

Departemen : Teknik Mesin FTIRS-ITS

**Dosen Pembimbing: Prof. Ir. I Nyoman Sutantra, M.Sc.,
Ph.D**

ABSTRAK

Jumlah pengguna kendaraan bermotor di Indonesia semakin meningkat setiap tahunnya. Berdasarkan data dari Badan Pusat Statistik Indonesia sampai dengan tahun 2018, jumlah kendaraan bermotor di Indonesia meningkat hingga menyentuh angka 146.858.759 unit dari 137.211.818 unit pada tahun 2017 dengan jenis kendaraan bermotor yang paling banyak digunakan adalah sepeda motor dengan jumlah 120.101.047 unit. Dengan jumlah pengguna kendaraan bermotor yang tinggi maka konsumsi bahan bakar semakin banyak juga. Jika pertumbuhan penemuan sumber minyak yang baru dan pertumbuhan pemakaian minyak bumi dianggap tetap seperti kondisi sekarang, maka diprediksi jika sekitar tahun 2038 ketersediaan minyak dunia akan defisit sedangkan konsumsinya melebihi dari ketersediaannya. Langkah antisipasi yang harus dilakukan agar dapat mengurangi pemakaian minyak bumi adalah pengembangan teknologi sarana transportasi yang seminimal mungkin menggunakan bahan bakar minyak. Oleh karena itu, salah satu teknologi yang dapat mengatasi permasalahan ini adalah sistem penggerak hybrid yang diterapkan pada sepeda motor, dimana sepeda motor memiliki perpaduan mesin BBM dan motor listrik disatukan.

Pada tugas akhir ini terdapat dua tahapan, yang pertama adalah tahap perhitungan dan yang kedua adalah tahap analisa. Dalam tahap perhitungan langkah-langkah yang dilakukan adalah

melakukan perhitungan gaya hambat total yang meliputi gaya hambat aerodinamis, rolling resistance dan gaya hambat gradien, lalu dilakukan perhitungan spesifikasi motor dan baterai, selanjutnya perhitungan karakteristik traksi, karakteristik daya pada setiap moda berkendara, lalu perhitungan konsumsi energi. Kemudian untuk tahap analisa akan dilakukan analisa terhadap karakteristik traksi dan karakteristik daya pada setiap moda berkendara, dan konsumsi energi.

Pada penelitian ini diperoleh spesifikasi motor yang sesuai adalah QS 10inch 3000 W 205 50H BLDC Hub motor dengan peak power sebesar 6 kW dan baterai Li-Ion dengan kapasitas 60 V 25 Ah . Pada moda berkendara murni penggerak listrik (pure electric) gaya traksi maksimum senilai 663,424 N dan mampu mencapai kecepatan maksimum sebesar 118,243 km/jam, kemudian pada moda berkendara hybrid mampu melawan gaya traksi maksimum senilai 663,424 N dan mampu mencapai kecepatan maksimum sebesar 118,243 km/jam, dan pada moda berkendara penggerak mesin dan pengisi ACCU mampu melawan gaya traksi maksimum senilai 663,424 N dan mampu mencapai kecepatan maksimum sebesar 94,67 km/jam. Konsumsi energi listrik sepeda motor hybrid seri sebesar 0,0203 kWh/km, sedangkan konsumsi bahan bakar pada sepeda motor hybrid seri sebesar 94,33 km/liter.

Kata Kunci: sepeda motor *hybrid*, karakteristik traksi, karakteristik daya, konsumsi energi.

DESIGN AND ANALYSIS OF POWER AND DRIVETRAIN SYSTEM ON HYBRID MOTORCYCLE 110CC

Student Name	: Laksita Anggadewi
NRP	: 02111640000034
Major	: Teknik Mesin FTIRS-ITS
Advisor	: Prof. Ir. I Nyoman Sutantra, M.Sc., Ph.D

ABSTRACT

The number of motor vehicle users in Indonesia is increasing every year. Based on data from Badan Pusat Statistik Indonesia on 2018, the number of motorized vehicles in Indonesia has increased to reach 146,858,759 units from 137,211,818 units in 2017 with the most widely used type of motorized vehicle is motorbikes with a total of 120,101,047 units . With the high number of motorized vehicle users, the fuel consumption will also increase. If the growth in discoveries of new oil sources and the growth in the use of petroleum are considered to remain the same as current conditions, it is predicted that around 2038 the availability of world oil will be in deficit while consumption exceeds its availability. The anticipatory step that must be taken in order to reduce the use of petroleum is the development of transportation technology that uses fuel oil as minimum as possible. Therefore, one of the technologies that can overcome this problem is the hybrid drive system applied to motorbikes, where the motorbike has a combination of a fuel engine and an electric motor combined.

In this final project, there are three stages, the first is regarding the concept of vehicle design, then the second is the calculation phase and the third is the analysis phase. In the calculation phase the steps taken are calculating the drag force which contains aerodynamic drag, rolling resistance and gradient drag, then calculating the motor and battery specifications, then calculating traction characteristics, power characteristics in each

driving mode, then calculating energy consumption . Furthermore, for the analysis stage, an analysis of the traction characteristics and power characteristics in each driving mode will be carried out.

In this study, the corresponding motor specifications are QS 10inch 3000 W 205 50H BLDC Hub motor with a peak power of 6 kW and a Li-Ion battery with a capacity of 60 V 25 Ah. In pure electric driving mode, the maximum traction force is 663,424 N and is capable of reaching a maximum speed of 118,243 km / hour, then in the hybrid driving mode it is able to fight the maximum traction force of 663,424 N and can reach a maximum speed of 118,243 km / hour. , and in driving mode the ACCU engine drive and filler are able to withstand a maximum traction force of 663,424 N and are capable of reaching a maximum speed of 88,954 km / h. The electric energy consumption of the series hybrid motorcycles is 0.0305 kWh / km, while the fuel consumption of the series hybrid motorcycles is 94,33 km / liter.

Keywords: Hybrid motorcycle, traction characteristic, power characteristic, energy consumption.

KATA PENGANTAR

Segala puji dan syukur penulis panjatkan kepada Allah SWT karena berkat serta karunia-Nya, penulis dapat menyelesaikan laporan tugas akhir yang berjudul “**Perancangan dan Analisis Sistem Power dan Drivetrain Pada Sepeda Motor Bertenaga Hybrid Dengan Kapasitas 110 cc**” dengan lancar dan baik.

Tujuan pembuatan laporan tugas akhir ini sebagai salah satu syarat kelulusan pendidikan S1 yang harus dipenuhi oleh mahasiswa S1 Departemen Teknik Mesin–Institut Teknologi Sepuluh Nopember, sesuai dengan kurikulum yang telah ditentukan.

Dalam proses penyusunan laporan tugas akhir ini penulis mendapatkan banyak bantuan dalam pengambilan data dan informasi, petunjuk, dan arahan dari berbagai pihak. Oleh karena itu, penulis mengucapkan terimakasih kepada :

1. Tuhan Yang Maha Esa, yang telah memberikan kesempatan, kesehatan, dan kekuatan dalam melakukan penyusunan laporan tugas akhir ini.
2. Keluarga penulis atas dukungan dan doa yang tidak habis diberikan kepada penulis.
3. Prof. Ir. I Nyoman Sutantra M.Sc., Ph.D., selaku dosen wali dan pembimbing tugas akhir yang telah banyak memberikan arahan dan bimbingan kepada penulis selama penulisan tugas akhir ini.
4. Dr. Eng. Yohanes, S.T., M.Sc., Dr. Eng. Ungkul Wasiwitono, S.T., M.Eng.Sc., dan Prof. Dr. Harus Laksana Guntur, S.T., M. Eng. selaku dosen pengujii yang telah membantu memperbaiki dan memberikan arahan dalam penyusunan tugas akhir ini.
5. Rekan-rekan satu bimbimbingan Vano, Bella, Valen, Marcel, Ayub, Chris, dan Alex yang telah membantu

dalam hal diskusi.

6. Seluruh civitas akademika Departemen Teknik Mesin ITS yang telah memberikan fasilitas dan membantu dalam proses penyusunan tugas akhir ini.
7. Serta seluruh pihak yang telah membantu penulis selama proses penyusunan tugas akhir ini.

Penulis berharap laporan tugas akhir ini dapat bermanfaat bagi penulis, pembaca, mahasiswa, dan masyarakat luas. Namun penulis sadar bahwa masih ada kekuarangan dan kesalahan dalam proses penyusunan dan penulisan tugas akhir ini ini. Oleh karena itu, penulis mohon maaf dan berharap adanya kritik dan saran dari semua pihak guna memperbaiki laporan ini.

Surabaya, Agustus 2020

Penulis

DAFTAR ISI

ABSTRAK	i
ABSTRACT	iii
KATA PENGANTAR	v
DAFTAR ISI.....	vii
DAFTAR GAMBAR	xiii
DAFTAR TABEL.....	xvii
BAB 1 PENDAHULUAN	1
1.1 Latar Belakang.....	1
1.2 Rumusan Masalah.....	2
1.3 Tujuan	3
1.4 Batasan Masalah	3
1.5 Manfaat Penelitian	3
BAB 2 DASAR TEORI	5
2.1 Penelitian Terdahulu.....	5
2.2 Kendraan Hybrid	8
2.2.1. Hybrid Seri	8
2.2.2. Hybrid Paralel	12
2.2.3. Hybrid Seri-Paralel.....	13
2.3 Komponen Sistem Penggerak.....	14
2.3.1 Mesin Pembakaran Dalam (Internal Combustion Engine / ICE).....	14
2.3.2 Generator	15

2.3.3	Motor Listrik	15
2.4	Dinamika Kendaraan	17
2.4.1	Gaya Hambat Angin (Drag Force)	18
2.4.2	Gaya Hambat Rolling (Rolling Resistance)	19
2.4.3	Gaya Hambat Tanjakan (Gradient Resistance)	20
2.5	Analisa Kebutuhan Torsi dan Tenaga	21
2.5.1.	Gaya Dorong Kecepatan Tetap dengan Operasi pada Jalan Datar	21
2.5.2.	Gaya Dorong Kecepatan Tetap dengan Operasi pada Jalan Menanjak	22
2.5.3.	Gaya Dorong Kecepatan Berubah dengan Operasi pada Jalan Datar	22
2.5.4.	Gaya Dorong Kecepatan Berubah dengan Operasi pada Jalan Menanjak	23
2.6	Kebutuhan Torsi dan Tenaga.....	23
2.7	Sistem Transmisi Kendaraan	24
2.8	Karakteristik Traksi Kendaraan.....	26
2.9	Karakteristik Power Kendaraan.....	28
2.10	Pengelolaan Energi	29
2.11	Konsumsi Energi	29
2.12	Driving Cycle	31
2.12.1	WMTC Part 1	32
2.11.2	WMTC Part 2	32
2.11.3	WMTC Part 3	33

BAB 3 METODOLOGI PENELITIAN	35
3.1 Metodologi Penelitian.....	35
3.2 Data dan Spesifikasi Acuan Kendaraan.....	37
3.3 Konsep Rancangan	38
3.4 Analisis Moda Kendaraan.....	39
3.4.1 Moda Murni Penggerak listrik (Pure Electric Traction Mode).....	39
3.4.3 Moda Penggerak Hybrid (Hybrid Traction Mode)	41
3.5 Flowchart Perhitungan.....	42
3.5.1 Flowchart Perhitungan Gaya Hambat pada Kendaraan.....	42
3.5.2 Flowchart Perhitungan Motor Kendaraan	44
3.5.3 Flowchart Perhitungan Baterai Kendaraan	46
3.5.4 Flowchart Analisa Karakteristik Traksi Kendaraan	48
3.5.5 Flowchart Perhitungan Karakteristik Power Kendaraan.....	49
3.5.6 Flowchart Menghitung Konsumsi Energi Kendaraan	51
BAB 4 HASIL DAN PEMBAHASAN	53
4.1 Gaya Hambat Kendaraan.....	53
4.1.1 Gaya Hambat Angin (Ra).....	53
4.1.2 Gaya Hambat Rolling (Rr)	55
4.1.3 Gaya Hambat Tanjakan (Rg).....	57

4.1.4	Gaya Hambat Total (Ft)	58
4.2	Motor Listrik.....	60
4.2.1	Perhitungan Kebutuhan Daya Motor Listrik	60
4.2.3	Perhitungan Kebutuhan Torsi Motor Listrik	61
4.2.4	Analisis Pemilihan Motor Listrik.....	62
4.3	Baterai.....	65
4.3.1	Perhitungan Baterai	65
4.3.2	Spesifikasi Baterai.....	66
4.4	Karakteristik Traksi Kendaraan.....	67
4.4.1	Karakteristik Traksi Moda Murni Penggerak listrik (Pure Electric).....	68
4.4.2	Karakteristik Traksi Moda Hybrid	71
4.4.3	Karakteristik Traksi Moda Penggerak Mesin dan Pengisi ACCU	74
4.5	Karakteristik Daya Kendaraan.....	78
4.5.1	Karakteristik Daya Moda Murni Penggerak Listrik (Pure Electric).....	79
4.5.2	Karakteristik Daya Moda Hybrid	80
4.5.3	Karakteristik Daya Moda Penggerak Mesin dan Pengisi ACCU	83
4.6	Konsumsi Energi	85
4.6.1	Driving Cycle	85
4.6.2	Perhitungan Daya Kendaraan.....	86
4.6.3	Perhitungan Konsumsi Energi.....	87

4.6.4	Analisis Konsumsi Energi Kendaraan.....	92
BAB 5	KESIMPULAN DAN SARAN	95
5.1	Kesimpulan	95
5.2	Saran	97
DAFTAR PUSTAKA	99	
Lampiran 1	102	
Lampiran 2	103	
Lampiran 3	106	
Lampiran 4	109	
Lampiran 5	112	
Lampiran 6	115	
BIODATA PENULIS	128	

Halaman Sengaja Dikosongkan

DAFTAR GAMBAR

Gambar 2.1 Sepeda Motor Hybrid dengan Rangkaian Paralel plug-in tanpa generator ^[9]	5
Gambar 2.2 Spesifikasi Hub Motor 48 V rear wheel 500 W ^[9] ...	6
Gambar 2.3 Grafik perbandingan Harga BBM yang dikonsumsi terhadap jarak pada sepeda motor hybrid dan sepeda motor konvensional ^[9]	6
Gambar 2.4 Rangkaian hybrid paralel (configuration A) dan rangkaian hybrid seri (configuration B) ^[10]	7
Gambar 2.5 Skema power dan drivetrain kendaraan hybrid seri ^[3]	9
Gambar 2.6 Skema power dan drivetrain kendaraan hybrid sistem paralel ^[3]	12
Gambar 2.7 Skema power dan drivetrain kendaraan hybrid sistem seri-paralel ^[3]	14
Gambar 2.8 Karakteristik dari mesin bensin ^[13]	15
.....	16
Gambar 2.9 Karakteristik motor listrik ^[12]	16
Gambar 2.10 Dinamika kendaraan saat menanjak	17
(2.5)	18
Gambar 2.11 Koefisien hambatan rolling (fo & fs) akibat pengaruh tekanan ban ^[13]	20
Gambar 2.12 Karakteristik Traksi Kendaraan Hybrid seri ^[12]	27

Gambar 2.13 Grafik Siklus WMTC part 1 ^[14]	32
Gambar 2.14 Grafik Siklus WMTC Part 2 ^[14]	33
Gambar 2.15 Grafik Siklus WMTC Part 3 ^[14]	34
Gambar 3.1 Flowchart Penelitian Tugas Akhir	36
Gambar 3.2 Honda Revo 110 FI.....	37
Gambar 3.3 Rangkaian Hybrid Seri pada Sepeda Motor Hybrid	39
Gambar 3.4 Skema moda penggerak listrik sepeda motor hybrid seri.....	40
Gambar 3.5 Skema moda penggerak mesin dan mengisi ACCU sepeda motor hybrid seri	40
Gambar 3.6 Skema moda penggerak hybrid sepeda motor hybrid seri.....	41
Gambar 3.8 Flowchart Perhitungan Gaya Hambat.....	44
Gambar 3.8 Flowchart Perhitungan Motor.....	45
Gambar 3.9 Flowchart Perhitungan Baterai	47
Gambar 3.10 Flowchart Perhitungan Karakteristik Traksi Kendaraan	49
Gambar 3.11 Flowchart Perhitungan Karakteristik Power Kendaraan	50
Gambar 3.12 Flowchart Perhitungan Konsumsi Energi Kendaraan	52
Gambar 4.1 Grafik Gaya Hambat Angin Kendaraan	54
Gambar 4.2 Gaya Hambat Rolling Kendaraan.....	56

Gambar 4.3 Gaya Hambat Gradien	57
Gambar 4.4 Gaya Hambat Total Kendaraan	59
Gambar 4.5 Daya yang dibutuhkan kendaraan.....	61
Gambar 4.6 Spesifikasi QS 10inch 3000 W 205 50H BLDC Hub motor.	63
Gambar 4.7 Karakteristik QS 3000W 205 50H BLDC Hub Motor.	
.....	64
Gambar 4.8 Baterai Rear Rack Type 60 V 15 Ah Electric Bicycle Lithium Battery Pack	67
Gambar 4.9 Grafik Karakteristik Traksi Moda Murni Penggerak Listrik	70
Gambar 4.10 Grafik Karakteristik Traksi Moda Hybrid	73
Gambar 4.11 Grafik Karakteristik Traksi Moda Penggerak Mesin dan Pengisi ACCU	78
Gambar 4.12 Grafik Karakteristik Daya Moda Murni Penggerak Listrik.	80
Gambar 4. 13 Grafik Karakteristik Daya Moda Hybrid.....	82
Gambar 4. 14 Grafik Karakteristik Daya Moda Penggerak Mesin dan Pengisi ACCU	84
Gambar 4.16 Grafik RHP WMTC part 1	87
Gambar 4.17 Intensitas Moda Berkendara pada Driving Cycle WMTC	90

Halaman Sengaja Dikosongkan

DAFTAR TABEL

Tabel 2.1 Koefisien drag berbagai bentuk dan jenis kendaraan ^[3]	19
.....	
Tabel 2.2 Nilai efisiensi transmisi berdasarkan jenis transmisi ^[4]	25
.....	
Tabel 2.3 Tabel Karakteristik Utama Siklus WMTC part 1 ^[14] ..	32
Tabel 2.4 Tabel Karakteristik Utama Siklus WMTC Part 2 ^[14] ..	33
Tabel 2.5 Tabel Karakteristik Utama Siklus WMTC Part 3 ^[14] ..	34
Tabel 3.1 Spesifikasi Honda Revo 110 FI ^[10] ..	38
Tabel 4.1 Konsumsi energi sepeda motor hybrid seri.	93
Tabel 5.1 Spesifikasi motor listrik QS 10inch 3000 W 205 50H BLDC Hub motor.....	95
Tabel 5.2 Konsumsi energi sepeda motor hybrid seri	97

Halaman Sengaja Dikosongkan

BAB 1

PENDAHULUAN

1.1 Latar Belakang

Jumlah pengguna kendaraan bermotor di Indonesia semakin meningkat setiap tahunnya. Berdasarkan data dari Badan Pusat Statistik Indonesia sampai dengan tahun 2018, jumlah kendaraan bermotor di Indonesia meningkat hingga menyentuh angka 146.858.759 unit dari 137.211.818 unit pada tahun 2017. Sampai saat ini jenis kendaraan bermotor yang menjadi favorit penduduk Indonesia adalah sepeda motor, terbukti pada tahun 2018 sepeda motor bertahan menempati urutan pertama jenis kendaraan bermotor yang paling banyak digunakan dengan jumlah 120.101.047 unit^[2].

Dengan jumlah pengguna kendaraan bermotor yang tinggi maka konsumsi bahan bakar semakin banyak juga. Dari data yang didapatkan dari *handbook of energy and economic statistic of Indonesia* 2018, pemakaian energi nomor 1 di Indonesia adalah kegiatan transportasi yaitu sebesar 42%^[8]. Jika pertumbuhan penemuan sumber minyak yang baru dan pertumbuhan pemakaian minyak bumi dianggap tetap seperti kondisi sekarang, maka diprediksi jika sekitar tahun 2038 ketersediaan minyak dunia akan defisit sedangkan konsumsinya melebihi dari ketersediannya. Langkah antisipasi yang harus dilakukan agar dapat mengurangi pemakaian minyak bumi adalah pengembangan teknologi sarana transportasi yang seminimal mungkin menggunakan bahan bakar minyak^[12].

Selain keterbatasan ketersediaan bahan bakar minyak untuk mesin kendaraan, terdapat permasalahan-permasalahan lain yang harus bisa diatasi dalam perkembangan teknologi otomotif otomotif kedepan diantaranya adalah kualitas emisi gas buang dan kehilangan energi saat kendaraan beroperasi mencapai

80%^[12]. Maka dari itu, di beberapa negara maju sudah mulai banyak digunakan kendaraan listrik yang lebih efisien, tanpa emisi, dan berakselerasi cepat. Namun dibalik banyak kelebihan yang disuguhkan oleh kendaraan listrik, terdapat kendala dengan waktu pengisian baterai yang membutuhkan waktu lama dan harga baterai yang mahal. Oleh karena itu, untuk saat ini teknologi yang tepat untuk mengatasi permasalahan ini adalah sistem penggerak *hybrid*, dimana perpaduan mesin BBM dan motor listrik disatukan.

Dalam tugas akhir ini penulis merancang kendaraan sepeda motor berbasis tenaga *hybrid* dengan konfigurasi seri. Penulis mengembangkan sepeda motor bertenaga *hybrid* karena teknologi *hybrid* saat ini sudah banyak diaplikasikan pada kendaraan bermotor roda empat, sedangkan pengaplikasian pada kendaraan bermotor roda dua atau sepeda motor belum banyak. Padahal sampai saat ini sepeda motor adalah kendaraan bermotor yang mendominasi pasar otomotif di Indonesia. Dalam perancangan kendaraan ini diperlukan perhitungan yang tepat untuk mendapatkan jenis motor yang sesuai dengan daya yang dibutuhkan. Kemudian akan dilakukan pula analisa sistem manajemen daya yang sesuai dengan moda operasi kendaraan sehingga mampu menghasilkan sepeda motor yang hemat energi dan ramah lingkungan bagi masyarakat Indonesia. Lalu menganalisa transmisi yang dibutuhkan untuk memaksimalkan kinerja kendaraan berdasarkan kecepatan maksimal dari kendaraan yang dipengaruhi kondisi jalan agar mendapat karakteristik yang paling baik dari kendaraan.

1.2 Rumusan Masalah

Adapun rumusan masalah yang terdapat dalam tugas akhir ini adalah sebagai berikut:

1. Bagaimana spesifikasi baterai dan motor listrik yang sesuai berdasarkan kebutuhan daya sepeda motor *hybrid* seri?
2. Bagaimana karakteristik traksi dan karakteristik power dari transmisi dan laju kendaraan?
3. Berpakah nilai konsumsi energi dari sepeda motor *hybrid* seri?

1.3 Tujuan

Mengacu pada perumusan masalah di atas, maka tujuan dari tugas akhir ini adalah sebagai berikut:

1. Mencari spesifikasi baterai dan motor listrik yang sesuai berdasarkan kebutuhan daya sepeda motor *hybrid* seri.
2. Mengetahui karakteristik traksi dan karkteristik power dari transmisi dan laju kendaraan.
3. Mengetahui nilai konsumsi energi dari sepeda motor *hybrid* seri.

1.4 Batasan Masalah

Batasan masalah yang digunakan di dalam tugas akhir ini adalah sebagai berikut:

1. Analisa tidak menyertakan *regenerative braking*.
2. Tidak membahas sistem kontrol manajamen daya.
3. Menggunakan *engine* 110 cc.
4. Dimensi kendaraan yang digunakan menggunakan refrensi motor konvensional yang sudah ada.
5. Sudut tanjakan maksimum 30 derajat.
6. Kecepatan maksimal sepeda motor *hybrid* seri 100 km/jam.
7. Massa yang digunakan adalah massa motor ditambah 2 penumpang, dengan massa 1 penumpang 70 kg.

1.5 Manfaat Penelitian

Tugas akhir ini memiliki manfaat antara lain:

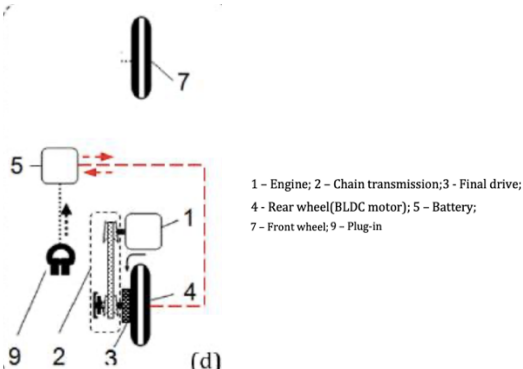
1. Menawarkan inovasi terhadap sepeda motor yang sudah ada dengan memadukan kelebihan-kelebihan dari kendaraan motor listrik untuk dapat dikembangkan kedepannya sebagai kendaraan massal di Indonesia yang ramah lingkungan.
2. Mengetahui spesifikasi komponen pada sepeda motor *hybrid*.
3. Sebagai refrensi atau acuan untuk pengembangan sepeda motor *hybrid* selanjutnya.

BAB 2

DASAR TEORI

2.1 Penelitian Terdahulu

Penelitian terkait dengan sepeda motor *hybrid* sebelumnya telah dilakukan oleh Van-Tran Nguyen dan Pyung Hwang^[9]. Penelitian ini menggunakan sepeda motor 110 cc bertransmisi manual yang nantinya akan diubah menjadi sepeda motor *hybrid* dengan ditambahkan motor listrik *Hub motor* 48 V *rear wheel* 500 W terletak pada roda belakang yang mana spesifikasinya dijelaskan pada gambar 2.1. Pada penelitian ini membahas konsumsi energi serta penghematan yang bisa dilakukan sepeda motor *hybrid* dengan rangkaian paralel *plug-in* tanpa generator. Berikut merupakan gambar dari rangkaian paralel *plug-in* tanpa generator pada sepeda motor *hybrid*.



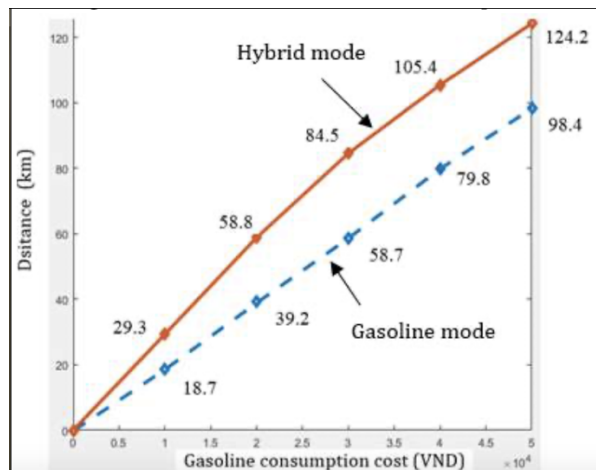
Gambar 2.1 Sepeda Motor *Hybrid* dengan Rangkaian Paralel *plug-in* tanpa generator^[9]



<i>Specifications</i>	<i>Contents</i>
Rated Voltage	24/36/48V
Rated Power	350-500W
Wheel Size	18-28inch
Rated Speed	30km/h
Rated Efficiency	≥ 80
Noise	$\leq 50\text{db}$
Reduction ratio	1:5

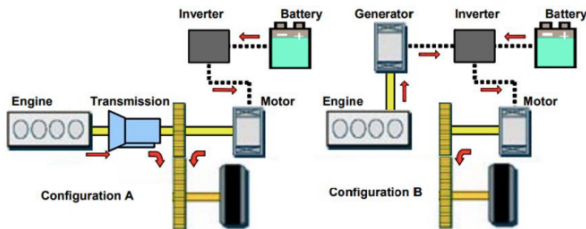
Gambar 2.2 Spesifikasi *Hub Motor 48 V rear wheel 500 W*^[9]

Hasil dari penelitian ini adalah dengan kondisi jalan dan jarak yang sama (47 km) sepeda motor *hybrid* melakukan penghematan bahan bakar sebanyak 0,5 USD per jarak 47 km dibandingkan dengan sepeda motor konvensional yang ditunjukkan pada gambar 2.3.



Gambar 2.3 Grafik perbandingan Harga BBM yang dikonsumsi terhadap jarak pada sepeda motor *hybrid* dan sepeda motor konvensional^[9]

Kemudian penelitian terdahulu tentang sepeda motor hybrid dapat dijadikan acuan adalah yang dilakukan Ahmed Zia Sheikh pada tahun 2013 yang membandingkan sistem *power* antara *hybrid* paralel dan *hybrid* seri yang dirakit pada suatu sepeda elektrik dengan rangkaian seperti pada gambar 2.4. Pada rangkaian *hybrid* paralel menggunakan motor sebesar 500 W sedangkan untuk rangkaian *hybrid* seri menggunakan motor sebesar 1000 W yang diletakkan pada roda belakang. Setelah perakitan lalu dilakukan pengetesan *driving cycle* untuk mengetahui performa dan konsumsi energi dari masing-masing rangkaian^[13].



Gambar 2.4 Rangkaian *hybrid* paralel (*configuration A*) dan rangkaian *hybrid* seri (*configuration B*)^[13].

Hasil dari tes *driving cycle* untuk *hybrid* paralel yang menggunakan motor sebesar 500 W pada moda *electric only* kecepatan maksimum yang bisa ditempuh adalah 40,4 km/jam dengan konsumsi energi 13,21 Wh/km, kemudian pada moda *engine only* kecepatan maksimum yang bisa dicapai adalah 43,3 km/jam dengan konsumsi bahan bakar 1,62 L/100 km, sedangkan pada moda *hybrid* kecepatan maksimum yang bisa ditempuh adalah 45,4 km/jam dengan konsumsi energi listrik sebesar 2,95 Wh/km dan konsumsi bahan bakar sebesar 1,35 L/100 km. Untuk rangkaian *hybrid* seri, pergantian moda akan dari CD (*charge depleting*) mode ke CS (*charge sustaining*) mode berdasarkan dari SOC baterai, ketika SOC masih lebih dari 60% moda yang beroperasi adalah CD mode sedangkan ketika SOC sudah kurang dari 60% maka CS mode akan beroperasi. Kecepatan maksimum

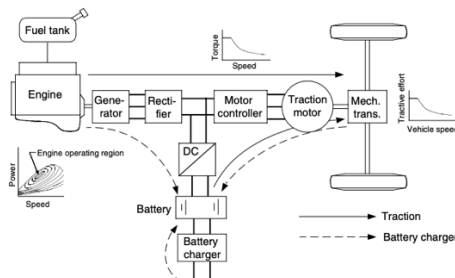
yang mampu ditempuh pada rangkaian *hybrid* seri ini dengan kapasitas motor sebesar 1000 W adalah 48,3 km/jam dengan konsumsi energi listrik sebesar 9,43 Wh/km dan konsumsi bahan bakarnya sebesar 1,52L/100km.

2.2 Kendaraan *Hybrid*

Kendaraan *hybrid* adalah kendaraan yang menggunakan dua atau lebih sumber energi. Pada umumnya energi yang digunakan untuk kendaraan *hybrid* adalah energi listrik yang disediakan oleh baterai/accu dan energi yang berasal dari fosil. Berdasarkan skema aliran daya untuk menggerakkan kendaraan, sistem *hybrid* dibagi menjadi tiga, yaitu sistem *hybrid* parallel, seri, dan seri-paralel. Ketiga macam sistem *hybrid* ini mempunyai kelebihan dan kekurangannya masing-masing^[3].

2.2.1. *Hybrid* Seri

Kendaraan *hybrid* dengan konfigurasi seri ini merupakan konfigurasi *hybrid* paling sederhana. Pada *hybrid* seri tenaga yang berasal dari mesin digunakan untuk menggerakkan generator yang menghasilkan tenaga listrik yang kemudian akan menggerakkan motor listrik yang mempunyai fungsi sebagai penggerak sebuah kendaraan. Ketika kendaraan membutuhkan tenaga yang kecil maka sebagian tenaga listrik yang dihasilkan dari mesin dan generator dapat digunakan untuk mengisi baterai/accu. Apabila tenaga listrik yang dihasilkan oleh baterai telah mencukupi kendaraan untuk bergerak maka mesin dapat mati secara otomatis oleh sistem pengendali. Namun ketika kendaraan membutuhkan tenaga yang besar melebihi tenaga yang dapat diberikan oleh mesinatau ketika kendaraan berjalan dengan kecepatan yang tinggi maka tenaga yang dihasilkan oleh mesin bisa mendapat tenaga dari baterai yang dapat membantu memasok listrik pada motor listrik^[12]. Pada gambar 2.5 merupakan konfigurasi seri dari kendaraan *hybrid* yang pada umumnya ditemui.



Gambar 2.5 Skema power dan drivetrain kendaraan *hybrid* seri^[3].

Kendaraan *hybrid* dengan konfigurasi seri mempunyai beberapa kelebihan, yaitu:

1. Fleksibilitas penempatan mesin dan generator.
2. Kontrol sistem penggerak lebih ringkas.
3. Mesin dapat diatur untuk beroperasi pada putaran optimumnya.
4. Cocok untuk moda berkendara jarak dekat.

Namun konfigurasi seri pada kendaraan *hybrid* ini juga mempunyai beberapa kekurangan, yaitu:

1. Kendaraan membutuhkan tiga komponen penggerak, yaitu mesin pembakaran dalam, generator, dan motor listrik.
2. Efisiensi total rendah saat kendaraan melaju kencang dan ketika mengemudi jarak jauh^[5].

Terdapat beberapa moda operasi kendaraan yang dapat digunakan sesuai dengan kondisi operasi dan kebutuhan kendaraan *hybrid* seri, yaitu :

1. Murni penggerak listrik (*Pure Electric Traction Mode*) : Pada moda ini kendaraan mendapat asupan daya dari baterai. Daya listrik dari baterai dirubah menjadi daya gerak oleh motor listrik yang kemudian digunakan untuk menggerakan kendaraan. Pada moda ini motor pembakaran dalam dan generator tidak beroperasi. Pada kondisi ini tenaga yang

dibutuhkan kendaraan ditambah dengan kehilangannya dalam proses transmisi adalah sama dengan tenaga dari accu (Pb).

$$Pb = (fr.W + 0,50 \cdot \rho.Cd.Af.Vk^2)Vk/Et \quad (2.1)$$

dimana Pb adalah tenaga accu, kemudian Et adalah efisiensi transmisi dan motor listrik, dan Vk merupakan kecepatan kendaraan.

2. Murni penggerak mesin (*Pure Engine Traction Mode*) : Pada moda ini kendaraan mendapat asupan daya dari mesin. Daya mekanik yang dihasilkan mesin dirubah menjadi daya listrik. Daya listrik yang dihasilkan generator kemudian digunakan sepenuhnya untuk memutar motor dan menggerakan kendaraan. Pada kondisi ini tenaga yang dibutuhkan kendaraan ditambah dengan kehilangannya dalam proses transmisi adalah sama dengan tenaga dari mesin.

$$Pe = (fr.W + 0,50 \cdot \rho.Cd.Af.Vk^2)Vk/EgMt \quad (2.2)$$

dimana Pe adalah tenaga mesin dan EgMt adalah efisiensi transmisi, generator, dan motor.

3. Penggerak hibrid (*Hybrid Traction Mode*) : Pada moda ini kendaraan mendapatkan daya dari mesin dan baterai. Pada moda ini, kendaraan membutuhkan asupan daya yang cukup besar sehingga asupan daya dari salah satu sumber saja tidak cukup. Pada umumnya kondisi ini terjadi saat kendaraan dipercepat, berada pada kecepatan tinggi atau kendaraan menanjak. Tenaga yang dibutuhkan kendaraan termasuk semua kehilangan dalam proses transmisi adalah sama dengan tenaga yang diberikan dari mesin dan accu.

$$Pe + Pb = \frac{(fr.W + 0,50 \cdot \rho.Cd.Af.Vk^2 + W \cdot \sin\theta)Vk}{EgMt} \quad (2.3)$$

dimana θ merupakan sudut tanjakan jalan

4. Penggerak mesin dan mengisi accu (*Engine Traction with Battery Charging Mode*) : Pada moda ini daya listrik yang dihasilkan generator digunakan untuk menggerakkan kendaraan dan mengisi baterai. Tenaga listrik yang dihasilkan oleh mesin dan generator digunakan sebagian untuk menggerakkan kendaraan dan sisanya untuk mengisi accu.

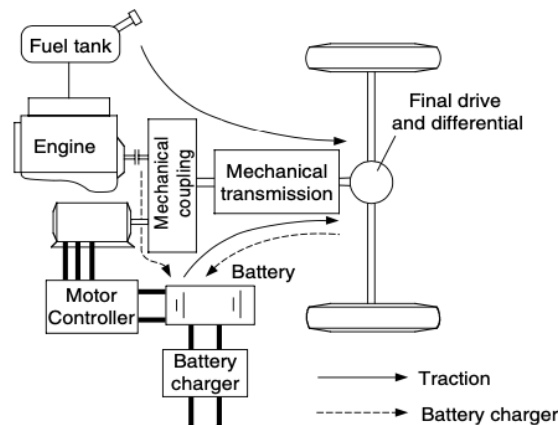
$$P_e = \frac{(fr.W + 0,50.\rho.Cd.Af.Vk^2 + W.\sin\theta)V_k}{E_{gtm}} + \frac{P_{sb}}{E_b} \quad (2.4)$$

dimana P_{sb} adalah energi masuk ke accu dan E_b adalah efisiensi accu

5. Unduh energi penggereman (*Regenerative Braking Mode*) : Pada moda ini motor listrik pada kendaraan akan berubah fungsi menjadi generator. Energi kinetik yang terbuang pada roda saat mengalami penggereman akan ditangkap dan dirubah menjadi energi listrik oleh motor listrik. Energi listrik tersebut kemudian akan disimpan dalam baterai. Pada moda ini mesin dan generator tidak beroperasi.
6. Pengisian accu (*Battery Charging Mode*) : Pada moda ini daya mekanik yang dihasilkan oleh mesin akan dirubah menjadi daya listrik oleh generator. Daya listrik tersebut kemudian akan sepenuhnya disimpan dalam baterai.
7. Pengisian accu secara hibrid (*Hybrid Battery Charging Mode*): Pada moda ini baterai kendaraan akan menerima daya dari mesin dan motor listrik yang dioperasikan sebagai generator^[12].

2.2.2. Hybrid Paralel

Tenaga penggerak kendaraan *hybrid* dengan konfigurasi paralel dapat dilakukan oleh mesin dan motor listrik yang dihubungkan secara parallel dimana keduanya terhubung langsung ke *drivetrain*. Karena menggunakan konfigurasi parallel, ukuran mesin dan motor listrik yang dibutuhkan lebih kecil dari kendaraan *hybrid* konfigurasi seri, namun jumlah baterai yang dibutuhkan bisa meningkat. Pada kendaraan *hybrid* parallel tidak butuh generator, tetapi membutuhkan kopling mekanik untuk dapat menggabungkan energi mekanik dari mesin dan motor listrik^[12]. Gambar 2.6 merupakan kendaraan *hybrid* dengan konfigurasi paralel yang pada umumnya ditemui.



Gambar 2.6 Skema power dan drivetrain kendaraan *hybrid* sistem paralel^[3]

Kendaraan *hybrid* dengan konfigurasi paralel memiliki beberapa kelebihan, yaitu:

1. Kendaraan hanya membutuhkan dua komponen penggerak, yaitu motor listrik/generator dan mesin pembakaran dalam. Pada konfigurasi parallel motor listrik dapat digunakan sebagai generator.

2. Motor dan mesin bisa menggunakan kapasitas yang lebih kecil untuk mencapai performa yang sama dengan sistem *hybrid* seri.
3. Proses transmisi daya lebih ringkas dibanding konfigurasi seri, sehingga kerugian energi dapat dikurangi.

Namun konfigurasi paralel pada kendaraan *hybrid* ini juga mempunyai beberapa kekurangan, yaitu:

1. Membutuhkan sistem kontrol yang kompleks untuk dapat menyatukan dan mengatur daya yang dihasilkan oleh kedua sumber tenaga kendaraan, motor listrik dan motor pembakaran dalam.
2. Mesin pada konstruksi ini tidak dapat diatur untuk beroperasi pada putaran optimumnya. Sehingga tingkat efisiensi bahan bakar dari konstruksi paralel lebih kecil dibanding konstruksi seri^[5].

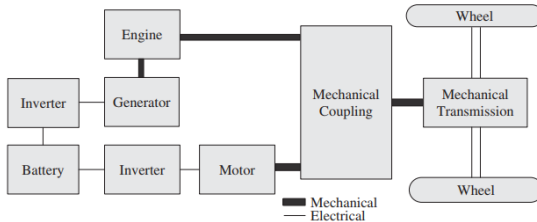
Meskipun ada perbedaan komponen dan aliran daya pada konstruksi seri dan paralel, moda operasi dari konstruksi paralel memiliki kesamaan dengan moda operasi yang ada pada konstruksi seri.

2.2.3. *Hybrid* Seri-Paralel

Kendaraan *hybrid* dengan konfigurasi seri-paralel merupakan gabungan dari kendaraan *hybrid* konfigurasi seri dan parallel. Pengembangan ini dimaksudkan bisa mengambil keunggulan dari masing-masing konfigurasi. Salah satu keuntungan dari konstruksi ini dapat dicapai dengan mengoptimasikan strategi operasi dari mesin. Pada umumnya, motor pembakaran dalam memiliki tingkat efisiensi yang buruk jika dioperasikan pada putaran dan daya rendah, terutama mesin yang menggunakan bahan bakar bensin. Dengan meningkatkan daya dan putaran mesin, kondisi operasi optimum dapat tercapai dan daya yang berlebih dapat digunakan mengisi baterai. Dengan penggunaan konstruksi seri/paralel, kondisi berkendara yang optimal dan efisien dapat dicapai, namun konstruksi ini

membutuhkan sistem kontrol yang jauh lebih kompleks dari kontruksi seri maupun paralel^[14].

Konfigurasi seri-paralel dapat dibentuk dengan menambahkan satu motor yang berfungsi sebagai generator, seperti pada gambar 2.7.



Gambar 2.7 Skema *power* dan *drivetrain* kendaraan *hybrid* sistem seri-paralel^[3]

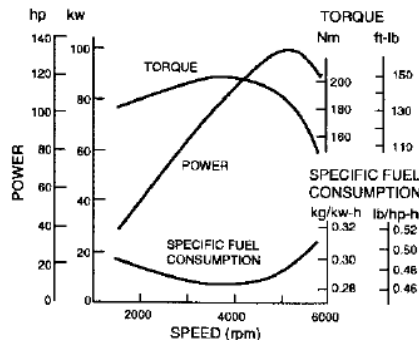
2.3 Komponen Sistem Penggerak

2.3.1 Mesin Pembakaran Dalam (Internal Combustion Engine / ICE)

Komponen pembangkit tenaga adalah kelompok komponen kendaraan yang fungsi utamanya menghasilkan dan merubah tenaga dari pembakaran bahan bakar menjadi tenaga nekanis putar sebagai sumber tenaga penggerak kendaraan dan kebutuhan lain kendaraan. Mesin atau pembangkit tenaga dengan bersumber pada tenaga pembakaran bahan bakar di dalam mesin disebut mesin pembakaran dalam (internal combustion engine / ICE)^[15].

Untuk kinerja mesin pembakaran dalam didapatkan grafik karakteristik seperti pada gambar 2.8. Karakteristik mesin pembakaran dalam ditunjukan dengan torsi, tenaga atau daya, dan konsumsi bahan bakar. Daya yang dihasilkan mesin nilainya meningkat dengan meningkatnya putaran mesin dan akan menurun pada putaran tertentu. Menurunnya tenaga pada putaran tertentu diakibatkan oleh menurunnya kesempatan campuran bahan bakar untuk masuk ke dalam ruang bakar saat putaran tinggi. Disamping itu, kesempatan bahan bakar yang sudah terbakar untuk keluar dari

ruang bakar berkurang, sehingga di dalam ruang bakar masih tersisa gas buang.



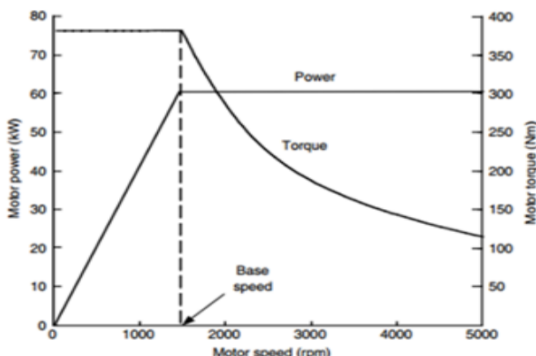
Gambar 2.8 Karakteristik dari mesin bensin^[15].

2.3.2 Generator

Generator listrik adalah sebuah alat yang memproduksi energi listrik dari sumber energi mekanik, biasanya menggunakan induksi elektromagnetik. Proses ini dikenal sebagai pembangkit listrik. Generator mendorong muatan listrik untuk bergerak melalui sebuah sirkuit listrik eksternal, tapi generator tidak menciptakan listrik yang sudah ada di dalam kabel lilitannya. Hal ini bisa dianalogikan dengan sebuah pompa air yang menciptakan aliran air tapi tidak menciptakan air di dalamnya^[12].

2.3.3 Motor Listrik

Motor listrik adalah pembangkit energi kinetik sebagai sumber tenaga penggerak kendaraan *hybrid* maupun listrik dan memiliki karakteristik seperti pada gambar 2.9



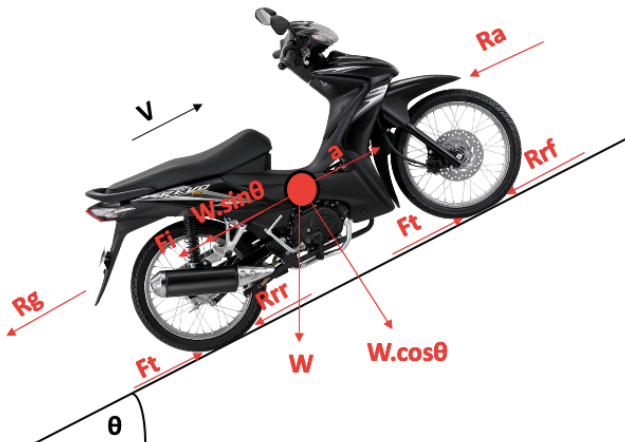
Gambar 2.9 Karakteristik motor listrik^[14].

Berdasarkan karakteristik diatas dapat diketahui bahwa *power* atau tenaga dari motor listrik dibawah kecepatan dasar (base speed) akan terus bertambah secara linier sampai mencapai tenaga maksimum yang tepat berada saat berada pada kecepatan base. Dan dari kecepatan dasar sampai dengan kecepatan maksimum, tenaga yang dihasilkan motor listrik konstan sebesar tenaga maksimum yang dapat dihasilkan motor listrik. Sedangkan dari segi torsi yang dihasilkan oleh motor listrik berdasarkan karakteristik diatas dapat dijelaskan bahwa torsi akan tetap pada kecepatan dibawah kecepatan dasar, yaitu sebesar torsi maksimum yang dapat dihasilkan motor listrik. Lalu setelah melewati kecepatan dasar torsi dari motor listrik akan menurun secara hiperbolik, hal ini karena pada kecepatan rendah dibawah kecepatan dasar, tegangan listrik masuk ke motor meningkat dengan meningkatnya putaran yang diatur melalui converter elektronik, sedangkan flux dijaga konstan. Pada saat motor sudah mencapai kecepatan dasar, tegangan pada motor mencapai tegangan dari sumber pemasukan energi. Setelah melewati kecepatan dasar, tegangan pada motor dijaga tetap sedangkan kekuatan flux melemah secara hiperbolik dengan bertambahnya kecepatan.

Kurva karakteristik dari motor listrik seperti diatas ditentukan oleh besarnya kecepatan dasar (V_b) dan besarnya rasio kecepatan (x). Rasio kecepatan merupakan perbandingan antara kecepatan maksimum dan kecepatan dasar. Torsi yang dihasilkan oleh motor listrik pada kondisi dibawah kecepatan dasar merupakan tenaga dibagi dengan kecepatan. Jadi torsi maksimum adalah tenaga maksimum yang dihasilkan dibagi dengan kecepatan dasar. Perbandingan kecepatan maksimum yang dihasilkan motor listrik dengan kecepatan dasar disebut rasio kecepatan (x). Torsi maksimum yang dihasilkan oleh motor listrik akan lebih besar dengan rasio kecepatan yang lebih besar^[14].

2.4 Dinamika Kendaraan

Berikut merupakan gambar yang menunjukkan gaya-gaya yang terjadi apabila sebuah kendaraan melaju pada suatu jalan yang mempunyai sudut tanjakan tertentu.



Gambar 2.10 Dinamika kendaraan saat menanjak

Dari gambar 2.10 menunjukkan dalam melawan gaya-gaya yang terjadi dibutuhkan gaya dorong (F_t). Gaya dorong terdiri dari

2 macam yaitu gaya dorong pada roda depan (F_f) dan gaya dorong pada roda belakang (F_r). Kendaraan pada kondisi berjalan akan menerima beberapa hambatan, diantaranya adalah *drag force*, *rolling resistance*, serta gaya hambat kendaraan akibat sudut menanjak.

2.4.1 Gaya Hambat Angin (*Drag Force*)

Drag force adalah gaya yang menghambat gaya dorong dari kendaraan karena arah gaya ini berlawanan dengan arah laju kendaraan. Gaya hambat angin (*drag force*) dapat dihitung dengan perumusan sebagai berikut.

$$R_a = 0.5 \times \rho \times A_f \times C_D \times V^2 \quad (2.5)$$

dimana : ρ = Densitas udara

A_f = Luasan frontal kendaraan

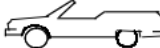
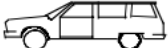
C_D = Koefisien *drag*

V = Kecepatan relative udara dengan kendaraan

R_a = Gaya hambat angina

Drag force dipengaruhi oleh koefisien *drag* kendaraan itu, dimana C_D merupakan koefisien hambatan aerodinamik yang dipengaruhi oleh faktor bentuk dan kehalusan permukaan kendaraan. Koefisien *drag* (C_D) dari sebuah kendaraan dapat dianggap sebagai beban aero terhadap gerakan maju. Semakin besar nilai C_D maka semakin besar pula hambatan aerodinamiknya^[12]. Berikut ini merupakan tabel koefisien drag untuk beberapa bentuk dan jenis kendaraan:

Tabel 2.1 Koefisien drag berbagai bentuk dan jenis kendaraan^[3]

Vehicle Type	Coefficient of Aerodynamic Resistance
	0.5–0.7
	0.5–0.7
	0.4–0.55
	0.3–0.4
	0.2–0.25
	0.23
	0.15–0.20
Trucks, road trains Buses Streamlined buses Motorcycles	0.8–1.5 0.6–0.7 0.3–0.4 0.6–0.7

2.4.2 Gaya Hambat Rolling (*Rolling Resistance*)

Rolling resistance adalah gaya hambat yang terjadi karena adanya gesekan antara ban dan jalan akibat adanya defleksi pada roda yang berputar dimana arah gayanya berlawanan dengan arah gaya dorong dari kendaraan. Untuk mencari besarnya gaya hambat rolling yang timbul, nilai koefisien hambatan rolling (f_r) harus diketahui terlebih dahulu. Nilai f_r dapat dicari menggunakan persamaan hasil eksperimen J.J Taborek berikut.

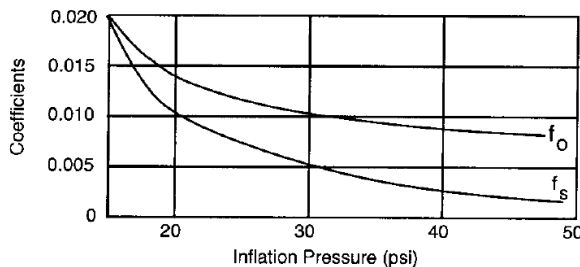
$$f_r = f_o + f_s \cdot \left(\frac{V}{100} \right)^{2,5} \quad (2.6)$$

dimana: f_r = Koefisien hambat *rolling*

f_o, f_s = Koefisien yang tergantung pada tekanan ban (didapat dari gambar 2.10)

V = Kecepatan kendaraan (Km/jam)

Koefisien f_o dan f_s merupakan koefisien hambatan *rolling* yang dipengaruhi oleh besar tekanan ban. Nilai dari f_o dan f_s dapat dicari melalui gambar 2.11 sebagai berikut:



Gambar 2.11 Koefisien hambatan rolling (f_o & f_s) akibat pengaruh tekanan ban^[15]

Setelah mendapatkan nilai koefisien hambat rolling (f_r), sehingga dengan menggunakan rumus dibawah ini maka didapat nilai dari gaya hambat *rolling*^[14].

$$R_r = f_R \times W \quad (2.7)$$

dimana: f_R = koefisien *rolling*
 W = gaya berat kendaraan
 R_r = gaya hambat *rolling*

2.4.3 Gaya Hambat Tanjakan (*Gradient Resistance*)

Gaya hambat tanjak merupakan gaya hambat yang terjadi karena adanya sudut tanjakan pada jalan. Dengan adanya gaya hambatan tanjakan maka beban kendaraan akan bertambah akibat pengaruh gaya gravitasi bumi. Besar gaya hambat akibat sudut tanjak dapat dirumuskan sebagai berikut.

$$R_G = W \cdot \sin\theta \quad (2.8)$$

dimana: R_G = Gaya hambat tanjakan (N)
 W = Berat kendaraan (N)
 Θ = Sudut tanjakan

Setelah mengetahui penjelasan dari masing-masing gaya hambat yang mempengaruhi kendaraan, maka dapat dirumuskan gaya hambat total yang terjadi pada kendaraan adalah sebagai berikut.

$$F_t = R_a + R_r + R_g \quad (2.9)$$

Gaya rolling resistance akan terpengaruhi oleh besarnya sudut tanjakan. Hal ini terjadi karena perbedaan gaya normal pada kendaraan yang besarnya lebih kecil dibandingkan saat berjalan mendatar. Besarnya gaya normal kendaraan sama dengan berat kendaraan dikalikan \cos sudut tanjakan. Sehingga gaya hambat total kendaraan saat kondisi jalan menanjak berubah menjadi^[14].

$$F_t = R_a + R_r + R_g \quad (2.10)$$

$$F_t = (0,5 \times \rho \times Cd \times Af \times Va^2) + (fr \times W \cos\Theta) + W \sin\Theta \quad (2.11)$$

2.5 Analisa Kebutuhan Torsi dan Tenaga

Torsi yang dibutuhkan kendaraan adalah torsi yang dibutuhkan oleh torsi penggerak untuk menghasilkan gaya dorong yang diperlukan untuk menggerakkan kendaraan melawan semua hambatan yang terjadi^[14].

2.5.1. Gaya Dorong Kecepatan Tetap dengan Operasi pada Jalan Datar

Kendaraan berjalan pada jalan datar dengan kecepatan konstan membutuhkan gaya dorong (F_t) hanya untuk melawan

gaya hambat *rolling* (*Rr*), dan gaya hambat angin (*Ra*). Besar gaya dorong yang dibutuhkan dapat dirumuskan sebagai berikut

$$Ft = Rr + Rd = fr.M.g + 0,50.\rho.Cd.Af.Va^2 \quad (2.12)$$

2.5.2. Gaya Dorong Kecepatan Tetap dengan Operasi pada Jalan Menanjak

Kendaraan yang berjalan pada jalan menanjak dengan sudut tanjak θ dan dengan kecepatan tetap (*Vk*) harus memiliki gaya dorong yang dapat melawan semua gaya-gaya hambat. Ada tiga gaya hambat yang terjadi pada kendaraan saat tanjakan yaitu, gaya hambat *rolling* (*Rr*), gaya hambat angin (*Ra*), dan gaya hambat tanjakan (*Rg*). Gaya hambat *rolling* dan tanjakan tergantung pada berat (W) kendaraan, sudut tanjakan, dan koefisien dari hambatan *rolling* (*fr*). Besarnya gaya dorong yang dibutuhkan kendaraan yang saat menanjak dapat dirumuskan sebagai berikut

$$Ft = Rr + Ra + Rg = fr.W.\cos\theta + 0,50.\rho.Af.Va^2 + W.\sin\theta \quad (2.13)$$

2.5.3. Gaya Dorong Kecepatan Berubah dengan Operasi pada Jalan Datar

Gaya dorong yang dibutuhkan (*Ft*) oleh kendaraan yang berjalan pada jalan datar dengan percepatan tetap (*ak*) harus mampu melawan gaya hambatan *rolling* (*Rr*), gaya hambat angin (*Ra*) dan gaya inertia (*Fi*). Besarnya gaya dorong yang dibutuhkan dapat dirumuskan sebagai berikut

$$Ft = Rr + Ra + Fi = fr.M.g + 0,50.\rho.Cd.Af.Va^2 + M.ak \quad (2.14)$$

dimana *M* adalah massa kendaraan dan *ak* adalah percepatan kendaraan.

2.5.4. Gaya Dorong Kecepatan Berubah dengan Operasi pada Jalan Menanjak

Kendaraan yang berjalan pada jalan menanjak dengan sudut tanjak θ dan dengan percepatan tetap (ak) harus memiliki gaya dorong yang mampu melawan gaya hambat *rolling* (Rr), gaya hambat angin (Ra), dan gaya hambat tanjakan (Rg) dan gaya inersia (Fi). Besarnya gaya dorong yang dibutuhkan dapat dirumuskan sebagai berikut.

$$Ft = Rr + Ra + Rg + Fi \quad (2.15)$$

$$Ft = fr.W.\cos\theta + 0,50.\rho.Cd.Af.Va^2 + W\sin\theta + M.ak \quad (2.16)$$

2.6 Kebutuhan Torsi dan Tenaga

Untuk menghasilkan gaya dorong pada roda, dibutuhkan torsi (Tp) yang bekerja pada poros penggerak kendaraan. Besarnya torsi poros penggerak yang dibutuhkan untuk dapat menggerakkan kendaraan tergantung pada besarnya gaya dorong yang dibutuhkan (Ft) dan jari-jari roda penggerak yang digunakan (R). Torsi yang dibutuhkan poros penggerak (Tp) dapat dirumuskan sebagai berikut.

$$Tp = R.Ft \quad (2.17)$$

Tenaga yang dibutuhkan untuk menggerakkan kendaraan pada beban dan kecepatan tertentu dinamakan tenaga pada beban jalan atau road load horse *power* (Rhp). Besarnya tenaga yang dibutuhkan tergantung pada besarnya gaya dorong (Ft) dan kecepatan dari kendaraan (V_k). Tenaga yang dibutuhkan dapat dirumuskan sebagai berikut^[14].

$$P = Ft \times V_k \quad (2.18)$$

2.7 Sistem Transmisi Kendaraan

Sistem transmisi adalah suatu sistem yang berfungsi untuk mengkonversikan torsi dan kecepatan dari mesin menjadi torsi dan kecepatan yang berbeda-beda dan selanjutnya diteruskan ke penggerak akhir. Dalam suatu kendaraan sistem transmisi adalah bagian dari sistem pemindah tenaga.

Sedangkan sistem pemindah tenaga dalam suatu kendaraan terdiri dari kopling, transmisi dan penggerak akhir. Dengan adanya sistem transmisi maka putaran mesin dengan putaran poros yang dihubungkan dengan penggerak akhir dapat dikontrol. Fungsi dari kontrol sendiri supaya tenaga yang dihasilkan oleh mesin sesuai dengan kebutuhan kendaraan. Sedangkan penggerak akhir atau final drive mempunyai fungsi untuk meneruskan tenaga yang dihasilkan mesin ke roda penggerak.

Dalam sistem transmisi menentukan besar dari rasio transmisi perlu diperhatikan beberapa hal antara lain kemampuan output gaya traksi kendaraan dan yang kedua adalah menentukan ukuran dari komponen transmisi supaya dimensi dari transmisi terlihat ideal dengan kendaraan. Maka yang pertama harus diperhitungkan adalah rasio transmisi pada tingkat gigi pertama. Hal ini karena pada tingkat pertama dibutuhkan torsi maksimum supaya kendaraan bergerak, serta dengan diperhitungkannya torsi maksimum dapat diketahui seberapa besar sudut tanjakan jalan yang dapat dicapai dengan menggunakan rasio transmisi pertama. Dibawah ini merupakan rumus untuk menentukan besar rasio transmisi pertama,

$$i_1 = \frac{F_t \times r}{T_m \times i_d \times \eta_t} = \frac{(W \sin \theta_{max} + f_r \times W + R_a)r}{T_m \times i_d \times \eta_t} \quad (2.19)$$

dimana: F_t = gaya torsi kendaraan

W = berat kendaraan

f_r = koefisien rolling ban

T_m = torsi mesin

η_t = efisiensi dari transmisi

r = jari-jari roda

i_d = perbandingan gigi diferensial

Untuk nilai efisiensi dari transmisi, tabel berikut menunjukkan nilai efisiensi transmisi berdasarkan jenis transmisi yang digunakan.

Tabel 2.2 Nilai efisiensi transmisi berdasarkan jenis transmisi^[4]

Transmission type	Efficiency
Manual	97%
Automatic	86%
CVT belt	88%
CVT toroidal	93%

Pada perumusan 2.19 gaya hambat drag dapat diabaikan ketika kendaraan menanjak pada sudut tersebut, karena kecepatan kendaraan saat menanjak umumnya terjadi pada kecepatan rendah.

Setelah menentukan rasio transmisi tingkat pertama, selanjutnya menentukan besar dari rasio transmisi terakhir pada kendaraan berdasarkan kecepatan maksimum yang ditentukan. Saat ingin mencapai kecepatan maksimum yang ditentukan maka motor harus dapat mencukupi daya untuk mengatasi gaya hambat yang ada seperti rolling resistance dan gaya hambat aerodinamis yang terjadi pada kendaraan. Berdasarkan hal tersebut perumusan rasio transmisi pada tingkat gigi akhir adalah seperti dibawah ini^[12].

$$i_m = \frac{F_t \times r}{T_m \times i_d \times \eta_t} = \frac{(f_r \times W + 0.5 \times \rho \times C_d \times A_f \times V_m) r}{T_m \times i_d \times \eta_t} \quad (2.20)$$

2.8 Karakteristik Traksi Kendaraan

Pada kendaraan *hybrid* seri tenaga penggerak dari kendaraan sepenuhnya dan langsung dari motor listrik melalui suatu sistem transmisi mekanik. Besarnya gaya dorong atau gaya traksi yang dapat dihasilkan pada roda penggerak dapat dirumuskan sebagai berikut.

$$Fts = \frac{Imt \times Tm}{R} Emt \quad (2.21)$$

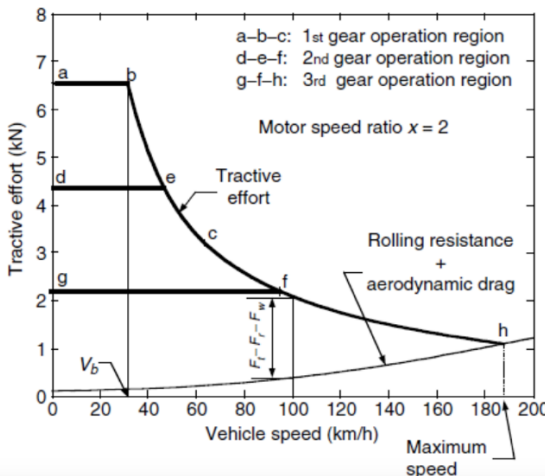
$$Vks = \frac{\pi \times R \times Nm}{30 \times Imt \times Ig} \quad (2.22)$$

dimana:

Fts	= gaya traksi kendaraan <i>hybrid</i> seri
Imt	= rasio transmisi mekanik
Vks	= kecepatan kendaraan <i>hybrid</i> seri
Emt	= efisiensi transmisi mekanik
Nm	= putaran motor listrik

Karena kendaraan *hybrid* seri tenaga penggeraknya langsung dari listrik sehingga karakteristik traksi dari kendaraan ini identik dengan karakteristik traksi kendaraan listrik.

Berikut ini merupakan gambar traksi kendaraan *hybrid* seri dengan 3 tingkat kecepatan dan dengan rasio kecepatan ($x=2$)^[14]:



Gambar 2.12 Karakteristik Traksi Kendaraan *Hybrid* seri^[14]

Berdasarkan gambar 2.12 diketahui bahwa kendaraan menggunakan 3 tingkat transmisi. Kecepatan maksimum yang bisa dicapai pada tingkat transmisi 1 adalah 70 km/jam, kecepatan maksimum yang dapat dicapai pada tingkat transmisi ke 2 adalah sebesar 98 km/jam, dan yang terakhir pada transmisi ke 3 kendaraan dapat mencapai kecepatan 185 km/jam.

Untuk menghitung kebutuhan traksi kendaraan yang didapat dari setiap titik pada *driving cycle* adalah dengan persamaan 2.23 sebagai berikut:

$$T_p = (F_r + (m \cdot a)) \cdot R \quad (2.23)$$

dimana, T_p merupakan traksi kendaraan setiap titik *driving cycle*, F_r merupakan gaya hambat total, m sebagai massa kendaraan, a sebagai percepatan kendaraan dan R merupakan jari-jari roda penggerak.

2.9 Karakteristik Power Kendaraan

Karakteristik power suatu kendaraan menunjukkan seberapa besar power yang dapat diberikan sistem transmisi untuk memenuhi kebutuhan power yang dibutuhkan akibat adanya gaya hambat. Gambar 2.8 merupakan karakteristik dari mesin bensin, karakteristik power yang dihasilkan oleh mesin bensin adalah beberapa grafik daya yang diterjadi oleh masing-masing tingkat transmisi sehingga dapat memenuhi grafik yang didiberikan dari daya akibat gaya hambat kendaraan. Selanjutnya berdasarkan gambar 2.8 diatas menunjukkan karakteristik kinerja dari motor listrik, dimana untuk karakteristik power yang dihasilkan oleh kendaraan listrik adalah terdiri dari grafik power atau daya dari masing-masing tingkat transmisi yang nantinya akan diplotkan dengan grafik daya yang dibutuhkan akibat terjadinya gaya hambat. Sehingga karakteristik power yang terjadi untuk mesin bensin maupun kendaraan listrik adalah hampir sama, terkecuali setelah mencapai power maksimum dari masing-masing kendaraan maka power untuk mesin bensin akan berkurang sampai kekecepatan maksimum dan untuk kendaraan listrik adalah power yang dihasilkan cenderung konstan sampai dengan kecepatan maksimum kendaraan.

Untuk menghitung power yang didapat dari masing-masing tingkat transmisi adalah dengan rumus sebagai berikut.

$$Pt = Ft \times V \quad (2.24)$$

dimana : Pt = power yang diberikan oleh trasmisi (KW)

Ft = gaya dorong tiap transmisi (N)

V = kecepatan kendaraan (m/s).

Sedangkan untuk menentukan besarnya power yang dibutuhkan oleh adanya gaya hambat dapat dilihat berdasarkan rumus

$$Pr = Fr \times V \quad (2.25)$$

dimana: Pr = power yang dibutuhkan oleh gaya hambat (KW)

$$Fr = \text{gaya hambat (N)}$$

Untuk menghitung kebutuhan *power* kendaraan yang didapat dari setiap titik pada *driving cycle* adalah dengan persamaan 2.24 sebagai berikut:

$$R_{hp} = (F_r + (m \cdot a)) \cdot V \quad (2.26)$$

dimana, R_{hp} merupakan power kendaraan setiap titik *driving cycle*, F_r merupakan gaya hambat total, m sebagai massa kendaraan, a sebagai percepatan kendaraan dan V merupakan kecepatan kendaraan.

2.10 Pengelolaan Energi

Dengan menerapkan pengelolaan energi yang baik pada suatu kendaraan hibrid, terdapat beberapa keuntungan yang diperoleh, yaitu :

1. Meminimalkan penggunaan bahan bakar dan tingkat emisi tanpa mengganggu performa kendaraan. Pengelola energi memiliki tujuan untuk mencapai performa kendaraan tertentu dengan menggunakan sumber daya tenaga penggerak seminimal mungkin dan mengoperasikannya secara optimal.
2. Meningkatkan umur komponen kendaraan. Penerapan pengelolaan energi yang baik dapat menjaga komponen-komponen penggerak pada kendaraan beroperasi pada kondisi optimal. Dengan pengoperasian komponen pada kondisi optimal, komponen dapat bertahan lebih lama.

2.11 Konsumsi Energi

Untuk kendaraan *hybrid*, ekonomi bahan bakar dapat dikonversikan dan dirumuskan sebagai berikut^[6].

$$F_E = \frac{E}{S} \left(Watt, \frac{\text{hour}}{\text{mile}} \right) = \frac{1}{E/S} \times 33700 \left(\frac{\text{mile}}{\text{gallons}} \right) \quad (2.27)$$

dimana F_E merupakan konsumsi bahan bakar (Wh/mile), E merupakan jumlah konsumsi energi total (Wh), dan s merupakan total jarak berkendara (mile).

Konsumsi energi suatu kendaraan (Wh/km) dapat dihitung dengan suatu siklus, contohnya siklus WLTC, WLTP, dan sebagainya. Konsumsi energi dihitung berdasarkan beban jalan. Untuk kendaraan menanjak dengan percepatan berubah beraturan, dengan diketahuinya massa total kendaraan (m) dan percepatan kendaraan (a). Total beban poros (F_{tot}) adalah penjumlahan dari gaya inersia (F_i), gaya hambat gradien (R_g), gaya hambat *rolling* (R_r), dan gaya hambat *drag* (R_a) dimana:

$$F_{tot} = F_r + F_i = (R_a + R_r + R_g) + (m \times a) \quad (2.28)$$

Setelah mendapatkan beban poros total, dilakukan perhitungan terhadap *power* yang dibutuhkan beban jalan menggunakan rumus:

$$RHP_p = F_{tot} \times v_k \quad (2.29)$$

dimana RHP_p merupakan *power* yang dibutuhkan poros (kW) dan v_k adalah kecepatan kendaraan (m/s).

Konsumsi energi suatu kendaraan (Wh/km) dapat dihitung dengan suatu *driving cycle*. Secara umum, energi yang dibutuhkan poros akibat pembebaan jalan merupakan fungsi integral dari energi poros (E_p) dan dapat ditulis sebagai berikut.

$$E_p = \int RHP \times dt \quad (2.30)$$

Sehingga energi yang dibutuhkan oleh kendaraan total dari persamaan berikut ini.

$$E_b = \frac{E_m}{E_{fpc} \times E_{fb}} = \frac{E_p}{E_{ft} \times E_{fm}} \times \frac{1}{E_{fpc} \times E_{fb}} \quad (2.31)$$

$$E_e = \frac{E_m}{E_{fpc} \times E_{fg} \times E_{fe}} = \frac{E_p}{E_{ft} \times E_{fm}} \times \frac{1}{E_{fpc} \times E_{fg} \times E_{fe}} \quad (2.32)$$

dimana E_b merupakan energi baterai (kWh), E_m merupakan energi motor yang dibutuhkan (kW), E_e merupakan energi mesin yang dibutuhkan (kWh), E_{fpc} merupakan efisiensi *power control*, E_{fb} merupakan efisiensi baterai, E_{ft} merupakan efisiensi transmisi, E_{fm} merupakan efisiensi motor listrik, E_{fg} merupakan efisiensi generator, dan E_{fe} merupakan efisiensi mesin.

Sedangkan untuk jarak tempuh yang dilalui kendaraan dengan percepatan konstan, digunakan rumus:

$$s = (v \times t) + \frac{(a \times t^2)}{2} \quad (2.33)$$

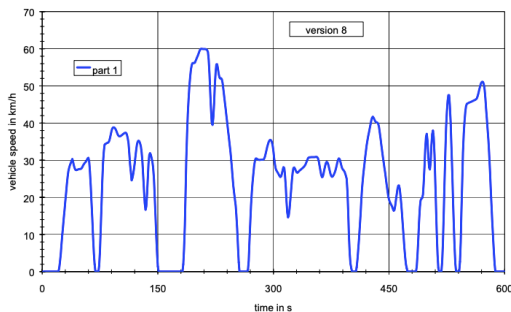
dimana s merupakan jarak tempuh (m) dan t merupakan waktu tempuh kendaraan (s)

2.12 Driving Cycle

Driving cycle adalah sekumpulan data yang menggambarkan hubungan antara kecepatan kendaraan terhadap waktu berkendara. Karena kondisi jalan, moda berkendara dan kondisi lingkungan di tiap belahan dunia berbeda – beda, diperlukan sebuah standar driving cycles tertentu pada tiap tempat. Salah satu *driving cycle* adalah WMTC (*World Motorcycle Test Cycle*). WMTC merupakan *driving cycle* yang digunakan untuk sepeda motor dan berasal dari proyek antara VROM (*Netherlands Ministry of the Environment*), TNO *Automotive*, dan IMMA (*International Motorcycle Manufacturer Association*). WMTC versi yang paling baru adalah versi ke-8 dengan prosedur pengujian *driving cycle* yang terbagi menjadi 3 kelas. Berikut penjelasan dari 3 kelas WMTC versi ke-7^[16].

2.12.1 WMTC Part 1

Siklus WMTC *part 1* ini mewakili kecepatan rendah serta penggunaan pada zona perkotaan dengan siklus sebagai berikut:



Gambar 2.13 Grafik Siklus WMTC *part 1*^[16]

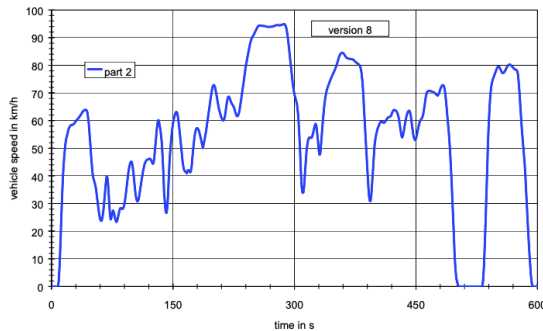
Berikut merupakan tabel karakteristik utama dari siklus WMTC *part 1*:

Tabel 2.3 Tabel Karakteristik Utama Siklus WMTC *part 1*^[16]

<i>Distance</i>	4,07 km
<i>Duration</i>	600 s
<i>Average speed</i>	24,4 km/jam
<i>Maximum speed</i>	60 km/jam

2.11.2 WMTC Part 2

Siklus WMTC *part 2* mewakili kecepatan kendaraan sedang dan penggunaan pada zona pedesaan jalan sekunder dengan siklus sebagai berikut:



Gambar 2.14 Grafik Siklus WMTC Part 2^[16]

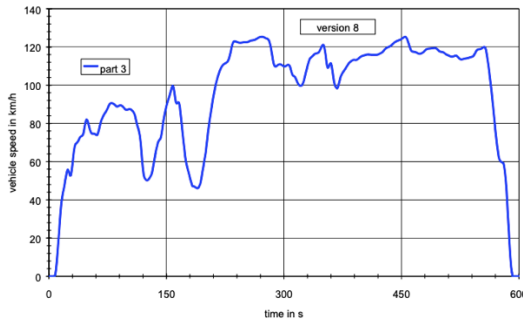
Berikut merupakan tabel karakteristik utama dari siklus WMTC part 2 :

Tabel 2.4 Tabel Karakteristik Utama Siklus WMTC Part 2^[16]

<i>Distance</i>	9,11 km
<i>Duration</i>	600 s
<i>Average speed</i>	54,7 km/jam
<i>Maximum speed</i>	95 km/jam

2.11.3 WMTC Part 3

Siklus WMTC part 3 mewakili kecepatan kendaraan relatif tinggi serta penggunaan pada zona pedesaan jalan utama dengan siklus sebagai berikut



Gambar 2.15 Grafik Siklus WMTC Part 3^[16]

Berikut adalah tabel karakteristik utama dari siklus WMTC part 3:

Tabel 2.5 Tabel Karakteristik Utama Siklus WMTC Part 3^[16]

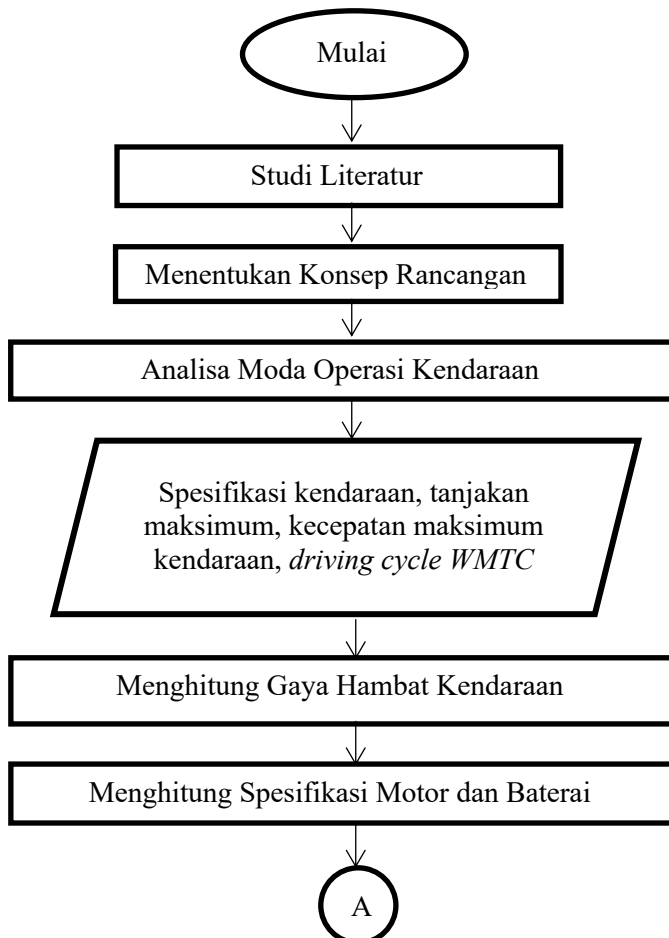
<i>Distance</i>	15,74 km
<i>Duration</i>	600 s
<i>Average speed</i>	94,4 km/jam
<i>Maximum speed</i>	125 km/jam

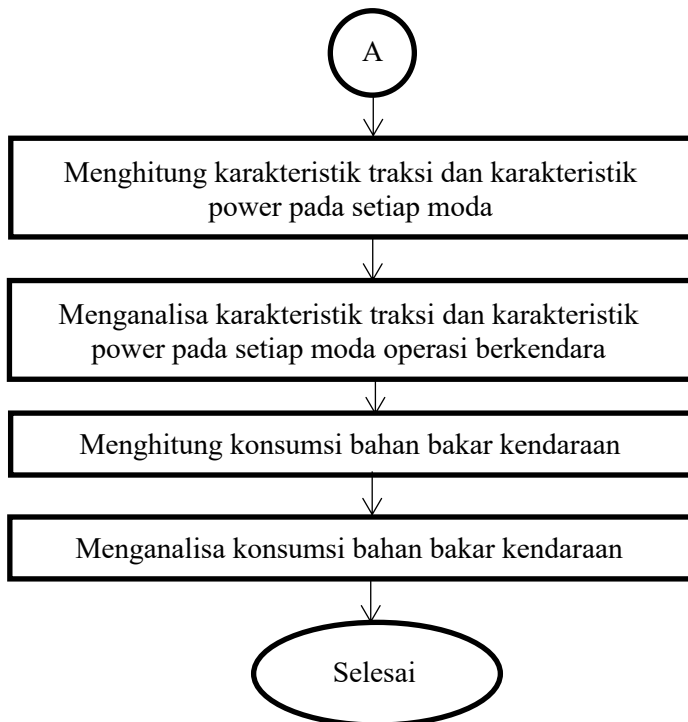
BAB 3

METODOLOGI PENELITIAN

3.1 Metodologi Penelitian

Dalam penulisan tugas akhir ini, dilakukan beberapa tahapan pengerjaan yang dilakukan oleh penulis. Tahapan tersebut dinyatakan dalam diagram alir sebagai berikut.





Gambar 3.1 Flowchart Penelitian Tugas Akhir

Berdasarkan flowchart diatas maka dalam penyusunan tugas akhir ini melalui beberapa tahapan, diantaranya:

- Tahap pertama, penelitian dilakukan dengan langkah awal melakukan studi literatur dari beberapa jurnal serta tugas akhir terdahulu yang berkaitan dengan kendaraan *hybrid* sehingga didapat konsep sistem tenaga dan moda kendaraan yang akan digunakan dalam perancangan kendaraan.
- Tahap kedua, setelah mendapat konsep yang diinginkan maka selanjutnya melakukan perhitungan untuk kebutuhan tenaga setiap moda operasi. Dimulai dari perhitungan terhadap gaya hambat, spesifikasi motor dan baterai.

- Tahap ketiga, dalam tahap ini dilakukan analisa dari hasil-hasil perhitungan yang telah didapat. Analisa yang didapat berupa Analisa terhadap rancangan rasio dan tingkat transmisi sehingga didapatkan karakteristik traksi dan power untuk kendaraan sepeda motor *hybrid* yang kemudian karakteristik *power* ini digunakan untuk mendapatkan tingkat konsumsi bahan bakar berdasarkan pola *driving cycle* WMTC.

3.2 Data dan Spesifikasi Acuan Kendaraan

Perancangan sepeda motor bertenaga *hybrid* menggunakan sepeda motor Honda Revo 110 FI sebagai acuan perancangan. Berikut merupakan spesifikasi dari sepeda motor Honda Revo 110 FI.



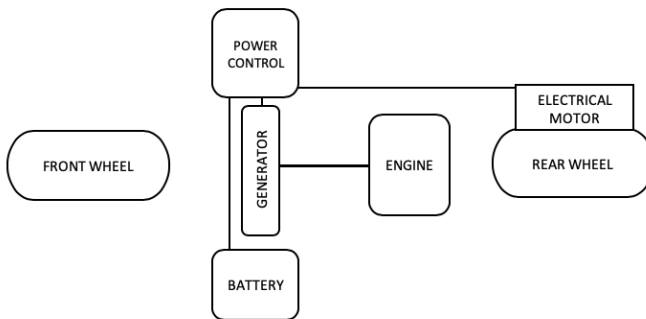
Gambar 3.2 Honda Revo 110 FI

Tabel 3.1 Spesifikasi Honda Revo 110 FI^[10]

Spesifikasi	Keterangan
Tipe mesin	4 langkah, SOHC
Volume langkah	109.17 cc
Daya maksimum	6,56 kW / 7500 rpm
Torsi maksimum	8,76 N.m / 6000 rpm
Kopling	Multiplate wet clutch with diaphragm spring
Sistem bahan bakar	Injeksi (PGM-FI)
Dimensi	1.919 x 709 x 1.080 mm
Rasio Transmisi ke-1	2,615
Rasio Transmisi ke-2	1,555
Rasio Transmisi ke-3	1,136
Rasio Transmisi ke-4	0,916
Rasio final drive	2,642
Jarak Sumbu Roda	1.227 mm
Jarak Terendah ke Tanah	135 mm
Berat kosong	97,5 kg
Luas frontal area	0,25 m ²

3.3 Konsep Rancangan

Penentuan konsep rancangan dilakukan untuk dapat menentukan konfigurasi awal dalam perancangan kendaraan. Konsep rangkaian dari kendaraan ditunjukkan pada gambar 3.3.



Gambar 3.3 Rangkaian *Hybrid* Seri pada Sepeda Motor *Hybrid*

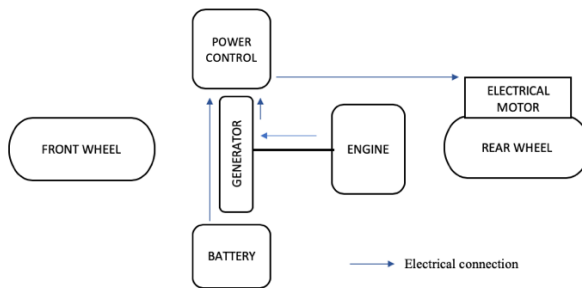
Dalam penelitian ini sepeda motor *hybrid* menggunakan rangkaian seri karena sepeda motor *hybrid* ini tidak membutuhkan konsumsi bahan bakar yang banyak, kemudian dirancang untuk digunakan di dalam kota, yang mana pengemudi tidak memerlukan kecepatan tinggi. Selain itu rangkaian seri pada kendaraan *hybrid* merupakan rangkaian yang sederhana.

3.4 Analisis Moda Kendaraan

Dalam penelitian sepeda motor *hybrid* dengan rangkaian seri ini dilakukan beberapa analisa mengenai moda berkendara apa saja yang mampu dilakukan. Beberapa hal yang menjadi pertimbangannya adalah kebutuhan kecepatan dan akselerasi kendaraan yang sesuai dengan konsep rancangan, serta pengisian baterai yang efisien. Kemudian dari pertimbangan-pertimbangan tersebut dipilih moda operasi berkendara yang dianggap memumpuni, diantaranya adalah sebagai berikut

3.4.1 Moda Murni Penggerak listrik (*Pure Electric Traction Mode*)

Sepeda motor *hybrid* seri dengan moda murni penggerak listrik mempunyai skema yang ditunjukkan pada gambar 3.4.

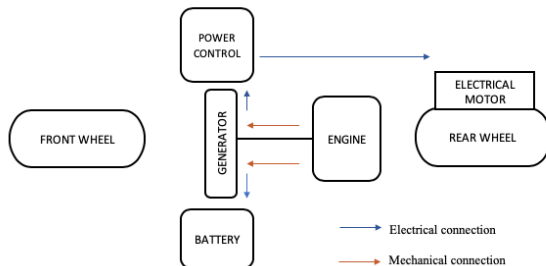


Gambar 3.4 Skema moda penggerak listrik sepeda motor *hybrid seri*

Pada moda penggerak listrik, kendaraan mendapatkan daya penggerak hanya dari baterai untuk menggerakkan motor listrik. Moda ini akan terus beroperasi apabila daya yang tersedia pada baterai tercukupi.

3.4.2 Moda Penggerak Mesin dan Mengisi ACCU (*Engine Traction with Battery Charging Mode*)

Sepeda motor *hybrid seri* dengan dengan moda penggerak mesin dan mengisi ACCU mempunyai skema yang ditunjukkan pada gambar 3.5.

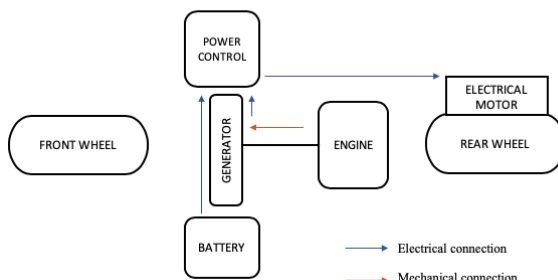


Gambar 3.5 Skema moda penggerak mesin dan mengisi ACCU sepeda motor *hybrid seri*

Pada moda penggerak mesin dan mengisi ACCU, kendaraan mendapatkan daya penggerak dari mesin-generator saja yang menyalurkan tenaga ke motor listrik karena daya dari baterai yang sudah tidak mampu menyuplai energi ke motor listrik. Selain menjadi daya penggerak utama pada moda ini, mesin-generator akan mengisi daya ke baterai.

3.4.3 Moda Penggerak *Hybrid* (*Hybrid Traction Mode*)

Pada sepeda motor *hybrid* seri dengan moda penggerak *hybrid* mempunyai skema yang ditunjukkan pada gambar 3.6.



Gambar 3.6 Skema moda penggerak *hybrid* sepeda motor *hybrid* seri

Pada moda penggerak *hybrid* mendapatkan daya penggerak dari mesin maupun perangkat penyimpanan energi atau disebut baterai untuk menyalurkan tenaga ke motor listrik, sehingga baterai pada sepeda motor *hybrid* seri tidak cepat terkuras.

Dengan beberapa macam moda berkendara dalam sebuah sepeda motor *hybrid* seri, dibutuhkan perancangan perpindahan moda berkendara. Berikut merupakan tabel parameter perpindahan moda berkendara pada sepeda motor *hybrid*.

Tabel 3.2 Parameter Perpindahan Moda Berkendara

Sepeda Motor Hybrid Seri	
Moda	SOC Baterai
Murni Penggerak Listrik (<i>Pure Electric</i>)	> 60%
<i>Hybrid</i>	$\leq 60\%$
Penggerak Mesin dan Pengisi ACCU	$\leq 20\%$

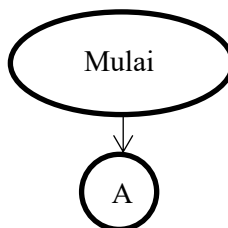
Dalam perancangan perpindahan moda berkendara ini yang menjadi acuan adalah SOC (*State of Charge*) dari baterai. Berdasarkan tabel 3.2, sepeda motor *hybrid* seri akan menggunakan moda berkendara murni penggerak listrik ketika baterai masih dalam keadaan lebih dari 60%, kemudian untuk moda *hybrid* akan beroperasi ketika SOC baterai kurang dari sama dengan 60%, dan untuk moda penggerak mesin dan pengisi ACCU akan beroperasi ketika SOC baterai sudah mencapai kurang dari sama dengan 20%.

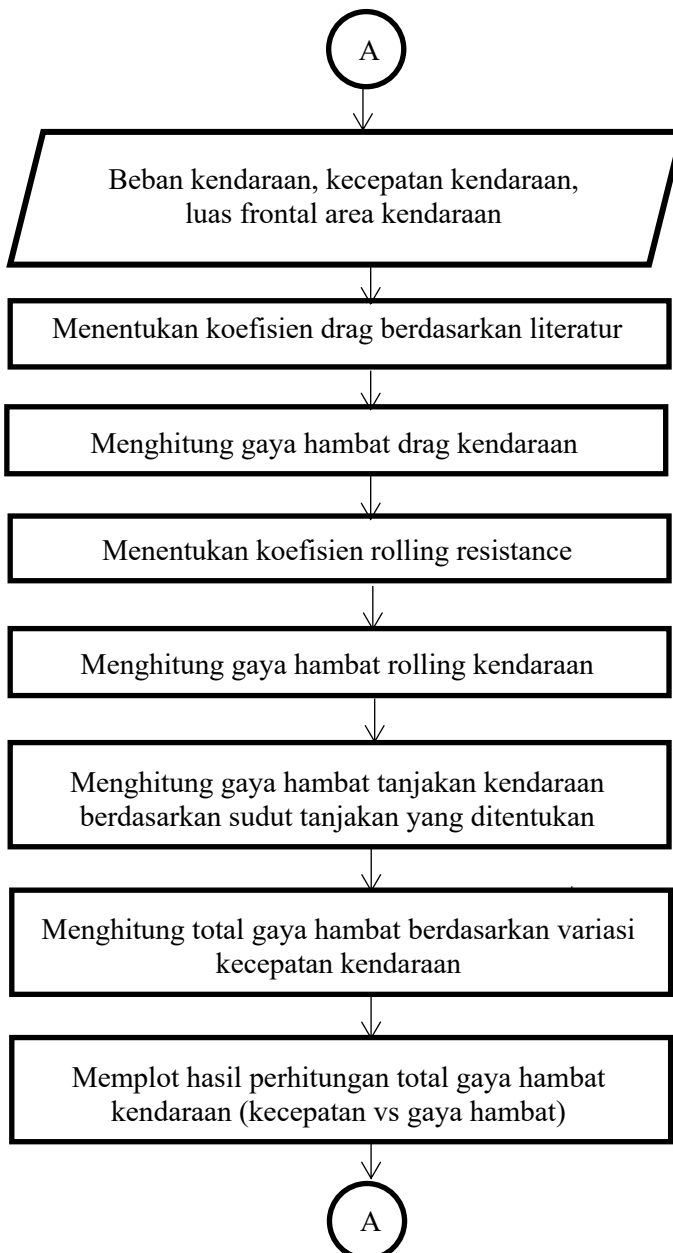
3.5 *Flowchart* Perhitungan

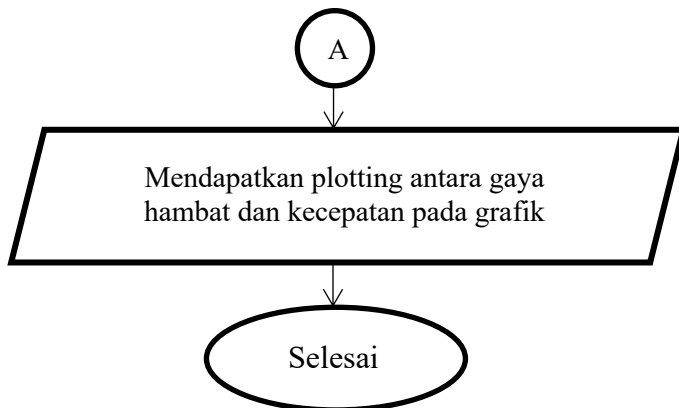
Pada sub bab ini berisi mengenai *flowchart* dari masing-masing perhitungan yang dibutuhkan.

3.5.1 *Flowchart* Perhitungan Gaya Hambat pada Kendaraan

Berikut ini merupakan *flowchart* perhitungan gaya hambat dari sepeda motor *hybrid* seri.







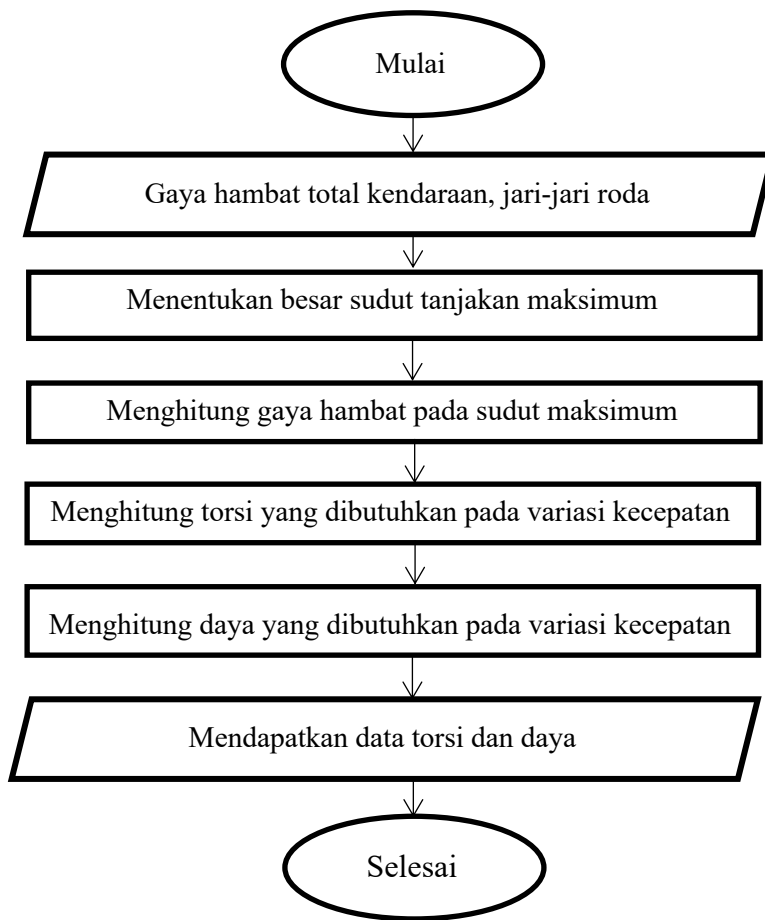
Gambar 3.8 Flowchart Perhitungan Gaya Hambat

Berikut merupakan langkah-langkah untuk melakukan perhitungan gaya hambat

1. Menentukan variasi kecepatan kendaraan dan menghitung luas frontal kendaraan.
2. Menentukan koefisien drag yang sesuai berdasarkan literatur.
3. Menghitung gaya hambat kendaraan berdasarkan persamaan 2.3.
4. Menentukan koefisien rolling resistance ban berdasarkan tekanan ban kendaraan yang ada pada persamaan 2.4.
5. Menghitung gaya hambat *rolling* kendaraan berdasarkan variasi sudut berdasarkan persamaan 2.5.
6. Menghitung gaya hambat tanjakan yang terjadi pada kendaraan berdasarkan persamaan 2.6.
7. Menghitung gaya hambat total yang terjadi pada kendaraan berdasarkan persamaan 2.8.

3.5.2 Flowchart Perhitungan Motor Kendaraan

Berikut ini merupakan *flowchart* perhitungan motor pada sepeda motor *hybrid* seri.



Gambar 3.8 Flowchart Perhitungan Motor

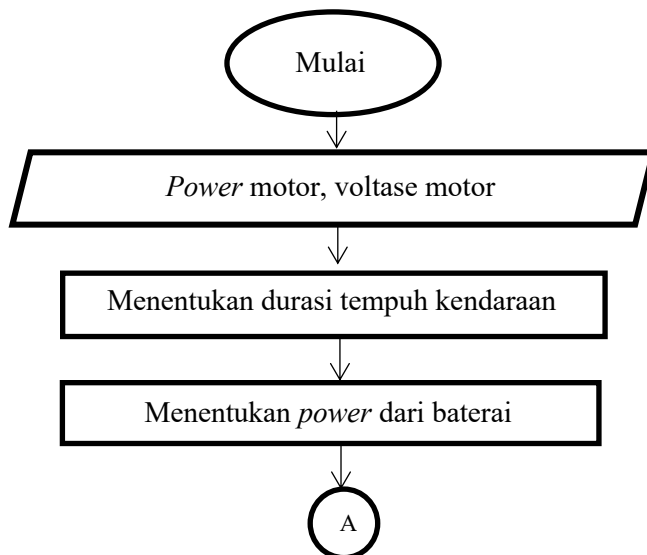
Berikut merupakan langkah-langkah untuk menentukan jenis motor yang dibutuhkan

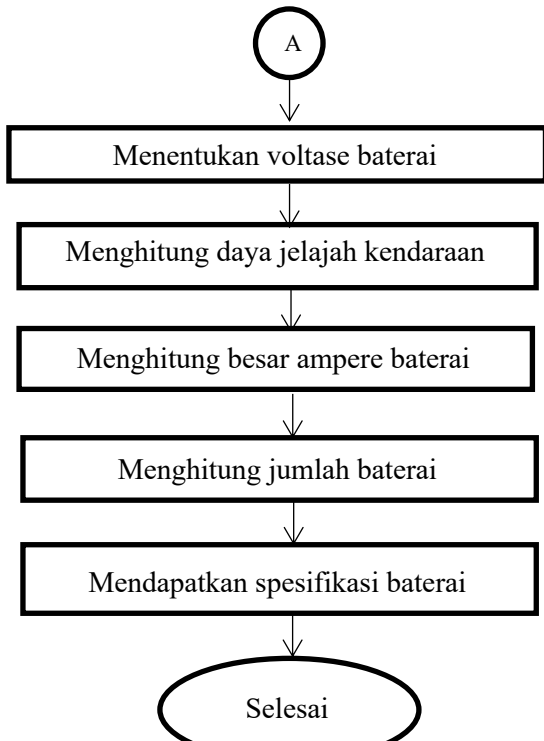
1. Mendapatkan data perhitungan gaya hambat kendaraan dari *flowchart* gambar 3.8 dan mengetahui jari-jari roda penggerak.

2. Menentukan besar sudut tanjakan maksimum yang dapat ditempuh kendaraan.
3. Menghitung gaya hambat yang terjadi pada sudut tanjakan maksimum kendaraan.
4. Menentukan besar kecepatan kendaraan yang diharapkan pada sudut maksimum kendaraan.
5. Menghitung besar torsi yang dibutuhkan berdasarkan persamaan 2.14
6. Menghitung besar daya yang dibutuhkan berdasarkan persamaan 2.15
7. Mendapatkan data torsi dan daya pada tiap kecepatan.
8. Menentukan jenis motor yang digunakan berdasarkan data yang didapat.

3.5.3 Flowchart Perhitungan Baterai Kendaraan

Berikut ini merupakan *flowchart* perhitungan baterai pada sepeda motor *hybrid* seri.





Gambar 3.9 Flowchart Perhitungan Baterai

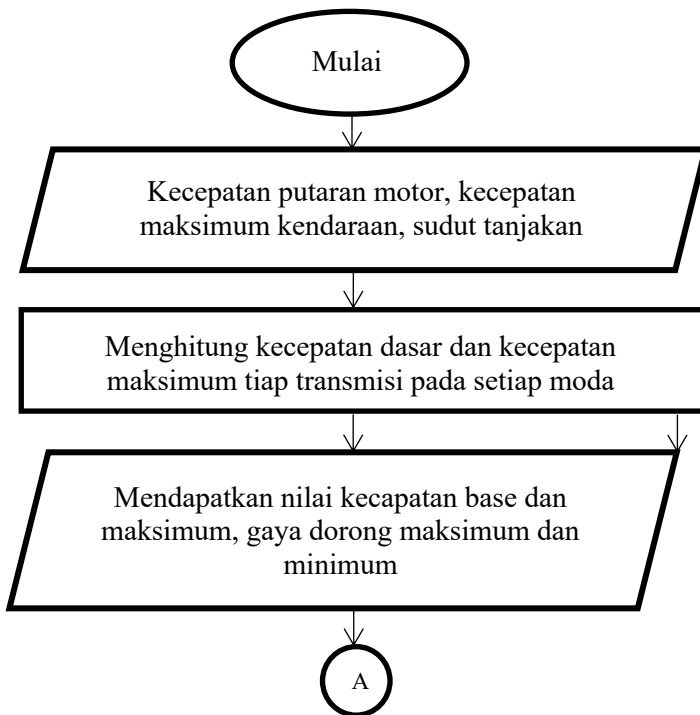
Langkah-langkah untuk menentukan baterai adalah sebagai berikut

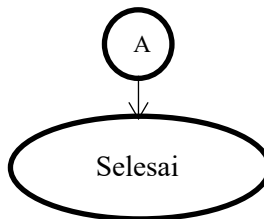
1. Berdasarkan energi baterai yang digunakan, langkah pertama yang dilakukan adalah menetapkan voltase baterai yang digunakan. Sebelumnya telah diketahui besar dari voltase motor, jadi besar voltase motor dan baterai sama.
2. Menentukan besar kwh yang diperlukan baterai untuk memenuhi kebutuhan kendaraan.
3. Menentukan besar voltase pada baterai. Sebelumnya telah diketahui besar dari voltase motor, jadi besar voltase motor dan baterai sama.

4. Menghitung jarak yang dapat ditempuh oleh kendaraan berdasarkan rumus 2.1.
5. Menghitung besar ampere baterai yang dibutuhkan berdasarkan rumus 2.2.
6. Menghitung jumlah baterai yang diperlukan berdasarkan ketersediaan baterai di pasaran.
7. Mendapatkan spesifikasi baterai yang diperlukan kendaraan.

3.5.4 Flowchart Analisa Karakteristik Traksi Kendaraan

Berikut ini merupakan *flowchart* perhitungan karakteristik transmisi sepeda motor *hybrid* seri.





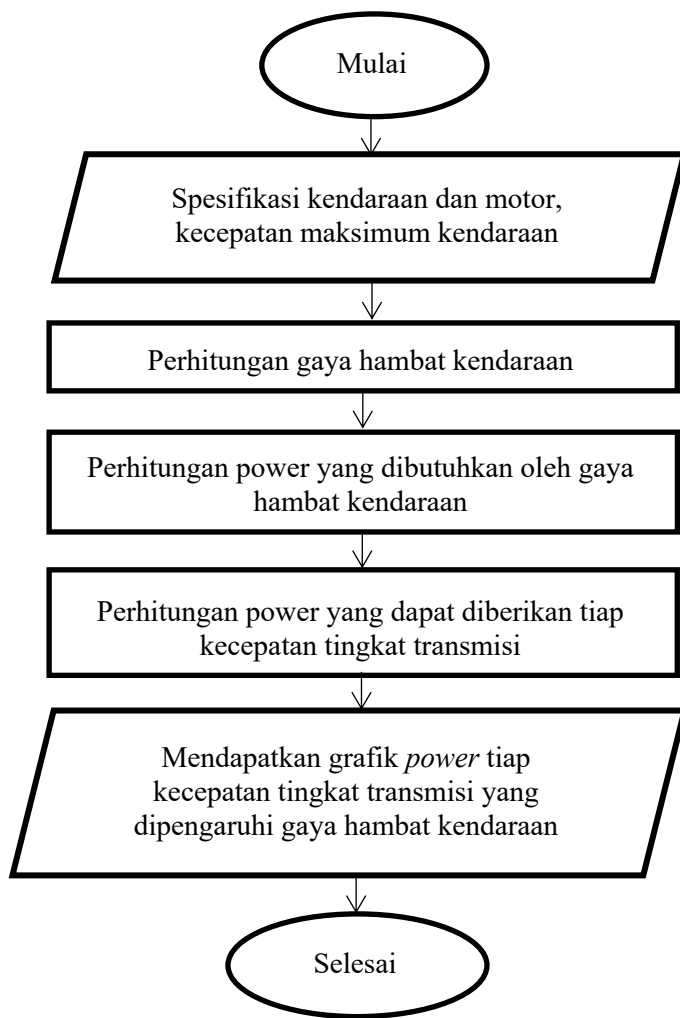
Gambar 3.10 *Flowchart* Perhitungan Karakteristik Traksi Kendaraan

Langkah-langkah untuk menentukan rasio transmisi kendaraan adalah sebagai berikut

1. Mendapatkan data kecepatan putaran motor, kecepatan maksimum dari kendaraan dan sudut tanjakan maksimum yang dapat dilalui kendaraan.
2. Menghitung kecepatan base dan maksimum yang dihasilkan tiap transmisi.
3. Menghitung gaya dorong maksimum dan minimum yang dihasilkan transmisi.
4. Membuat grafik traksi dari perhitungan gaya dorong diatas.
5. Menganalisa kesesuaian grafik traksi dengan teori yang ada.
6. Mendapatkan nilai kecepatan base dan maksimum tiap transmisi, gaya dorong maksimum dan minimum tiap transmisi.

3.5.5 Flowchart Perhitungan Karakteristik Power Kendaraan

Berikut ini merupakan *flowchart* perhitungan karakteristik power pada sepeda motor *hybrid* seri.



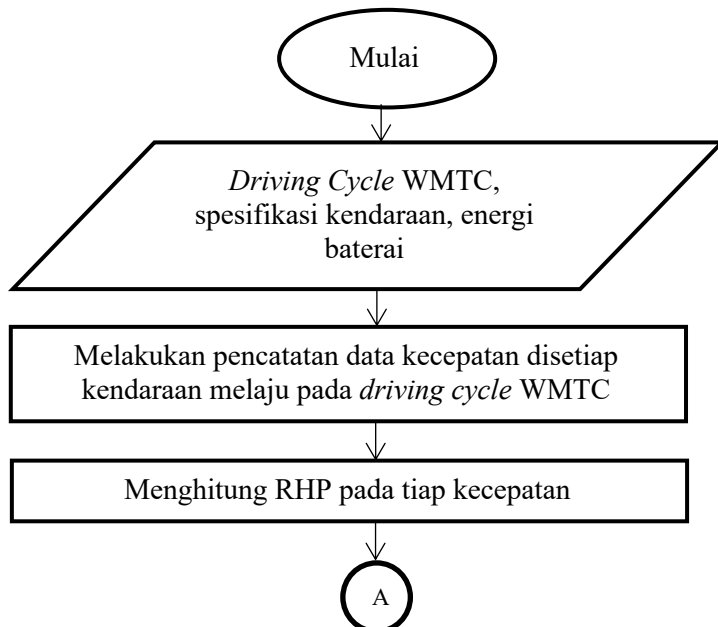
Gambar 3.11 Flowchart Perhitungan Karakteristik Power Kendaraan

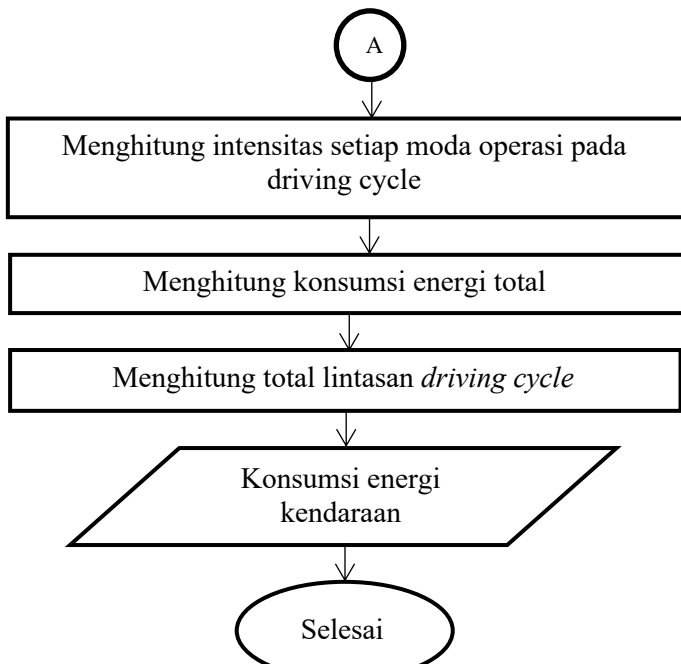
Langkah-langkah untuk menentukan rasio transmisi kendaraan adalah sebagai berikut

1. Mendapatkan spesifikasi kendaraan, spesifikasi motor dan kecepatan maksimum dari kendaraan.
2. Mendapatkan perhitungan gaya hambat kendaraan.
3. Menghitung kebutuhan power untuk gaya hambat.
4. Menghitung kebutuhan power tiap tingkat transmisi berdasarkan kecepatan maksimum tiap tingkat transmisi.
5. Membuat grafik karakteristik power kendaraan berdasarkan hasil yang diperoleh di langkah ketiga dan keempat.

3.5.6 Flowchart Menghitung Konsumsi Energi Kendaraan

Berikut ini merupakan *flowchart* perhitungan konsumsi bahan bakar pada sepeda motor *hybrid* seri





Gambar 3.12 Flowchart Perhitungan Konsumsi Energi Kendaraan

Langkah-langkah untuk menghitung konsumsi energi kendaraan adalah sebagai berikut

1. Melakukan pencatatan data kecepatan di setiap titik-titik kecepatan pada *driving cycle* pilihan.
2. Menghitung besar daya pada setiap titik-titik kecepatan pada *driving cycle* berdasarkan persamaan 2.15
3. Menghitung intensitas setiap moda operasi berdasarkan kecepatan yang ada pada gambar 3.7
4. Memplot besar daya pada setiap titik-titik kecepatan pada *driving cycle*
5. Mendapatkan konsumsi energi dari hasil integral daya terhadap waktu.

BAB 4

HASIL DAN PEMBAHASAN

Pada bab 4 ini menjelaskan tentang hasil perhitungan dan pembahasan analisis dari gaya hambat kendaraan, menentukan spesifikasi motor listrik dan baterai yang sesuai dengan kebutuhan kendaraan, lalu karakteristik traksi dan daya, dan yang terakhir konsumsi energi pada sepeda motor *hybrid* seri.

4.1 Gaya Hambat Kendaraan

Gaya hambat kendaraan adalah total dari gaya hambat angin, gaya hambat *rolling*, dan gaya hambat akibat tanjakan. Kemudian setelah mengetahui total gaya hambat yang terjadi dapat menentukan daya yang dibutuhkan oleh kendaraan berdasarkan sumber tenaga yang digunakan.

4.1.1 Gaya Hambat Angin (Ra)

Dalam sub bab 4.1.1 ini akan membahas perhitungan dan juga analisis dari gaya hambat angin.

4.1.1.1 Perhitungan Gaya Hambat Angin

Untuk menghitung gaya hambat angin dibutuhkan massa jenis udara, koefisien drag kendaraan, luas frontal kendaraan, serta kecepatan. Untuk nilai massa jenis udara, koefisien drag kendaraan, dan luas frontal kendaraan pada perhitungan ini menggunakan refrensi dari penelitian Van-Tran Nguyen dan Pyung Hwang. Berikut merupakan contoh perhitungan gaya hambat angina pada kecepatan 9 km/h atau 2,5 m/s.

$$Ra = 0,5 \times \rho_u \times C_D \times Af \times V^2$$

dimana : $\rho_u = 1,2 \text{ kg/m}^3$ $Af = 0,25 \text{ m}^2$

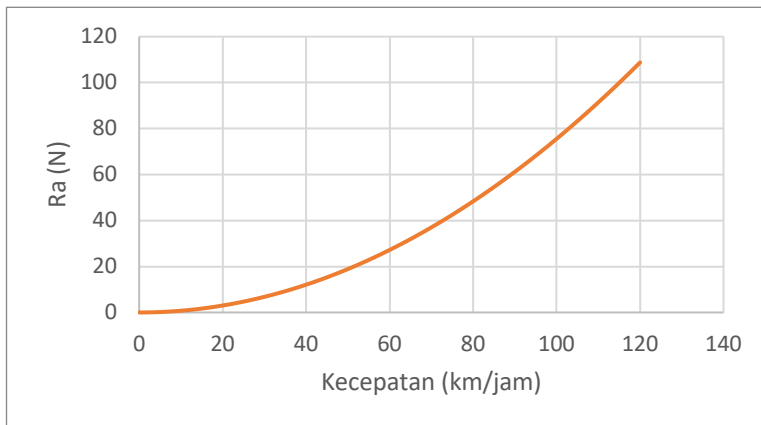
$$C_D = 0,65 \quad V_k = 9 \text{ km/h} = 2,5 \text{ m/s}$$

$$Ra = 0,5 \times 1,2 \frac{\text{kg}}{\text{m}^3} \times 0,65 \times 0,25 \text{ m}^2 \times (2,5 \text{ m/s})^2$$

$$Ra = 0,6117 \text{ N}$$

4.1.1.2 Analisis Gaya Hambat Angin

Gambar di bawah ini merupakan grafik dari plotting gaya hambat angin dengan variasi kecepatan berdasarkan hasil dari perhitungan seperti pada sub bab 4.1.1.1.



Gambar 4.1 Grafik Gaya Hambat Angin Kendaraan

Berdasarkan grafik pada gambar 4.1 dapat diketahui bahwa semakin bertambahnya nilai kecepatan kendaraan, semakin besar nilai gaya hambat angin kendaraan. Pada grafik menunjukkan gaya hambat paling kecil terjadi pada kecepatan 0 km/jam dengan nilai gaya hambat angin kendaraan 0 N, sedangkan nilai gaya hambat angin yang paling besar adalah 108,757 N pada kecepatan maksimal 120 km/jam.

4.1.2 Gaya Hambat *Rolling* (Rr)

Dalam sub bab 4.1.2 ini akan membahas penentuan nilai koefisien *rolling resistance*, lalu perhitungan dan analisis gaya hambat *rolling*.

4.1.2.1 Penentuan Nilai Koefisien Rolling Resistance (fr)

Dalam menentukan nilai koefisien *rolling resistance* digunakan grafik dari gambar 2.11. Tekanan ban sepeda motor diasumsikan sebesar 30 psi sehingga didapat f_0 dengan nilai 0,01 dan f_s dengan nilai 0,005 dari grafik. Selanjutnya dilakukan perhitungan untuk mendapatkan nilai f_r berdasarkan persamaan 2.4. Berikut merupakan contoh perhitungan untuk menentukan koefisien *rolling resistance* dengan kecepatan 2,5 m/s.

$$f_r = f_0 + f_s \left(\frac{v}{100} \right)^{2,5}$$

dimana : $f_0 = 0,01$ $f_s = 0,005$
 $v_k = 2,5 \text{ m/s}$

$$\begin{aligned} f_r &= 0,01 + 0,05 \left(\frac{2,5}{100} \right)^{2,5} \\ f_r &= 0,01001215 \end{aligned}$$

4.1.2.2 Perhitungan Gaya Hambat Rolling

Setelah menentukan nilai koefisien *rolling*, dilakukan perhitungan gaya hambat *rolling* berdasarkan sudut dan berat total kendaraan menggunakan persamaan 2.5. Berikut merupakan salah satu contoh perhitungan pada kecepatan 2,5 m/s.

$$R_r = f_r \times W \cos \theta$$

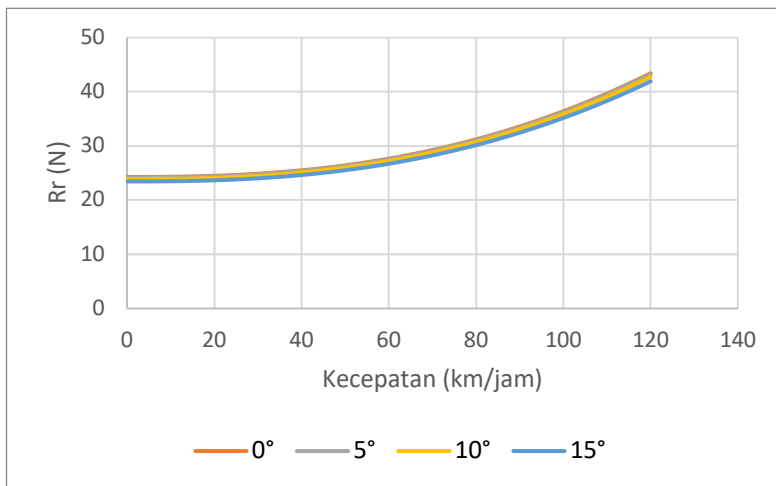
dimana : $m_{\text{total}} = 247,5 \text{ kg}$ $\theta = 0^\circ$
 $g = 9,81 \text{ m/s}^2$
 $f_r \left(2,5 \frac{\text{m}}{\text{s}} \right) = 0,01001215$

$$R_r = 0,01001215 \times 247,5 \text{ kg} \times 9,81 \frac{\text{m}}{\text{s}^2} \times \cos(0)$$

$$R_r = 24,309 \text{ N}$$

4.1.2.3 Analisis Gaya Hambat Rolling

Gambar di bawah ini merupakan grafik dari plottingan gaya hambat *rolling* dengan variasi kecepatan berdasarkan hasil dari perhitungan seperti pada sub bab 4.1.2.2 yang didapatkan setelah menentukan koefisien *rolling* seperti pada sub bab 4.1.2.1.



Gambar 4.2 Gaya Hambat *Rolling* Kendaraan

Dalam perhitungan koefisien *rolling*, didapatkan nilai koefisien *rolling* akan semakin besar apabila kecepatan kendaraan terus bertambah. Sedangkan berdasarkan variasi sudut tanjak kendaraan, semakin besar sudut tanjak yang dilalui kendaraan maka semakin kecil gaya hambat *rolling* yang terjadi pada kendaraan. Hal tersebut dikarenakan gaya normal pada ban semakin kecil seiring bertambahnya sudut tanjak. Terlihat bahwa gaya hambat *rolling* kendaraan paling besar ketika kendaraan

melewati jalan mendatar 0° , sedangkan gaya hambat *rolling* kendaraan bernilai paling minim pada sudut 15°

4.1.3 Gaya Hambat Tanjakan (Rg)

Dalam sub bab 4.1.3 ini akan membahas perhitungan dan analisis gaya hambat gradien dengan variasi sudut $0^\circ, 5^\circ, 10^\circ, 15^\circ$.

4.1.3.1 Perhitungan Gaya Hambat Gradien

Untuk menghitung gaya hambat gradien berdasarkan variasi sudut dan berat total kendaraan menggunakan persamaan 2.6. Berikut merupakan contoh perhitungan gaya hambat gradien dengan sudut 15° .

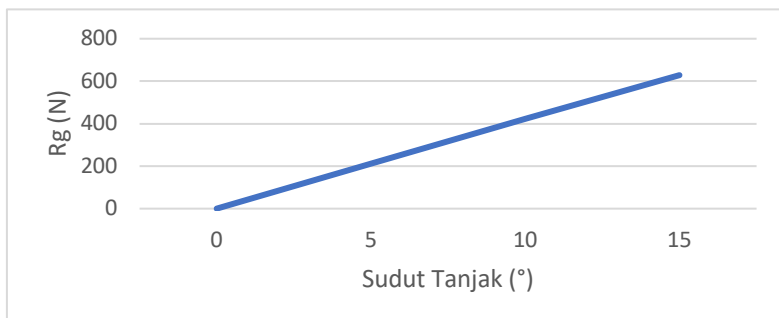
$$Rg = m \times g \times \sin(\theta)$$

dimana : m total = 247,5 kg $\theta = 15^\circ$
 $g = 9,81 \text{ m/s}^2$

$$\begin{aligned} Rg &= 247,5 \text{ kg} \times 9,81 \text{ m/s}^2 \times \sin(20) \\ Rg &= 628,406 \text{ N} \end{aligned}$$

4.1.3.2 Analisis Gaya Hambat Gradien

Gambar di bawah ini merupakan grafik dari plotting gaya hambat gradien dengan variasi sudut tanjakan berdasarkan hasil dari perhitungan seperti pada sub bab 4.1.3.1.



Gambar 4.3 Gaya Hambat Gradien

Berdasarkan grafik pada gambar 4.3 menunjukkan besar gaya hambat tanjakan akan semakin besar ketika nilai sudut tanjakan yang dilalui kendaraan juga semakin besar. Nilai gaya hambat gradien paling kecil adalah 0 N pada sudut 0° , hal ini disebabkan karena kendaraan tidak mengalami pertambahan berat akibat adanya sudut tanjakan. Sedangkan nilai gaya hambat tanjakan terjadi pada sudut tanjak 15° dengan nilai 628,406 N.

4.1.4 Gaya Hambat Total (Ft)

Dalam sub bab 4.1.4 ini akan membahas perhitungan dan analisis gaya hambat total. Gaya hambat total ini merupakan penjumlahan dari gaya hambat angina, gaya hambat *rolling*, dan gaya hambat gradien.

4.1.4.1 Perhitungan Gaya Hambat Total

Untuk melakukan perhitungan gaya hambat total, dilakukan pejumlahan dari gaya hambat angina, gaya hambat *rolling*, dan gaya hambat gradien yang sudah didapatkan dari perhitungan sebelumnya dengan setiap variasi sudut 0° , 5° , 10° , 15° . Berikut merupakan contoh perhitungan gaya hambat total pada kecepatan 2,5 m/s dengan sudut 15°

$$F_t = R_a + R_r + R_g$$

$$F_t = (0,5 \cdot \rho_u \cdot C_d \cdot A_f \cdot V_k^2) + (f_r \cdot W \cos\theta) +$$

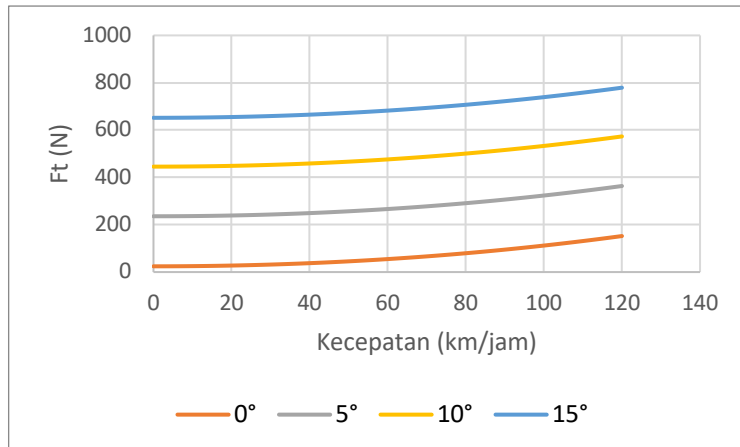
$$W \sin\theta$$

dimana	$m = 247,5 \text{ kg}$	$\theta = 15^\circ$
	$g = 9,81 \text{ m/s}^2$	$f_r (2,5 \text{ m/s}) = 0,01001215$
	$\rho_u = 1,2 \text{ kg/m}^3$	$A_f = 0,25 \text{ m}^2$
	$C_d = 0,65$	$V_k = 9 \text{ km/h} = 2,5 \text{ m/s}$

$$\begin{aligned}
 Ft = & \left(0,5 \times 1,2 \frac{\text{kg}}{\text{m}^3} \times 0,65 \times 0,25 \text{ m}^2 \times 2,5^2 \right) \\
 & + (0,01001215 \times 247,5 \text{ kg} \times 9,81 \frac{\text{m}}{\text{s}^2} \times \\
 & \cos(15)) + (247,5 \text{ kg} \times 9,81 \frac{\text{m}}{\text{s}^2} \times \sin(15)) \\
 Ft = & 652,36 \text{ N}
 \end{aligned}$$

4.1.4.2 Analisis Gaya Hambat Total

Gambar di bawah ini merupakan plotting dari gaya hambat total kendaraan dengan variasi kecepatan dan juga sudut tanjakan berdasarkan hasil dari perhitungan seperti pada sub bab 4.1.4.1.



Gambar 4.4 Gaya Hambat Total Kendaraan

Berdasarkan grafik pada gambar 4.4 menunjukkan bahwa semakin besar sudut tanjakan yang dilewati oleh kendaraan maka gaya hambat total juga akan semakin besar. Sehingga nilai gaya hambat total terbesar terjadi pada sudut 15° dengan nilai gaya hambat total sebesar 779,113 N pada kecepatan 120 km/jam. Sedangkan untuk gaya hambat total terkecil terjadi ketika

kendaraan melaju pada sudut 0° dengan nilai berkisar antara 24,279 N – 152,187 N.

4.2 Motor Listrik

Pada sub bab 4.2 ini akan membahas mengenai perhitungan daya dan torsi yang dibutuhkan motor listrik pada sepeda motor *hybrid* seri, dimana motor listrik merupakan penggerak utama dari kendaraan.

4.2.1 Perhitungan Kebutuhan Daya Motor Listrik

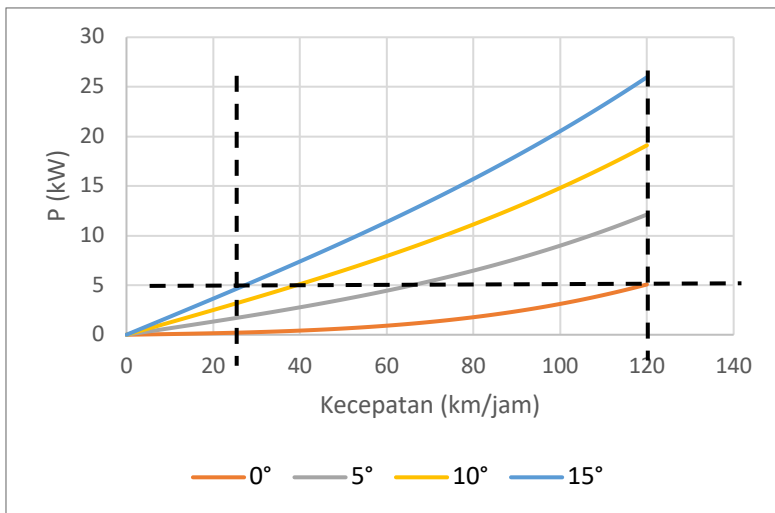
Ketika kendaraan melaju, kendaraan membutuhkan daya untuk dapat melawan gaya hambatan yang terjadi saat kendaraan melaju. Berikut merupakan contoh perhitungan daya yang dibutuhkan oleh kendaraan menggunakan persamaan 2.15 pada kecepatan 120 km/jam atau 33,33 m/s dengan sudut kemiringan jalan sebesar 0° .

$$RHP = Ft \times Vk$$

dimana : $Ft_{33,33m/s}(0^\circ) = 152,187 \text{ N}$
 $Vk = 33,33m/s$

$$\begin{aligned} RHP &= 152,187 \text{ N} \times 33,33 \text{ m/s} \\ RHP &= 5,072 \text{ kW} \end{aligned}$$

Perhitungan diatas dilakukan pada setiap kecepatan, lalu dilakukan *plotting* sehingga terbentuk grafik seperti pada gambar 4.5.



Gambar 4.5 Daya yang dibutuhkan kendaraan

Grafik pada gambar 4.5 merupakan plotting dari perhitungan daya yang dibutuhkan kendaraan sampai dengan kecepatan 120 km/jam dengan variasi sudut 0° , 5° , 10° , 15° . Berdasarkan grafik pada gambar 4.5 menunjukkan bahwa seiring bertambahnya kecepatan kendaraan, semakin besar daya yang dibutuhkan, begitu pula pada kemiringan sudut jalan yang ditempuh kendaraan. Pada gambar 4.5 bisa dilihat saat kendaraan melaju dengan kecepatan 120 km/jam pada sudut tanjakan 0° membutuhkan daya sebesar 5,072 kW sedangkan kecepatan pada tanjakan 15° yang membutuhkan daya seperti kecepatan maksimum di tanjakan 0° adalah 28 km/jam dengan kebutuhan daya sebesar 5,119 kW.

4.2.3 Perhitungan Kebutuhan Torsi Motor Listrik

Selain membutuhkan daya untuk menentukan motor listrik dibutuhkan juga torsi. Berikut merupakan perhitungan untuk mendapatkan torsi pada kecepatan maksimum di jalan mendatar dan pada tanjakan 15° dengan kecepatan 28 km/jam.

$$Td = Ft \cdot R$$

dimana : $Ft_{33,33\text{m/s}}(0^\circ) = 152,18 \text{ N}$ $R = 0,2879 \text{ m}$
 $Ft_{7,778\text{m/s}}(15^\circ) = 658,26 \text{ N}$

$$\begin{aligned} Td_0 &= 152,18 \text{ N. } 0,2879 \text{ m} & Td_{150} &= 658,26 \text{ N. } 0,2879 \text{ m} \\ Td_{00} &= 43,814 \text{ Nm} & Td_{150} &= 189,514 \text{ Nm} \end{aligned}$$

Berdasarkan perhitungan diatas torsi yang dibutuhkan pada kecepatan maksimum di jalan mendatar adalah 43,814, sedangkan untuk jalan dengan tanjakan 15° pada kecepatan 28 km/jam membutuhkan torsi 189,514 Nm.

4.2.4 Analisis Pemilihan Motor Listrik

Berdasarkan hasil perhitungan kebutuhan daya yang dibutuhkan kendaraan dengan kecepatan maksimum dan juga menanjak sekitar 5 kW seperti yang sudah dilakukan pada sub bab sebelumnya, dapat dilakukan survey untuk menentukan motor listrik yang memenuhi syarat dan yang tersedia di pasaran. Setelah melakukan survei didapatkan motor listrik yang sesuai dengan yang dibutuhkan kendaraan yaitu motor listrik QS 10inch 3000 W 205 50H BLDC Hub motor. Berikut merupakan gambar dan juga spesifikasi dari motor listrik QS 10inch 3000 W 205 50H BLDC Hub motor.



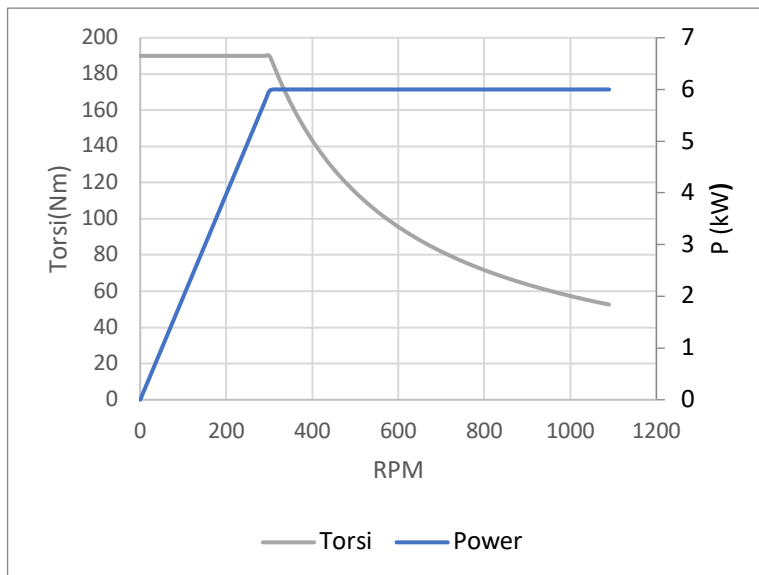
SPECIFICATION

Motor Type:	BLDC In-Wheel Hub Motor
Brand:	QS Motor, QSMOTOR
Motor Design:	Double axle with rim(integrated)
Matched Tire:	10-3.0
PCD :	3*80mm M8
CB:	58mm
Stator:	Aluminum Core
Rated Power:	3000W
Peak Power	6000W
Rated Voltage:	60V
Speed:	1090RPM
Drop-outs:	200mm
Max Torque:	approx 160N.m
Max Efficiency:	approx 87%
Thermic Probe:	KTY83/122(as default)
Working Temperature:	70-120°C , peak 150 °C
Brake type:	Disc brake
Hall Sensor:	Dual Halls with waterproof connectos (not include insulation layer)
Phase Wire:	10mm ²
Waterproof Grade:	IP54
Color: Black	Black
N.W./G.W.:	approx 13.44kgs/14.82kgs
Package Dimension:	34cm*34cm*33cm/piece

Gambar 4.6 Spesifikasi QS 10inch 3000 W 205 50H BLDC Hub motor.

Motor listrik QS 10inch 3000 W 205 50H BLDC Hub motor ini memenuhi kebutuhan sepeda motor *hybrid* seri dengan *peak power* sebesar 6000 W untuk kebutuhan daya jalan kendaraan pada saat jalan datar dengan kecepatan maksimum yaitu 120 km/jam dan juga pada jalan menanjak 15° dengan kecepatan 28 km/jam. Setelah memilih motor listrik QS 10inch 3000 W 205 50H BLDC Hub motor sebagai motor yang akan digunakan pada sepeda motor *hybrid* seri, kemudian langkah selanjutnya adalah

memplotting data torsi dan daya dari motor listrik untuk mendapatkan grafik. Dari data yang diketahui dengan torsi maksimum motor listrik sebesar 191 Nm, *peak power* 6000 W, dan putaran maksimum 1090 berikut merupakan grafik dari karakteristik motor listrik QS 10inch 3000 W 205 50H BLDC Hub motor.



Gambar 4.7 Karakteristik QS 3000W 205 50H BLDC Hub Motor.

Gambar diatas merupakan grafik karakteristik QS 10inch 3000 W 205 50H BLDC Hub motor. yang dibuat berdasarkan pendekatan karakteristik motor listrik, dimana torsi motor listrik memiliki nilai maksimum sebesar 191 Nm pada putaran awal sampai pada putaran base di 300 rpm, kemudian turun secara hiperbolik sampai putaran maksimumnya yaitu 1090. Untuk daya motor listrik, pada grafik menunjukkan kenaikan dari putaran awal sampai putaran base yang mencapai daya maksimum yaitu 6000

W, kemudian akan cenderung konstan setelah melewati putaran basenya yang sesuai dengan teori dari karakteristik motor listrik.

4.3 Baterai

Setelah mengetahui spesifikasi motor listrik yang akan digunakan maka bisa dilakukan analisa perhitungan power baterai, jumlah baterai dan pemilihan jenis baterai yang digunakan untuk sepeda motor hybrid.

4.3.1 Perhitungan Baterai

Analisa perhitungan baterai akan dilakukan pada saat kondisi sedang pada moda murni elektrik, dimana kendaraan hanya akan digerakkan oleh motor listrik yang mendapatkan daya dari baterai. Kendaraan yang bisa dijadikan referensi adalah sepeda motor listrik Gesits karena pada perancangan ini didesain seperti sepeda motor listrik namun dapat mengisi baterai di jalan. Motor listrik Gesits menggunakan motor listrik berdaya 5 kW dengan kemampuan daya baterai bisa bertahan hingga jarak tempuh menapai 50 km dan konsumsi energinya sebesar 35 km/kWh . Berikut adalah langkah-langkah perhitungan yang digunakan untuk menghitung kebutuhan baterai.

- Langkah pertama adalah menentukan durasi tempuh dari kendaraan, dimana durasi tempuh ini adalah seberapa besarnya jarak yang bisa ditempuh kendaraan tiap kwh. Pada penelitian ini yang digunakan untuk acuan adalah dari sepeda motor listrik Gesits yang mampu menempuh jarak sejauh 50 km dengan konsumsi energi sebesar 35 km/kwh.
- Langkah kedua adalah menentukan jarak jelajah kendaraan sesuai dengan kebutuhan yaitu sebesar 30 km.
- Langkah ketiga adalah menghitung energi baterai yang dapat ditempuh oleh kendaraan berdasarkan data durasi tempuh kendaraan dan jarak jelajah kendaraan yang telah didapat pada langkah pertama dan kedua, berikut ini merupakan perhitungan energi yang dibutuhkan kendaraan:

$$E = \frac{s}{Fe}$$

$$E = \frac{30 \text{ km}}{35 \text{ km/kWh}} = 0,857 \text{ kWh}$$

- Langkah keempat adalah menentukan besar voltase pada baterai. Pada tahap ini terlebih dahulu mengetahui besar dari voltase motor, sehingga besar voltase motor dan baterai adalah sama.
- Langkah kelima adalah menghitung besar ampere baterai yang dibutuhkan. Berdasarkan langkah-langkah diatas sudah didapatkan power dan voltase dari baterai yang diinginkan, maka berikut ini merupakan perhitungan untuk mendapatkan ampere baterai:

$$Ah = \frac{E}{V}$$

$$Ah = \frac{0,857 \text{ kWh}}{60 \text{ V}} = 14,28 \text{ Ah} = 15 \text{ Ah}$$

- Langkah keenam adalah menghitung jumlah baterai yang diperlukan berdasarkan ketersediaan baterai di pasaran. Berdasarkan perhitungan minimal kebutuhan baterai di langkah sebelumnya maka didapatkan spesifikasi baterai yang ada di pasaran menggunakan baterai Rear Rack Type 60 V 15 Ah Electric Bicycle Lithium Battery Pack. Maka berikut ini merupakan perhitungan jumlah pack baterai yang harus digunakan:

$$\text{Jumlah baterai} = \frac{60 \text{ V}}{60 \text{ V}} = 1$$

4.3.2 Spesifikasi Baterai

Berdasarkan perhitungan pada sub bab 4.4.1 ditentukan bahwa dalam perancangan sepeda motor hybrid ini akan menggunakan baterai Rear Rack Type 60 V 15 Ah Electric Bicycle Lithium Battery Pack. Gambar 4.17 menunjukkan penampakan dan spesifikasi dari baterai Rear Rack Type 60 V 25 Ah Electric Bicycle Lithium Battery Pack.



Model	60V 15AH	
Nominal Voltage	60V	
Nominal Capacity	15AH	
Composed Type	16S7P	
Cells	3.7V Samsung 2200MAH 18650 CELL	
BMS	Continuous Discharge Current	40amp
	Peak Discharge Current	120amp
Fit Motor Power	60v 500W 750W 1000W 1500W 2000W	
Charge Current	2A-5A	
Charge Cut-off Voltage	67.2V	
Discharge Cut-off Voltage	45.0V	
Discharge Temperature	-20 to 65°C	
Charge Temperature	0 to 45°C	
Dimensions	60*150*360mm	
Battery Weight	6.1kg	
Cycle life	≥80% capacity after 1000 cycles	

Gambar 4.8 Baterai Rear Rack Type 60 V 15 Ah Electric Bicycle Lithium Battery Pack

4.4 Karakteristik Traksi Kendaraan

Pada kendaraan *hybrid* seri, tenaga penggerak sepenuhnya berasal dari motor listrik sehingga karakteristik traksinya sama persis dengan karakteristik traksi kendaraan listrik. Maka dari setiap moda pada kendaraan *hybrid* seri mempunyai karakteristik traksi yang sama. Motor listrik akan dipasang di roda belakang tanpa *gearbox* yang artinya tidak menerapkan tingkatan transmisi. Untuk menentukan karakteristik traksi tiap moda pada sepeda motor *hyrbid* seri diperlukan perhitungan kecepatan *base* (V_{base}), kecepatan maksimum (V_{max}), gaya traksi minimum ($F_t \text{ min}$), dan gaya traksi maksimum ($F_t \text{ maks}$) dari kendaraan. Moda berkendara yang akan dihitung dan di analisis pada sub bab ini adalah moda murni penggerak listrik (*pure electric*) dan moda *hybrid*, sedangkan perhitungan dan analisis untuk moda penggerak mesin dan isi ACCU dilakukan setelah mendapatkan spesifikasi dari baterai.

4.4.1 Karakteristik Traksi Moda Murni Penggerak listrik (*Pure Electric*)

Pada sepeda motor *hybrid* seri moda murni penggerak listrik ini menggunakan motor listrik sebagai penggerak yang mendapatkan supply daya dari baterai. Untuk menentukan karakteristik traksi moda murni penggerak listrik pada tahap pertama dilakukan perhitungan V_{base} dan V_{maks} dari transmisi. Berikut merupakan perhitungan V_{base} dan V_{maks} menggunakan persamaan 2.21.

- Kecepatan *base*

$$V_{base} = \frac{\pi \times R \times N_{base}}{30 \times I_t \times I_g}$$

dimana : $N_{base} = 300$ $R = 0,2879 \text{ m}$

$$V_{base} = \frac{3,14 \times 0,2879 \text{ m} \times 300}{30 \times 1 \times 1} \times \frac{3600 \text{ s}}{1000 \text{ m}}$$

$$V_{base} = 32,544 \text{ km/jam}$$

- Kecepatan maksimum

$$V_{maks} = \frac{\pi \times R \times N_{maks}}{30 \times I_t \times I_g}$$

dimana : $N_{maks} = 1090$ $R = 0,2879 \text{ m}$

$$V_{maks} = \frac{3,14 \times 0,2879 \text{ m} \times 1090}{30 \times 1 \times 1} \times \frac{3600 \text{ s}}{1000 \text{ m}}$$

$$V_{maks} = 118,243 \text{ km/jam}$$

Berdasarkan perhitungan V_{base} dan V_{maks} berdasarkan putaran base sebesar 300 rpm dan putaran maksimum motor

sebesar 1090 rpm, didapatkan nilai Vbase yaitu 32,544 km/jam dan Vmaks sebesar 118,243 km/jam. Namun nilai kecepatan maksimum yang sebenarnya akan didapat dari perhitungan dan analisis gaya traksi pada kendaraan yang dipengaruhi gaya hambat total, dimana nanti akan didapat perpotongan garis gaya traksi dengan gaya hambat pada grafik karakteristik traksi.

Kemudian tahap berikutnya dalam menentukan karakteristik traksi yaitu melakukan perhitungan gaya traksi minimum (Ft min) dan gaya traksi maksimum (Ft maks) dari transmisi. Berikut merupakan perhitungan Ft min dan Ft maks berdasarkan persamaan 2.22.

- Ft minimum

$$Ft_{\min} = \frac{It \times Ig \times Tm_{\min}}{R} \times \eta_t$$

dimana : $Tm_{\min} = 53 \text{ Nm}$ $R = 0,2879 \text{ m}$

$$Ft_{\min} = \frac{1 \times 1 \times 53 \text{ Nm}}{0,2879 \text{ m}} \times 1$$

$$Ft_{\min} = 182,67 \text{ N}$$

- Ft maksimum

$$Ft_{\max} = \frac{It \times Ig \times Tm_{\max}}{R} \times \eta_t$$

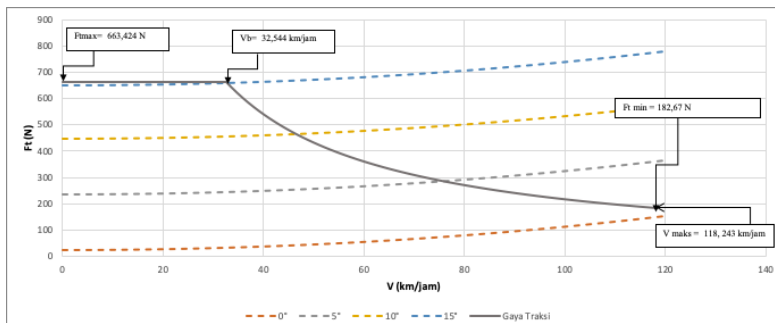
dimana : $Tm_{\max} = 191 \text{ Nm}$ $R = 0,2879 \text{ m}$

$$Ft_{\max} = \frac{1 \times 1 \times 191 \text{ Nm}}{0,2879 \text{ m}} \times 1$$

$$Ft_{\max} = 663,424 \text{ N}$$

Perhitungan untuk mendapatkan F_t min dan F_t maks diatas menggunakan torsi minimum dan juga torsi maksimum dari motor listrik QS 10inch 3000 W 205 50H BLDC Hub motor. Didapatkan hasil sebesar 189,759 N untuk F_t min dan 663,424 N untuk F_t maks.

Berdasarkan hasil perhitungan V base, V maksimum, F_t minimum, dan juga F_t maksimum pada sub bab sebelumnya bisa dilakukan plotting sehingga didapatkan grafik karakteristik traksi. Berikut merupakan grafik dari karakteristik traksi sepeda motor *hybrid* seri moda murni penggerak listrik (*pure electric*).



Gambar 4.9 Grafik Karakteristik Traksi Moda Murni Penggerak Listrik

Dari gambar diatas didapatkan pada moda murni penggerak listrik sepeda motor *hybrid* seri mampu untuk melawan gaya hambat dari sudut 0 derajat sampai 15 derajat. Saat melawan gaya hambat 0 derajat, kendaraan mampu menempuh kecepatan maksimum sebesar 118 km/jam dengan gaya traksi sebesar 182,67 N. Kemudian pada gaya hambat 5 derajat, sepeda motor *hyrbid* dapat menempuh kecepatan maksimum sebesar 77 km/jam dengan gaya traksi sebesar 280,44 N. Selanjutnya untuk gaya hambat 10 derajat, sepeda motor *hybrid* seri dapat menempuh kecepatan maksimum sebesar 45 km/jam dengan gaya traksi sebesar 474,08 N, dan yang terakhir pada gaya hambat 15 derajat sepeda motor

hybrid seri dapat menempuh kecepatan maksimum sebesar 32,54 km/jam dengan gaya traksi sebesar 663,424 N. Dari spesifikasi motor listrik dan juga perhitungan karakteristik traksi yang sudah dilakukan maka kecepatan maksimum yang bisa dicapai pada sepeda motor *hybrid* seri moda murni penggerak listrik adalah 118 km/jam.

4.4.2 Karakteristik Traksi Moda *Hybrid*

Pada sepeda motor *hybrid* seri moda *hybrid* sama saja dengan moda murni penggerak listrik yang menggunakan motor listrik sebagai penggerak namun mendapatkan dua supply daya yaitu dari baterai dan juga dari *engine-generator*. Sehingga untuk menentukan karakteristik traksi pada moda ini menggunakan spesifikasi motor listrik yang sama dengan moda murni penggerak listrik. Berikut merupakan perhitungan V_{base} dan V_{maks} pada moda *hybrid*.

- Kecepatan *base*

$$V_{base} = \frac{\pi \times R \times N_{base}}{30 \times I_t \times I_g}$$

dimana : $N_{base} = 300$ $R = 0,2879 \text{ m}$

$$V_{base} = \frac{3,14 \times 0,2879 \text{ m} \times 300}{30 \times 1 \times 1} \times \frac{3600 \text{ s}}{1000 \text{ m}}$$

$$V_{base} = 32,544 \text{ km/jam}$$

- Kecepatan maksimum

$$V_{maks} = \frac{\pi \times R \times N_{maks}}{30 \times I_t \times I_g}$$

dimana : $N_{maks} = 1090$ $R = 0,2879 \text{ m}$

$$V_{\text{maks}} = \frac{3,14 \times 0,2879 \text{ m} \times 1090}{30 \times 1 \times 1} \times \frac{3600 \text{ s}}{1000 \text{ m}}$$

$$V_{\text{maks}} = 118,243 \text{ km/jam}$$

Berdasarkan perhitungan Vbase dan Vmaks berdasarkan putaran base sebesar 300 rpm dan putaran maksimum motor sebesar 1090 rpm, didapatkan nilai Vbase yaitu 32,544 km/jam dan Vmaks sebesar 118,243 km/jam. Namun nilai kecepatan maksimum yang sebenarnya akan didapat dari perhitungan dan analisa gaya traksi pada kendaraan yang dipengaruhi gaya hambat total, dimana nanti akan didapat perpotongan garis gaya traksi dengan gaya hambat pada grafik karakteristik traksi.

Kemudian tahap berikutnya dalam menentukan karakteristik traksi sama dengan moda murni penggerak listrik yaitu melakukan perhitungan gaya traksi minimum (Ft min) dan gaya traksi maksimum (Ft maks) dari transmisi. Berikut merupakan perhitungan Ft min dan Ft maks berdasarkan persamaan 2.22.

- Ft minimum

$$Ft_{\text{min}} = \frac{I_t \times I_g \times Tm_{\text{min}}}{R} \times \eta_t$$

dimana : $Tm_{\text{min}} = 53 \text{ Nm}$ $R = 0,2879 \text{ m}$

$$Ft_{\text{min}} = \frac{1 \times 1 \times 53 \text{ Nm}}{0,2879 \text{ m}} \times 1$$

$$Ft_{\text{min}} = 182,67 \text{ N}$$

- F_t maksimum

$$F_{t\text{maks}} = \frac{I_t \times I_g \times T_{m\text{maks}}}{R} \times \eta_t$$

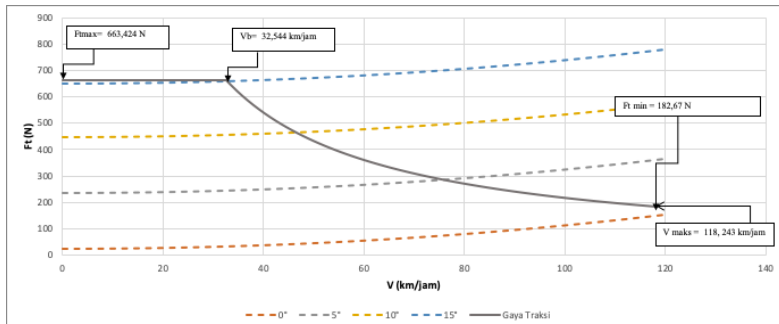
dimana : $T_{m\text{maks}} = 191 \text{ Nm}$ $R = 0,2879 \text{ m}$

$$F_{t\text{maks}} = \frac{1 \times 1 \times 191 \text{ Nm}}{0,2879 \text{ m}} \times 1$$

$$F_{t\text{maks}} = 663,424 \text{ N}$$

Perhitungan untuk mendapatkan F_t min dan F_t maks diatas menggunakan torsi minimum dan juga torsi maksimum dari motor listrik QS 10inch 3000 W 205 50H BLDC Hub motor. Didapatkan hasil sebesar 189,759 N untuk F_t min dan 663,424 N untuk F_t maks.

Berdasarkan hasil perhitungan V base, V maksimum, F_t minimum, dan juga F_t maksimum pada sub bab sebelumnya bisa dilakukan plotting sehingga didapatkan grafik karakteristik traksi. Berikut merupakan grafik dari karakteristik traksi sepeda motor *hybrid* seri moda *hybrid*.



Gambar 4.10 Grafik Karakteristik Traksi Moda *Hybrid*

Dari gambar diatas didapatkan pada moda *hybrid* sepeda motor *hybrid* seri mampu untuk melawan gaya hambat dari sudut

0 derajat sampai 15 derajat. Saat melawan gaya hambat 0 derajat, kendaraan mampu menempuh kecepatan maksimum sebesar 118 km/jam dengan gaya traksi sebesar 182,67 N. Kemudian pada gaya hambat 5 derajat, sepeda motor *hyrbid* dapat menempuh kecepatan maksimum sebesar 77 km/jam dengan gaya traksi sebesar 280,44 N. Selanjutnya untuk gaya hambat 10 derajat, sepeda motor *hybrid* seri dapat menempuh kecepatan maksimum sebesar 45 km/jam dengan gaya traksi sebesar 474,08 N, dan yang terakhir pada gaya hambat 15 derajat sepeda motor *hybrid* seri dapat menempuh kecepatan maksimum sebesar 32,54 km/jam dengan gaya traksi sebesar 663,424 N. Dari spesifikasi motor listrik dan juga perhitungan karakteristik traksi yang sudah dilakukan maka kecepatan maksimum yang bisa dicapai pada sepeda motor *hybrid* seri moda *hybrid* adalah 118 km/jam sama dengan Ketika moda murni penggerak listrik.

4.4.3 Karakteristik Traksi Moda Penggerak Mesin dan Pengisi ACCU

Setelah mendapatkan spesifikasi baterai yang akan digunakan maka bisa dilakukan perhitungan dan analisis pada moda penggerak mesin dan isi accu. Pada sepeda motor *hybrid* seri moda penggerak mesin dan pengisi ACCU, *engine-generator* menjadi sumber daya untuk motor listrik dan juga untuk mengisi baterai Ketika SOC baterai sudah mencapai kurang dari 20%. Pada moda ini *engine-generator* akan membagi dua daya yang dihasilkannya, sehingga performa yang dihasilkan motor akan menurun dibandingkan dengan moda murni penggerak listrik dan juga moda *hybrid*. Untuk mendapatkan karakteristik traksi moda penggerak mesin dan pengisi ACCU, hal yang pertama dilakukan adalah mencari besar daya baterai (P_b) yang masuk untuk mengisi baterai menggunakan perhitungan sebagai berikut.

$$P_b = (V \cdot I) / 1000$$

dimana : Tegangan (V) = 60 V

Arus Pengisian (I) = 5A

$$Pb = (60V \cdot 5A) / 1000 \\ Pb = 0,3 \text{ kW}$$

Dari perhitungan diatas diketahui bahwa daya maksimal yang bisa diterima baterai dari *engine-generator* ketika proses mengisi adalah sebesar 0,3 kW. Setelah itu untuk mendapatkan gaya traksi dibutuhkan torsi, karena sumber daya untuk motor listrik hanya berasal dari *engine-generator* yang menghasilkan daya 3 kW, berikut merupakan contoh perhitungan itu mencari torsi yang dapat dialirkan dikeluarkan motor listrik pada moda ini.

$$Tm = \frac{(Pe - Pb) \cdot 60000}{2 \cdot \pi \cdot n} \text{ (Nm)}$$

dimana : $P_e = 3 \text{ kW}$ $n = 140$

$$Tm = \frac{(3 - 0,3) \cdot 60000}{2 \cdot 3,14 \cdot 140} \text{ (Nm)}$$

$$Tm = 184,258 \text{ Nm}$$

Berdasarkan perhitungan diatas didapatkan torsi maksimum dan minimum pada putaran 1090 yang dapat dikeluarkan motor listrik adalah sebesar 191 Nm dan 82,202 Nm. Setelah didapatkan besar torsi maksimum dan minimum, dapat dilakukan perhitungan F_t maksimum dan F_t minimum. Berikut merupakan perhitungan F_t min dan F_t maks berdasarkan persamaan 2.22.

- Ft minimum

$$Ft_{\min} = \frac{It \times Ig \times Tm_{\min}}{R} \times \eta_t$$

dimana : $Tm_{\min} = 23,662 \text{ Nm}$ $R = 0,2879 \text{ m}$

$$Ft_{\min} = \frac{1 \times 1 \times 19,853 \text{ Nm}}{0,2879 \text{ m}} \times 1$$

$$Ft_{\min} = 82,202 \text{ N}$$

- Ft maksimum

$$Ft_{\max} = \frac{It \times Ig \times Tm_{\max}}{R} \times \eta_t$$

dimana : $Tm_{\max} = 191 \text{ Nm}$ $R = 0,2879 \text{ m}$

$$Ft_{\max} = \frac{1 \times 1 \times 191 \text{ Nm}}{0,2879 \text{ m}} \times 1$$

$$Ft_{\max} = 663,424 \text{ N}$$

Dari perhitungan diatas didapatkan hasil sebesar 82,202 N untuk Ft min dan 663,424 N untuk Ft maks. Setelah mendapatkan gaya traksi pada moda ini, berikutnya menghitung Vbase dan Vmaks berdasarkan putaran motor listrik. Berikut merupakan perhitungan untuk mencari Vbase dan Vmaks pada moda ini.

- Kecepatan *base*

$$V_{\text{base}} = \frac{\pi \times R \times N_{\text{base}}}{30 \times It \times Ig}$$

dimana : $N_{base} = 135$ $R = 0,2879 \text{ m}$

$$V_{base} = \frac{3,14 \times 0,2879 \text{ m} \times 135}{30 \times 1 \times 1} \times \frac{3600 \text{ s}}{1000 \text{ m}}$$

$$V_{base} = 14,65 \text{ km/jam}$$

- Kecepatan maksimum

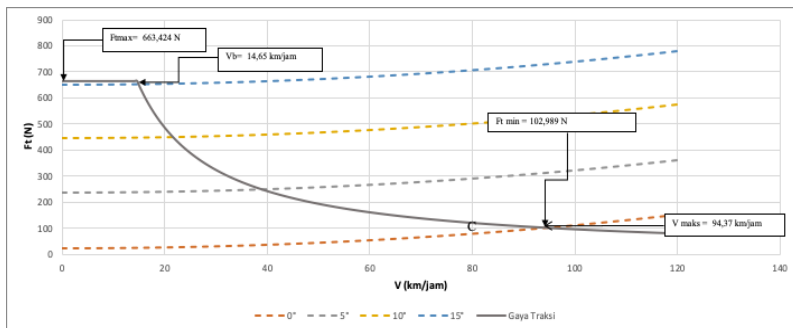
$$V_{maks} = \frac{\pi \times R \times N_{maks}}{30 \times I_t \times I_g}$$

dimana : $N_{maks} = 1090$ $R = 0,2879 \text{ m}$

$$V_{maks} = \frac{3,14 \times 0,2879 \text{ m} \times 1090}{30 \times 1 \times 1} \times \frac{3600 \text{ s}}{1000 \text{ m}}$$

$$V_{maks} = 118,243 \text{ km/jam}$$

Berdasarkan perhitungan V_{base} dan V_{maks} berdasarkan putaran base sebesar 135 rpm dan putaran maksimum motor sebesar 1090 rpm, didapatkan nilai V_{base} yaitu 14,65 km/jam dan V_{maks} sebesar 118,243 km/jam. Namun nilai kecepatan maksimum yang sebenarnya akan didapat dari perhitungan dan analisa gaya traksi pada kendaraan yang dipengaruhi gaya hambat total, dimana nanti akan didapat perpotongan garis gaya traksi dengan gaya hambat pada grafik karakteristik traksi. Berikut merupakan grafik yang didapatkan dari *plotting* dari perhitungan yang sudah dilakukan.



Gambar 4.11 Grafik Karakteristik Traksi Moda Penggerak Mesin dan Pengisi ACCU.

Dari gambar diatas didapatkan pada moda penggerak mesin dan pengisi ACCU dari sepeda motor *hybrid* seri mampu untuk melawan gaya hambat dari sudut 0 derajat sampai 15 derajat. Saat melawan gaya hambat 0 derajat, kendaraan mampu menempuh kecepatan maksimum sebesar 88,954 km/jam dengan gaya traksi sebesar 91,655 N. Kemudian pada gaya hambat 5 derajat, sepeda motor *hyrbid* dapat menempuh kecepatan maksimum sebesar 32,54 km/jam dengan gaya traksi sebesar 250,551 N. Selanjutnya untuk gaya hambat 10 derajat, sepeda motor *hybrid* seri dapat menempuh kecepatan maksimum sebesar 17,35 km/jam dengan gaya traksi sebesar 469,783 N, dan yang terakhir pada gaya hambat 15 derajat sepeda motor *hybrid* seri dapat menempuh kecepatan maksimum sebesar 12,29 km/jam dengan gaya traksi sebesar 663,424 N. Dari spesifikasi motor listrik dan juga perhitungan karakteristik traksi yang sudah dilakukan maka kecepatan maksimum yang bisa dicapai pada sepeda motor moda penggerak mesin dan pengisi ACCU adalah 88,954 km/jam karena terdapat perpotongan dai gaya traksi dan gaya hambat pada sudut 0 derajat.

4.5 Karakteristik Daya Kendaraan

Pada sub bab ini akan dilakukan perhitungan dan analisis daya yang diberikan kendaraan pada setiap moda berkendara

beserta pembahasan grafik karakteristik daya yang sudah didapatkan. Moda berkendara yang akan dianalisa adalah moda murni penggerak listrik dan moda *hybrid*, sedangkan perhitungan dan analisis untuk moda penggerak mesin dan isi ACCU dilakukan setelah mendapatkan spesifikasi dari baterai.

4.5.1 Karakteristik Daya Moda Murni Penggerak Listrik (*Pure Electric*)

Perhitungan karakteristik daya sepeda motor *hybrid* seri moda murni penggerak listrik ini diperoleh berdasarkan data torsi dan putaran motor listrik. Berikut ini menggunakan persamaan 2.24 merupakan contoh perhitungan pada putaran motor listrik 200 rpm dan torsi sebesar 191 Nm.

$$P_t = F_t \times V$$

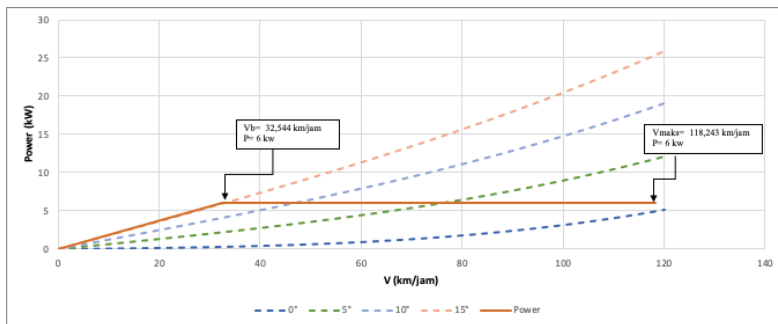
dimana : $F_t = 663,424 \text{ N}$ $V = 21,69 \text{ km/jam}$

$$P_t = \left(\frac{663,424 \text{ N}}{1000} \right) \times \left(\frac{21,69 \text{ km/jam}}{3.6} \right)$$

$$P_t = 3,998 \text{ kW}$$

Perhitungan diatas dilakukan pada putaran motor listrik dari 0 rpm sampai 1090 rpm, dan juga dilakukan pada torsi 191 Nm sampai dengan 52 Nm. Pada sepeda motor *hybrid* seri moda murni penggerak listrik ini daya yang dikeluarkan oleh motor listrik didapatkan sepenuhnya dari daya yang dihasilkan baterai.

Setelah melakukan perhitungan daya yang dikeluarkan oleh motor listrik, maka dapat diperoleh karakteristik power dengan melukakan *plotting* untuk mendapatkan grafik. Berikut merupakan karakteristik power sepeda motor *hybrid* seri moda murni penggerak listrik.



Gambar 4.12 Grafik Karakteristik Daya Moda Murni Penggerak Listrik.

Dari gambar diatas didapatkan karakteristik daya pada moda murni penggerak listrik yang mana sepeda motor *hybrid* seri mampu untuk melawan gaya hambat dari sudut 0 derajat sampai 15 derajat. Saat melawan gaya hambat 0 derajat, kendaraan mampu menempuh kecepatan maksimum sebesar 118 km/jam dengan daya sebesar 6 kW. Kemudian pada gaya hambat 5 derajat, sepeda motor *hyrbid* dapat menempuh kecepatan maksimum sebesar 77 km/jam dengan daya sebesar 6 kW. Selanjutnya untuk gaya hambat 10 derajat, sepeda motor *hybrid* seri dapat menempuh kecepatan maksimum sebesar 45 km/jam dengan daya sebesar 6 kW, dan yang terakhir pada gaya hambat 15 derajat sepeda motor *hybrid* seri dapat menempuh kecepatan maksimum sebesar 32,54 km/jam dengan daya sebesar 6 kW. Dari spesifikasi motor listrik dan juga perhitungan karakteristik daya yang sudah dilakukan maka kecepatan maksimum yang bisa dicapai pada sepeda motor *hybrid* seri moda murni penggerak listrik adalah 118 km/jam.

4.5.2 Karakteristik Daya Moda *Hybrid*

Perhitungan karakteristik daya sepeda motor *hybrid* seri moda *hybrid* ini diperoleh berdasarkan data torsi dan putaran motor listrik sama dengan moda murni penggerak listrik. Berikut ini menggunakan persamaan 2.24 merupakan contoh perhitungan pada putaran motor listrik 200 rpm dan torsi sebesar 191 Nm.

$$P_t = F_t \times V$$

dimana : $F_t = 663,424 \text{ N}$ $V = 21,69 \text{ km/jam}$

$$P_t = \left(\frac{663,424 \text{ N}}{1000} \right) \times \left(\frac{21,69 \text{ km/jam}}{3.6} \right)$$

$$P_t = 3,998 \text{ kW}$$

Perhitungan diatas dilakukan pada putaran motor listrik dari 0 rpm sampai 1090 rpm, atau dilakukan pada torsi 191 Nm sampai dengan 52 Nm, hasil dari perhitungan karakteristik daya yang dilakukan pada moda *hybrid* sama dengan pada moda murni penggerak listrik. Perbedaan dari kedua moda ini hanya dari *supply* dayanya, untuk moda murni penggerak listrik daya yang didapatkan hanya dari baterai, sedangkan untuk moda *hybrid* mendapatkan dua *supply* daya dari baterai dan juga *engine-generator*. Dalam perancangan sepeda motor *hybrid* seri moda *hybrid* ini motor listrik akan mendapatkan daya dari baterai sebesar 50%, sedangkan dari *engine-generator* sebesar 50%. Daya yang dialirkan dari *engine-generator* hanya sebesar 50% dari total yang dibutuhkan motor listrik karena daya yang dikeluarkan *engine-generator* hanya sebesar 3 kW. Berikut merupakan contoh perhitungan dari daya yang dibutuhkan baterai dan *engine-generator* untuk menggerakkan motor listrik pada moda murni penggerak listrik berdasarkan persamaan 2.3.

$$P_b + P_e = P_t$$

dimana : $P_{t200} = 5,966 \text{ kW}$

$$P_b + P_e = 3,998 \text{ kW}$$

$$P_b = 0,5 \times 3,998 \text{ kW}$$

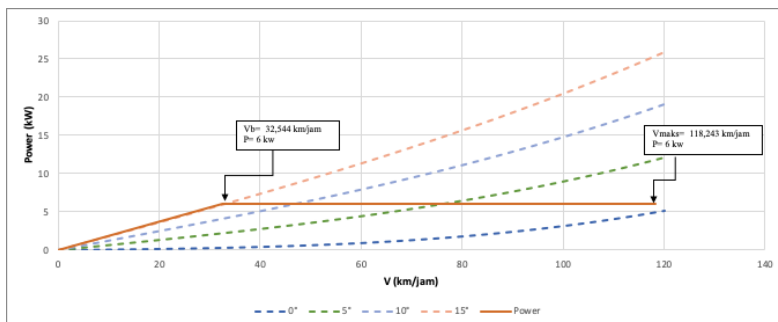
$$P_b = 1,999 \text{ kW}$$

$$P_e = 0,5 \times 3,998 \text{ kW}$$

$$P_e = 1,999 \text{ kW}$$

Dari perhitungan diatas menunjukkan bahwa daya untuk menggerakkan motor listrik pada moda *hybrid* yang mengeluarkan daya sebesar 3,998 kW membutuhkan daya dari baterai sebesar 1,999 kW dan dari *engine-generator* sebesar 1,999 kW.

Setelah melakukan perhitungan daya yang dikeluarkan oleh motor listrik, maka dapat diperoleh karakteristik power dengan melakukan *plotting* untuk mendapatkan grafik. Berikut merupakan karakteristik power sepeda motor *hybrid* seri moda murni penggerak listrik.



Gambar 4. 13 Grafik Karakteristik Daya Moda *Hybrid*

Dari gambar diatas didapatkan karakteristik daya pada moda *hybrid* yang mana sepeda motor *hybrid* seri mampu untuk melawan gaya hambat dari sudut 0 derajat sampai 15 derajat. Saat melawan gaya hambat 0 derajat, kendaraan mampu menempuh kecepatan maksimum sebesar 118 km/jam dengan daya sebesar 6 kW. Kemudian pada gaya hambat 5 derajat, sepeda motor *hybrid* dapat menempuh kecepatan maksimum sebesar 77 km/jam dengan daya sebesar 6 kW. Selanjutnya untuk gaya hambat 10 derajat, sepeda motor *hybrid* seri dapat menempuh kecepatan maksimum sebesar 45 km/jam dengan daya sebesar 6 kW, dan yang terakhir pada gaya hambat 15 derajat sepeda motor *hybrid* seri dapat

menempuh kecepatan maksimum sebesar 32,54 km/jam dengan daya sebesar 6 kW. Dari spesifikasi motor listrik dan juga perhitungan karakteristik daya yang sudah dilakukan maka kecepatan maksimum yang bisa dicapai pada sepeda motor *hybrid* seri moda murni penggerak listrik adalah 118 km/jam. Dari analisis ini hasil karakteristik daya untuk sepeda motor *hybrid* seri moda *hybrid* sama dengan pada moda murni penggerak listrik, hanya saja berbeda pada *supply* daya, yang mana moda *hybrid* membutuhkan dua *supply* daya karena SOC baterai sudah mencapai kurang dari 60% dari total energi pada baterai.

4.5.3 Karakteristik Daya Moda Penggerak Mesin dan Pengisi ACCU

Perhitungan karakteristik daya sepeda motor *hybrid* seri moda *hybrid* ini diperoleh berdasarkan data torsi dan putaran motor listrik yang sesuai pada subbab 4.5.3. Berikut ini menggunakan persamaan 2.24 merupakan contoh perhitungan pada putaran motor listrik 120 rpm dan torsi sebesar 180 Nm.

$$P_t = F_t \times V$$

dimana : $F_t = 626,378 \text{ N}$ $V = 13,017 \text{ km/jam}$

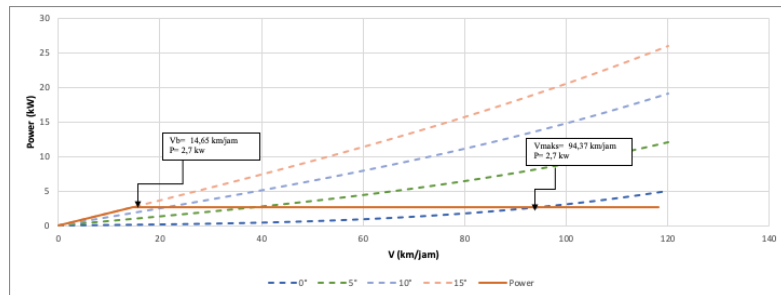
$$P_t = \left(\frac{626,378 \text{ N}}{1000} \right) \times \left(\frac{13,017 \text{ km/jam}}{3.6} \right)$$

$$P_t = 2,265 \text{ kW}$$

Perhitungan diatas dilakukan pada putaran motor listrik dari 0 rpm sampai 1090 rpm, atau dilakukan pada torsi 191 Nm sampai dengan 19,85 Nm. Pada moda ini *supply* daya yang didapatkan motor listrik hanya dari *engine-generator*. Selain untuk menggerakkan motor listrik, *engine-generator* pada moda ini juga sebagai pengisi baterai. Dalam perancangan sepeda motor *hybrid* seri moda penggerak mesin dan pengisi ACCU ini baterai akan

mendapatkan daya maksimal untuk keadaan mengisi, sedangkan motor listrik akan mendapatkan daya dari *engine-generator* yang sudah dikurangi dengan daya ke baterai.

Setelah melakukan perhitungan daya yang dikeuarkan oleh motor listrik, maka dapat diperoleh karakteristik power dengan melakukan *plotting* untuk mendapatkan grafik. Berikut merupakan karakteristik power sepeda motor *hybrid* seri moda murni penggerak listrik.



Gambar 4. 14 Grafik Karakteristik Daya Moda Penggerak Mesin dan Pengisi ACCU

Dari gambar diatas didapatkan karakteristik daya pada moda murni penggerak listrik yang mana sepeda motor *hybrid* seri mampu untuk melawan gaya hambat dari sudut 0 derajat sampai 15 derajat. Saat melawan gaya hambat 0 derajat, kendaraan mampu menempuh kecepatan maksimum sebesar 94,37 km/jam dengan daya sebesar 2,7 kW. Kemudian pada gaya hambat 5 derajat, sepeda motor *hyrbid* dapat menempuh kecepatan maksimum sebesar 39,05 km/jam dengan daya sebesar 2,7 kW. Selanjutnya untuk gaya hambat 10 derajat, sepeda motor *hybrid* seri dapat menempuh kecepatan maksimum sebesar 20,61 km/jam dengan daya sebesar 2,7 kW, dan yang terakhir pada gaya hambat 15 derajat sepeda motor *hybrid* seri dapat menempuh kecepatan maksimum sebesar 14,65 km/jam dengan daya sebesar 2,7 kW. Dari spesifikasi motor listrik dan juga perhitungan karakteristik daya yang sudah dilakukan maka kecepatan maksimum yang bisa

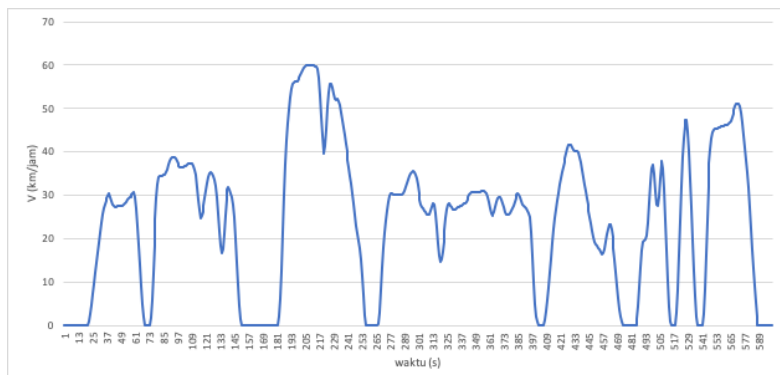
dicapai pada sepeda motor *hybrid* seri moda murni penggerak mesin dan pengisi ACCU adalah 94,37 km/jam karena terdapat perpotongan antara gaya traksi dan gaya hambat pada sudut 0 derajat.

4.6 Konsumsi Energi

Pada subbab konsumsi energi ini membahas mengenai perhitungan dan analisis konsumsi energi yang didapatkan dari suatu *driving cycle*.

4.6.1 Driving Cycle

Driving cycle yang dipilih adalah *driving cycle World Motorcycle Test Cycle* (WMTC). *Driving cycle* ini dipilih karena WMTC merupakan *driving cycle* untuk pengujian sepeda motor. Pada *driving cycle* ini terdapat 3 *part* yaitu untuk zona perkotaan, luar kota jalan sekunder, dan luar kota jalan utama. Pada analisis konsumsi energi ini menggunakan *part 1* dikarenakan sepeda motor *hybrid* seri dirancang untuk digunakan di dalam kota. Berikut merupakan *plotting driving cycle* yang sesuai dengan gambar 2.13.



Gambar 4.15 Grafik siklus WMTC part 1

4.6.2 Perhitungan Daya Kendaraan

Dilakukan perhitungan daya sepeda motor *hybrid* seri selema berjalan sesuai dengan *driving cycle WMTC part 1* dan *part 2* tanpa pengereman. Untuk mengetahui daya sepeda motor *hybrid seri* diperlukan total gaya hambat dari gaya hambat angina, gaya hambat *rolling*, dan gaya inersianya. Berikut merupakan contoh perhitungan gaya hambat total pada detik ke-200 untuk WMTC *part 1*.

$$F_{tot} = \left(f_r \cdot W + \frac{1}{2} \cdot \rho \cdot C_d \cdot A_f \cdot V^2 \right) + (m \times k_m \times a)$$

dimana : m = 247,5 kg $V_{200} = 57,2 \frac{\text{km}}{\text{jam}} = 15,889 \frac{\text{m}}{\text{s}}$
 $g = 9,81 \frac{\text{m}}{\text{s}^2}$ $a_{200} = 0,1389 \frac{\text{m}}{\text{s}^2}$
 $\rho_u = 1,2 \frac{\text{kg}}{\text{m}^3}$ $A_f = 0,25 \text{ m}^2$
 $C_d = 0,65$ $\text{km} = 1,0426$
 $f_{r200} = 0,01123$

$$\begin{aligned} F_{tot} &= \left(0,01123 \times 247,5 \text{ kg} \times 9,81 \frac{\text{m}}{\text{s}^2} \right) \\ &\quad + \left(\frac{1}{2} \times 1,2 \frac{\text{kg}}{\text{m}^3} \times 0,65 \times 0,25 \text{ m}^2 \right. \\ &\quad \left. \times \left(15,889 \frac{\text{m}}{\text{s}} \right)^2 \right) \\ &\quad + \left(247,5 \text{ kg} \times 1,0426 \times 0,1389 \frac{\text{m}^2}{\text{s}} \right) \end{aligned}$$

$$F_{tot} = 85,291 \text{ N}$$

Setelah mengetahui gaya hambat dari sepeda motor *hybrid* seri, dilakukan perhitungan untuk mencari daya. Berikut merupakan salah satu contoh perhitungan untuk mencari daya sepeda motor *hybrid seri* pada detik ke-200 WMTC *part 1*.

$$RHP_p = F_{tot} \times V_k$$

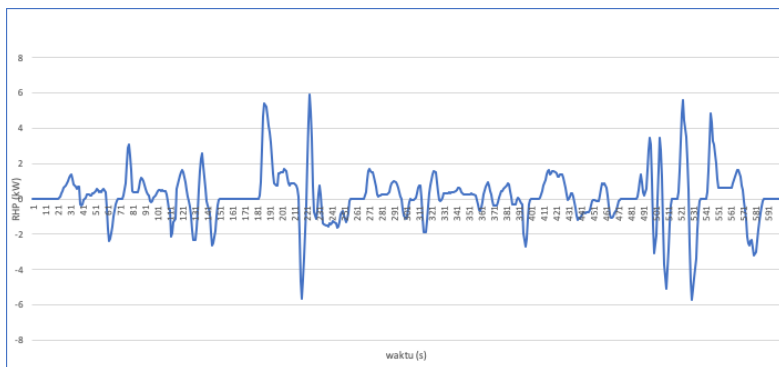
dimana : $F_{tot} = 85,291 \text{ N}$

$$V_{200} = 57,2 \frac{\text{km}}{\text{jam}} = 15,889 \frac{\text{m}}{\text{s}}$$

$$RHP_p = 85,291 \times 15,889 \frac{\text{m}}{\text{s}}$$

$$RHP_p = 1355,179 \text{ W} = 1,355 \text{ kW}$$

Setelah melakukan perhitungan mencari daya yang dibutuhkan sepeda motor *hybrid* seri pada grafik WMTC *part 1* maka dapat *diplotting* sehingga didapatkan grafik terhadap waktu seperti berikut.



Gambar 4.16 Grafik RHP WMTC *part 1*

Dapat dilihat grafik di atas, *road horse power* pada WMTC *part 1* yang berada di daerah bernilai positif merupakan RHP ketika kendaraan berakselerasi, sedangkan garis yang berada di daerah bernilai negatif merupakan RHP ketika kendaraan berdeselerasi.

4.6.3 Perhitungan Konsumsi Energi

Dari sub bab sebelumnya telah didapatkan nilai *road horse power* sepeda motor *hybrid* seri pada setiap detik dari *driving cycle*,

setelah itu dapat dilakukan perhitungan kosnusmsi energi sepeda motor *hybrid* seri dengan melakukan perhitungan energi yang terpakai ketika melakukan akselerasi dengan cara pengintegralan. Adapun menghitung energi dengan rumus integral pada kurva linear dengan cara trapezoid ialah pada detik 22 ke 24 pada WMTC part 1 sebagai berikut.

$$\begin{aligned} E_p &= \int_a^b RHP_p \cdot dt \\ &= \frac{\Delta x}{2} [RHP_0 + 2RHP_1 + \dots + 2RHP_{n-1} + RHP_n] \end{aligned}$$

dimana :

$RHP_{mid\ 22} = 0,037\ kW$
$RHP_{mid\ 23} = 0,126\ kW$
$RHP_{mid\ 24} = 0,251\ kW$
$\Delta x = \frac{b-a}{n} = \frac{24-22}{2} = 1$

$$\begin{aligned} E_p &= \frac{1}{2} [0,037\ kW + 2(0,126) + 0,251\ kW] \\ E_p &= 0,27\ KWs \end{aligned}$$

Dari perhitungan seperti diatas untuk semua titik RHP akselerasi kemudian didapatkan nilai total energi yang terpakai dari detik 0 ke 600 untuk WMTC part 1 sebesar 0,08788 kWh.

Pada sepeda motor *hybrid* seri ini pergantian moda dirancang berdasarkan SOC baterai, Ketika SOC baterai lebih dari 60% akan beroperasi moda murni penggerak listrik, ketika SOC baterai kurang dari 60% namun masih lebih dari 20% akan beroperasi moda *hybrid*, sedangkan pada saat SOC kurang dari 20% maka akan beroperasi moda mesin dan isi ACCU. Pada sub bab sebelumnya telah diketahui spesifikasi baterai untuk perancangan ini menggunakan baterai berkapasitas 60 V 15 Ah atau sama dengan 0,9 kWh, sedangkan kebutuhan energi kendaraan dalam satu siklus WMTC sebesar 0,08788 kWh, maka untuk

mengetahui konsumsi energi sepeda motor *hybrid* seri yang lebih akurat menggunakan *driving cycle* WMTC *part 1* berulang sebanyak tiga belas kali sehingga dapat memuat semua moda operasi berkendara. Berikut merupakan perhitungan untuk menentukan intensitas per moda operasi berkendara pada *driving cycle* WMTC *part 1*.

$$E_p = E_b - (SOC \times E_b)$$

Dimana : $E_b = 0,9 \text{ kWh}$

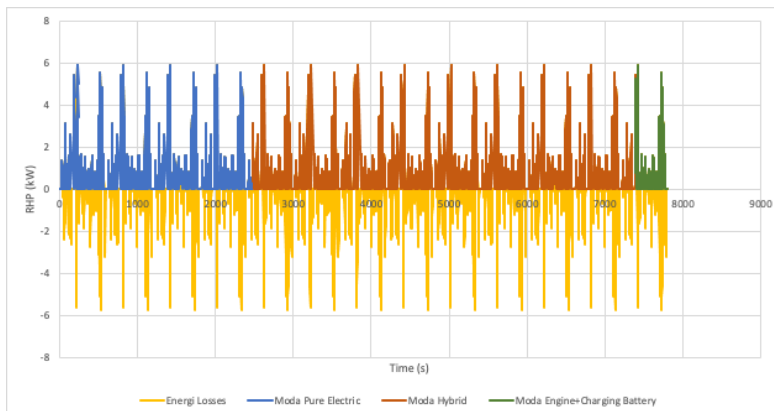
$$E_p = 0,9 \text{ kWh} - (0,6 \times 1,5 \text{ kWh})$$

$$E_p = 0,36 \text{ kWh}$$

$$E_p = 0,9 \text{ kWh} - (0,2 \times 0,9 \text{ kWh})$$

$$E_p = 0,72 \text{ kWh}$$

Berdasarkan perhitungan diatas, pada baterai berkapasitas 0,9 kWh dengan SOC baterai 60% artinya nilai kapasitas baterai yang telah terpakai sebesar 0,36 kWh sehingga moda yang akan beroperasi adalah moda *hybrid* pada *driving cycle* WMTC. Sedangkan ketika kendaraan menggunakan energi dari baterai masih kurang dari 0,36 kWh maka moda berkendara yang akan beroperasi adalah moda murni penggerak listrik (*pure electric*). Untuk SOC baterai 20% pada baterai 0,9 kWh artinya energi yang telah terpakai dari baterai bernilai sebesar 0,72 kWh, maka moda yang akan beroperasi adalah moda penggerak mesin dan pengisi ACCU dalam *driving cycle* WMTC ini. Dari klasifikasi moda operasi berkendara diatas maka didapatkan grafik seperti pada gambar 4.17.



Gambar 4.17 Intensitas Moda Berkendara pada *Driving Cycle WMTC*

Gambar diatas merupakan grafik tiga belas siklus RHP WMTC part 1 yang terdiri dari beberapa moda yang diwakili oleh warna dari garis, garis berwarna biru menunjukkan ketika kendaraan menggunakan moda murni penggerak listrik, warna jingga menunjukkan moda *hybrid*, warna hijau menunjukkan moda penggerak mesin dan pengisi ACCU, dan warna kuning menunjukkan ketika kendaraan berdeselerasi sehingga menghasilkan energi *losses*. Pada moda murni penggerak listrik atau yang ditunjukkan oleh grafik berwarna biru beroperasi dari detik 0 sampai dengan detik ke 2478 mengkonsumsi energi baterai sebesar 0,359 kWh. Kemudian pada detik 2479 sampai dengan detik ke 7388 moda akan berubah menjadi moda *hybrid* karena kapasitas SOC baterai sudah kurang dari 60% atau kapasitas baterai sudah terpakai sebesar kurang lebih 0,36kWh, pada siklus ini konsumsi energi listrik dan juga bahan bakar dari moda *hybrid* sebesar 0,359 kWh. Lalu sisa waktu yaitu dari detik 7389 hingga detik 7800 akan berubah menjadi moda penggerak mesin dan pengisi ACCU karena SOC baterai sudah dalam keadaan kurang dari 20% atau kapasitas baterai sudah terpakai sebesar kurang lebih

0,72kWh, pada siklus ini konsumsi bahan bakar moda penggerak mesin dan pengisi ACCU sebesar 0,09 kWh.

Kemudian untuk jarak tempuh yang dapat dilalui kendaraan pada satu *driving cycle* WMTC *part 1* dan *part 2* dengan persamaan 2.33 detik ke 22 hingga 23 ialah sebagai berikut.

$$s = (v \times t) + \frac{(a \times t^2)}{2}$$

$$\text{Dimana: } v_o = 1 \frac{\text{km}}{\text{jam}} = 0,2778 \frac{\text{m}}{\text{s}}$$

$$\Delta t = 23\text{s} - 22\text{s} = 1\text{s}$$

$$a = 0,444 \text{ m/s}^2$$

$$s = (0,2778 \frac{\text{m}}{\text{s}} \times 1\text{s}) + \frac{(0,444 \text{ m/s}^2 \times 1\text{s})}{2}$$

$$s = 0,5 \text{ m}$$

Berdasarkan perhitungan diatas, diketahui total jarak tempuh ketika berakselerasi pada setiap detik dalam satu *driving cycle* WMTC *part 1* ialah sebesar 2,365 km.

Setelah diketahui nilai kebutuhan energi motor, maka dilakukan perhitungan kebutuhan energi baterai menggunakan nilai efisiensi dari komponen yang dialiri energi nilai efisiensi yang digunakan ialah efisiensi motor listrik sebesar 0.9, efisiensi *power control* sebesar 0.95, dan efisiensi baterai sebesar 0.95 sesuai dengan literatur yang ada. Dengan nilai efisiensi demikian, dengan diketahui nilai total dari energi dan total jarak tempuh, konsumsi energi dapat dihitung dengan persamaan 2.27 sebagai berikut.

$$\text{FE}_{\text{listrik}} = \frac{E_C}{s \times \eta_m \times \eta_{fpc} \times \eta_{fb}} \left(\frac{\text{kWh}}{\text{km}} \right)$$

$$\begin{array}{ll} \text{Dimana: } E_{p\text{ tot}} = 0,7191 \text{ kWh} & \eta_m = 0.9 \\ s_{\text{tot}} = 28,997 \text{ km} & \eta_{fpc} = 0.95 \\ \eta_{fb} = 0.95 & \end{array}$$

$$FE_{\text{listrik}} = \frac{0,7191 \text{ kWh}}{28,997 \text{ km} \times 0.9 \times 0.95 \times 0.95}$$

$$FE_{\text{listrik}} = 0,0305 \frac{\text{kWh}}{\text{km}}$$

Berdasarkan perhitungan diatas didapatkan konsumsi energi listrik pada sepeda motor *hybrid* seri sebesar 0,0305 kWh/km. Kemudian dilakukan perhitungan untuk konsumsi energi dari bahan bakar dengan efisiensi dari mesin sebesar 0.25. Berikut merupakan perhitungan konsumsi energi mesin.

$$FE_{\text{bahan bakar}} = \frac{E_C}{s \times \eta_m \times \eta_{fpc} \times \eta_{fe}} \left(\frac{\text{kWh}}{\text{km}} \right)$$

Dimana : $E_p \text{ tot} = 0,4260 \text{ kWh}$	$s_{\text{tot}} = 21,055 \text{ km}$
$\eta_m = 0.9$	$\eta_{fpc} = 0.95$
$\eta_{fe} = 0.25$	

$$FE = \frac{0,4260 \text{ kWh}}{21,055 \text{ km} \times 0.9 \times 0.95 \times 0.25}$$

$$FE_{\text{bahan bakar}} = 0,0946 \frac{\text{kWh}}{\text{km}}$$

$$FE_{\text{bahan bakar}} = 6,564 \frac{\text{mile}}{\text{gallons}}$$

$$FE_{\text{bahan bakar}} = 94,33 \frac{\text{km}}{\text{liter}}$$

Berdasarkan perhitungan diatas didapatkan konsumsi bahan bakar pada sepeda motor *hybrid* seri sebesar 94,33 km/liter.

4.6.4 Analisis Konsumsi Energi Kendaraan

Berikut merupakan hasil dari perhitungan konsumsi energi sepeda motor *hybrid* seri.

Tabel 4.1 Konsumsi energi sepeda motor *hybrid* seri.

Kecepatan Rata-Rata (km/jam)	Kecepatan Maksimum (km/jam)	Konsumsi Energi Listrik (kWh/km)	Konsumsi Bahan Bakar (km/liter)
39,499	94,9	0,0305	94,33

Pada hasil perhitungan konsumsi energi kendaraan yang menggunakan *driving cycle WMTC part 1* dengan kecepatan rata-rata 39,499 km/jam, didapatkan nilai konsumsi listrik dan bahan bakar dari sepeda motor *hybrid* seri adalah 0,0305 kWh/km dan 94,33 km/liter dengan nilai efisiensi mesin 0,25, efisiensi motor sebesar 0,90, efisiensi *power control* sebesar 0,95, dan efisiensi baterai 0,95.

Halaman Sengaja Dikosongkan

BAB 5

KESIMPULAN DAN SARAN

Pada bab 5 ini berisikan tentang kesimpulan yang diperoleh dari perhitungan dan perancangan Tugas dan juga saran yang berguna untuk perancangan Tugas Akhir ini agar kedepannya bisa dilanjutkan dan disempurnakan.

5.1 Kesimpulan

Berdasarkan perhitungan dan pembahasan pada bab 4 maka didapatkan kesimpulan tugas akhir sebagai berikut:

1. Dalam perancangan sepeda motor *hybrid* seri ini motor listrik yang digunakan adalah motor listrik QS 10inch 3000 W 205 50H BLDC Hub motor dengan spesifikasi sebagai berikut

Tabel 5.1 Spesifikasi motor listrik QS 10inch 3000 W 205 50H BLDC Hub motor

Peak Power	6000 W
Maximum Torque	191 Nm
Maximum Efficiency	90%
Speed	1090 rpm
Size	10x3 inc

2. Baterai yang digunakan pada sepeda motor *hybrid* seri adalah Rear Rack Type 60 V 15 Ah Electric Bicycle Lithium Battery Pack dengan spesifikasi sebagai berikut

Tabel 5.2 Spesifikasi Rear Rack Type 60 V 15 Ah Electric Bicycle Lithium Battery Pack

Model	60V 15AH	
Nominal Voltage	60V	
Nominal Capacity	15AH	
Composed Type	16S7P	
Cells	3.7V Samsung 2200MAH 18650 CELL	
BMS	Continuous Discharge Current Peak Discharge Current	40amp 120amp
Fit Motor Power	60v 500w 750w 1000W 1500W 2000W	
Charge Current	2A-5A	
Charge Cut-off Voltage	67.2V	
Discharge Cut-off Voltage	45.0V	
Discharge Temperature	-20 to 65°C	
Charge Temperature	0 to 45°C	
Dimensions	80*150*360mm	
Battery Weight	6.1kg	
Cycle life	±80% capacity after 1000 cycles	

3. Karakteristik traksi pada moda berkendara murni penggerak listrik (*pure electric*) mampu melawan gaya hambat hingga sudut 15 derajat sampai pada kecepatan 32,544 km/jam dengan nilai gaya traksi sebesar 663,424 N dan mampu mencapai kecepatan maksimum sebesar 118,243 km/jam pada sudut 0 derajat, kemudian karakteristik traksi pada moda berkendara *hybrid* mampu melawan gaya hambat hingga sudut 15 derajat sampai pada kecepatan 32,544 km/jam dengan nilai gaya traksi sebesar 663,424 N dan mampu mencapai kecepatan maksimum sebesar 118,243 km/jam pada sudut 0 derajat, dan karakteristik traksi pada moda penggerak mesin dan pengisi ACCU mampu melawan gaya hambat hingga sudut 15 derajat sampai pada kecepatan 14,65 km/jam dengan nilai gaya traksi sebesar 663,424 N dan mampu mencapai kecepatan maksimum sebesar 94,37 km/jam pada sudut 0 derajat.

4. Karakteristik *power* pada moda berkendara murni penggerak listrik (*pure electric*) mampu melawan gaya hambat hingga sudut 15 derajat sampai pada kecepatan 32,544 km/jam dan mencapai kecepatan maksimum sebesar 118,243 km/jam dengan *power* sebesar 6 kW, kemudian karakteristik *power* pada moda *hybrid* mampu melawan gaya hambat hingga sudut 15 derajat sampai pada kecepatan 32,544 km/jam dan mencapai kecepatan maksimum sebesar 118,243 km/jam dengan *power* sebesar 6 kW, dan karakteristik *power* pada moda penggerak mesin dan pengisi ACCU mampu melawan gaya hambat hingga sudut 15 derajat sampai pada kecepatan 14,65 km/jam dan mencapai kecepatan maksimum sebesar 88,954 km/jam dengan *power* sebesar 2,7 kW.
5. Konsumsi energi yang bisa didapatkan dari *driving cycle WMTC* pada rancangan sepeda motor *hybrid* seri adalah sebagai berikut

Tabel 5.2 Konsumsi energi sepeda motor *hybrid* seri

Kecepatan Rata-Rata (km/jam)	Kecepatan Maksimum (km/jam)	Konsumsi Energi Listrik (kWh/km)	Konsumsi Bahan Bakar (km/liter)
39,499	94,9	0,0305	94,33

5.2 Saran

Berdasarkan analisis dan penelitian yang telah dilakukan, terdapat beberapa saran yang dapat diberikan sebagai berikut:

1. Perlu adanya variabel-variabel masukan yang lebih kompleks seperti kondisi jalan, temperatur operasi kendaraan, dan faktor lain dalam perhitungan dan analisis agar didapat hasil yang mendekati keadaan nyata.

2. Perlu dilakukan perhitungan dan analisis lebih lanjut untuk penempatan komponen-komponen yang telah ditentukan pada tugas akhir ini.
3. Perlu dilakukan pembahasan mengenai *control* yang telah dianjurkan pada lampiran untuk menunjang terrealisasinya kendaraan.

DAFTAR PUSTAKA

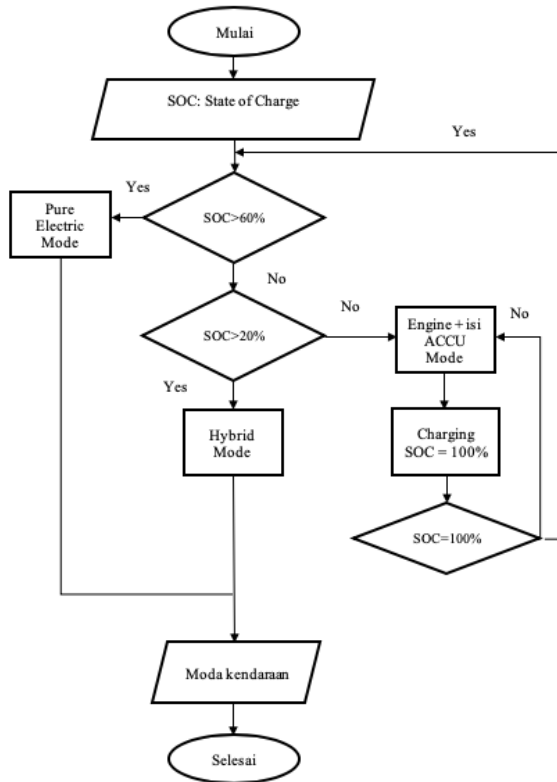
1. Badan Pusat Statistik. 2019. *Perkembangan Jumlah Kendaraan Bermotor Menurut Jenis, 1949-2018.* <https://www.bps.go.id/linkTableDinamis/view/id/1133>.
2. Ehsani, Mehrdad dan Yimin Gao. 2010. *Modern Electric, Hybrid Electric, and Fuel Cell Vehicle Fundamentals, Theory, and Design.* New York: CRC Press.
3. Heath, RPG. 2007. Seamless AMT offers efficient alternative to CVT. *JSAE Annual Congress*, 314. <https://www.scribd.com/document/195202379/Seamless-AMT-Offers-Efficient-Alternative-to-CVT>
4. Husain, I. 2005. *Elcetric and Hybrid Vehicles : Design Fundamentals.* Ohio: Taylor and Franci e-Library.
5. Li, B., Hu, C., Wang, H., Khajepour, A., Huang, Y., Zhao, K., & Ji, J. (2018). A review of power management strategies and component sizing methods for hybrid vehicles. *Renewable and Sustainable Energy Reviews*, 96(April 2017), 132–144. <https://doi.org/10.1016/j.rser.2018.07.020>
6. Mi, C., Masrur, M. A., & Gao, D. W. 2011. *Hybrid Elecetric Vehicles : Principles and Applications With Practical Perspectives.* West Sussex: John Wiley and Sons Ltd.
7. Ministry of Energy and Mineral Resources Republic of Indonesia. 2018. *Handbook of Energy & Economic Statistics*

of Indonesia.

<https://www.esdm.go.id/assets/media/content/content-handbook-of-energy-and-economic-statistics-of-indonesia-2018-final-edition.pdf>.

8. Nguyen, Van-Trang dan Pyung Hwang. 2019. Study of a Novel Hybrid Powertrain System for Honda Wave 110 cc Motorcycle with Rear Wheel Electric Motor. *International Journal of Innovative Studies in Sciences and Engineering Technology*, 5, 43-46. <http://ijisset.org/wp-content/uploads/2019/04/IJISSET-050416.pdf>
9. PT Astra Honda Motor. 2016. *Spesifikasi Motor Honda Revo*. <https://www.astra-honda.com/product/revo-x>.
10. QSMOTOR 10inch 3000W 205 50H V3 60V 80KPH. *Catalogue E-Scooter Motorcycle Motor*. Taizhou city, China.
11. Rear Rack Type 60 V 15 Ah Electric Bicycle Lithium Battery Pack. *Catalogue AliExpress*. USA.
12. Rifa'I, Muchlis. 2016. Analisis Perancangan Sistem Suplai Daya pada Kendaraan Produksi Pertanian Multiguna Pedesaan. *Laporan Tugas Akhir*. Surabaya. Institut Teknologi Sepuluh Nopember.
13. Sheikh, Ahmed Zia. 2019. Comparative Analysis of Parallel vs Series Hybrid Electric Powertrains. *Thesis*. New York. Rochester Institute of Technologi.

14. Sutantra, I.N. 2015. *Teknologi Otomotif Hybrid* (1 ed). Surabaya: Guna Widya.
15. Sutantra, I. Nyoman dan Bambang Sampurno. 2010. *Teknologi Otomotif* (2 ed). Surabaya: Widya Guna.
16. United Nations Economic Comission for Europe. 2003. *Worldwide Harmonised Motorcycle Emissions Certification Procedure*.
<https://www.unece.org/fileadmin/DAM/trans/doc/2003/wp29/grpe/TRANS-WP29-GRPE-45-inf09e.pdf>.

Lampiran 1: Rekomendasi *Flowchart control system*

Lampiran 2: Hasil Perhitungan Gaya Hambat Kendaraan

v (km/jam)	V (m/s)	F(N)			
		0°	5°	10°	15°
0	0	24.27975	235.799323	445.52432	651.858609
1	0.2777778	24.287424	235.806996	445.531992	651.866278
2	0.5555556	24.3106472	235.830217	445.555207	651.889482
3	0.8333333	24.3496159	235.869181	445.594157	651.92841
4	1.1111111	24.404766	235.924035	445.648988	651.983203
5	1.3888889	24.4753517	235.994899	445.719819	652.053979
6	1.6666667	24.5623492	236.081881	445.806757	652.140843
7	1.9444444	24.6655664	236.185079	445.909888	652.243889
8	2.2222222	24.7850928	236.304582	446.029329	652.363203
9	2.5000000	24.9210116	236.440472	446.165134	652.498865
10	2.7777778	25.073401	236.592828	446.317388	652.650952
11	3.0555556	25.242335	236.761722	446.486165	652.819534
12	3.3333333	25.4278838	236.947226	446.671534	653.004679
13	3.6111111	25.6301146	237.149406	446.873561	653.206453
14	3.8888889	25.8490919	237.368326	447.09231	653.424917
15	4.1666667	26.0848776	237.604048	447.327841	653.660131
16	4.4444444	26.3375315	237.856631	447.580213	653.912154
17	4.7222222	26.6071114	238.126134	447.849484	654.181011
18	5.0000000	26.8936735	238.412611	448.135708	654.466846
19	5.2777778	27.1972721	238.716118	448.43894	654.769622
20	5.5555556	27.5179602	239.036707	448.759231	655.089419
21	5.8333333	27.8557894	239.374428	449.096632	655.426288
22	6.1111111	28.2108098	239.729334	449.451193	655.780278
23	6.3888889	28.5830707	240.101471	449.822962	656.151435
24	6.6666667	28.97262	240.490889	450.211986	656.539806
25	6.9444444	29.3795047	240.897634	450.618311	656.945437
26	7.2222222	29.8037708	241.321751	451.041984	657.368371
27	7.5000000	30.2454633	241.763286	451.483047	657.808653
28	7.7777778	30.7046266	242.222283	451.941546	658.266324
29	8.0555556	31.1813039	242.698784	452.417521	658.741428
30	8.3333333	31.6755379	243.192833	452.911017	659.234005
31	8.6111111	32.1873706	243.704472	453.422073	659.744096
32	8.8888889	32.7168432	244.23374	453.95073	660.27174
33	9.1666667	33.2639962	244.780679	454.497029	660.816977
34	9.4444444	33.8288696	245.345328	455.061008	661.379845
35	9.7222222	34.4115027	245.927727	455.642707	661.960383
36	10.0000000	35.0119342	246.527915	456.242163	662.558627
37	10.2777778	35.6302024	247.145928	456.859414	663.174615
38	10.5555556	36.2663449	247.781805	457.494498	663.808382
39	10.8333333	36.9203989	248.435584	458.147451	664.459966
40	11.1111111	37.5924011	249.107299	458.818308	665.129401
41	11.3888889	38.2823877	249.796988	459.507106	665.816722
42	11.6666667	38.9903945	250.504686	460.21388	666.521964
43	11.9444444	39.7164568	251.230428	460.938665	667.245161
44	12.2222222	40.4606096	251.97425	461.681495	667.986347

v (km/jam)	v (m/s)	F(N)			
		0°	5°	10°	15°
45	12.500000	41.2228873	252.736185	462.442404	668.745554
46	12.777778	42.0033241	253.516267	463.221426	669.522817
47	13.055556	42.8019537	254.31453	464.018593	670.318168
48	13.333333	43.6188095	255.131008	464.83394	671.131638
49	13.611111	44.4539246	255.965733	465.667497	671.96326
50	13.888889	45.3073315	256.818738	466.519298	672.813065
51	14.1666667	46.1790627	257.690055	467.893975	673.681085
52	14.444444	47.0691503	258.579715	468.277758	674.567351
53	14.722222	47.976258	259.487752	469.18448	675.471892
54	15.000000	48.9045208	260.414195	470.109571	676.394741
55	15.277778	49.8498664	261.359076	471.053061	677.335925
56	15.555556	50.8136933	262.322425	472.014982	678.295476
57	15.833333	51.7960322	263.304273	472.995362	679.273423
58	16.111111	52.7969124	264.304651	473.994233	680.269795
59	16.388889	53.8163668	265.323588	475.011623	681.284622
60	16.6666667	54.8544221	266.361113	476.047563	682.317931
61	16.944444	55.9111091	267.417256	477.10208	683.369751
62	17.222222	56.9864568	268.492047	478.175204	684.440111
63	17.500000	58.0804943	269.585514	479.266963	685.52939
64	17.777778	59.1932504	270.697686	480.377386	686.636562
65	18.055556	60.3247537	271.828591	481.506501	687.762708
66	18.333333	61.4750325	272.978257	482.654335	688.907505
67	18.611111	62.644115	274.146713	483.820917	690.07098
68	18.888889	63.832029	275.333987	485.006274	691.253158
69	19.1666667	65.0388022	276.540105	486.210434	692.454069
70	19.444444	66.2644623	277.765096	487.433422	693.673737
71	19.722222	67.5090364	279.008987	488.675267	694.912189
72	20.000000	68.7725516	280.271804	489.935994	696.169452
73	20.277778	70.055035	281.553574	491.215631	697.445552
74	20.555556	71.3565132	282.854325	492.514204	698.740514
75	20.833333	72.6770128	284.174082	493.831739	700.054363
76	21.111111	74.0165601	285.512871	495.168261	701.387126
77	21.388889	75.3751814	286.87072	496.523798	702.738828
78	21.6666667	76.7529026	288.247653	497.898373	704.109494
79	21.944444	78.1497497	289.643697	499.292013	705.499148
80	22.222222	79.5657483	291.058877	500.704744	706.907816
81	22.500000	81.000924	292.493219	502.136589	708.335523
82	22.777778	82.4538021	293.946747	503.587575	709.782292
83	23.055556	83.9289078	295.419487	505.057725	711.248148
84	23.333333	85.4217662	296.911464	506.547066	712.733116
85	23.611111	86.9339023	298.422703	508.05662	714.237219
86	23.888889	88.4653407	299.953229	509.583413	715.760482
87	24.1666667	90.016106	301.503065	511.130469	717.302928
88	24.444444	91.5862229	303.072237	512.696812	718.86458
89	24.722222	93.1757155	304.660768	514.282466	720.445463
90	25.000000	94.7846082	306.268682	515.887455	722.0456
91	25.277778	96.4129248	307.896005	517.511802	723.665013
92	25.555556	98.0606895	309.542759	519.155531	725.303726
93	25.833333	99.727926	311.208968	520.818665	726.961762

v (km/jam)	V (m/s)	F(N)			
		0°	5°	10°	15°
94	26.1111111	101.414658	312.894655	522.501229	728.639145
95	26.3888889	103.120909	314.599845	524.203244	730.335895
96	26.6666667	104.846702	316.324561	525.924734	732.052037
97	26.9444444	106.592061	318.068825	527.665722	733.787593
98	27.2222222	108.357009	319.832661	529.426231	735.542585
99	27.5000000	110.141569	321.616092	531.206283	737.317035
100	27.7777778	111.945763	323.41914	533.005901	739.110966
101	28.0555556	113.769615	325.241829	534.825108	740.924399
102	28.3333333	115.613148	327.084118	536.663926	742.757356
103	28.6111111	117.476384	328.946217	538.522377	744.60986
104	28.8888889	119.359345	330.827962	540.400483	746.481932
105	29.1666667	121.262054	332.729438	542.298266	748.373594
106	29.4444444	123.184533	334.650665	544.215749	750.284867
107	29.7222222	125.126804	336.591667	546.152952	752.215772
108	30	127.088889	338.552465	548.109899	754.166331
109	30.2777778	129.070811	340.533082	550.086661	756.136565
110	30.5555556	131.072591	342.533539	552.083106	758.126496
111	30.8333333	133.094251	344.553857	554.09941	760.136143
112	31.1111111	135.135812	346.594059	556.135543	762.165529
113	31.3888889	137.197297	348.654165	558.191526	764.214674
114	31.6666667	139.278726	350.734197	560.267379	766.283598
115	31.9444444	141.380121	352.834177	562.363125	768.372322
116	32.2222222	143.501503	354.954126	564.478784	770.480868
117	32.5	145.642893	357.094064	566.614376	772.609254
118	32.7777778	147.804313	359.254013	568.769924	774.757503
119	33.0555556	149.985783	361.433993	570.945446	776.925633
120	33.3333333	152.187325	363.634026	573.140965	779.113665

Lampiran 3: Hasil Perhitungan Kebutuhan Daya Kendaraan

V (km/jam)	V (m/s)	RHP yang dibutuhkan (kw)			
		0°	5°	10°	15°
0	0	0	0	0	0
1	0.2777778	0.00674651	0.06550194	0.12375889	0.18107397
2	0.5555556	0.01350592	0.13101679	0.24753067	0.36216082
3	0.8333333	0.02029135	0.19655765	0.37132846	0.54327368
4	1.1111111	0.02711609	0.26213782	0.49516554	0.72442578
5	1.3888889	0.03399354	0.32777069	0.6190553	0.90563053
6	1.6666667	0.04093725	0.3934698	0.74301126	1.08690141
7	1.9444444	0.04796082	0.45924877	0.86704702	1.26825201
8	2.2222222	0.05507798	0.52512129	0.99117629	1.44969601
9	2.5000000	0.06230253	0.59110118	1.11541283	1.63124716
10	2.7777778	0.06964834	0.6572023	1.23977052	1.81291931
11	3.0555556	0.07712936	0.7234386	1.36426328	1.99472635
12	3.3333333	0.08475961	0.78892409	1.48890511	2.17668226
13	3.6111111	0.09255319	0.85637285	1.61371008	2.35880108
14	3.8888889	0.10052425	0.92309904	1.73869231	2.5410969
15	4.1666667	0.10868699	0.99001687	1.863866	2.72358388
16	4.4444444	0.1170557	1.05714058	1.98924539	2.90627624
17	4.7222222	0.12564469	1.12448452	2.11484479	3.08918825
18	5.0000000	0.13446837	1.19206306	2.24067854	3.27233423
19	5.2777778	0.14354116	1.25989062	2.36676107	3.45572856
20	5.5555556	0.15287756	1.3279817	2.49310684	3.63938566
21	5.8333333	0.1624921	1.39635083	2.61973036	3.82332002
22	6.1111111	0.17239993	1.4650126	2.74664618	4.00754614
23	6.3888889	0.18261406	1.53398162	2.87386892	4.19207861
24	6.6666667	0.1931508	1.60327259	3.00141324	4.37693204
25	6.9444444	0.20402434	1.67290023	3.12929383	4.56212109
26	7.2222222	0.21524946	1.74287931	3.25752544	4.74766046
27	7.5000000	0.22684098	1.81322465	3.38612285	4.9335649
28	7.7777778	0.23881376	1.88395109	3.51510091	5.11984919
29	8.0555556	0.25118273	1.95507354	3.64447448	5.30652817
30	8.3333333	0.26396282	2.02660695	3.77425847	5.49361671
31	8.6111111	0.27716902	2.09856628	3.90446785	5.68112972
32	8.8888889	0.29081638	2.17096658	4.03511176	5.86908214
33	9.1666667	0.30491997	2.24382289	4.16622276	6.05748896
34	9.4444444	0.31949488	2.31715032	4.29779841	6.24636521
35	9.7222222	0.33455628	2.39096402	4.42985965	6.43572594
36	10.0000000	0.35011934	2.46527915	4.56242163	6.62558627
37	10.2777778	0.3661993	2.54011093	4.69549954	6.81596132
38	10.5555556	0.38281142	2.61547461	4.82910859	7.00686626
39	10.8333333	0.39997099	2.69138549	4.96326405	7.1983163
40	11.1111111	0.41769335	2.76785888	5.0979812	7.39032667
41	11.3888889	0.43599386	2.84491014	5.23327538	7.58291266
42	11.6666667	0.45488794	2.92255467	5.36916194	7.77608958
43	11.9444444	0.47439101	3.0008079	5.50565628	7.96987275
44	12.2222222	0.49451856	3.07968528	5.64277383	8.16427757

V (km/jam)	V (m/s)	RHP yang dibutuhkan (kW)			
		0°	5°	10°	15°
45	12.5000000	0.51528609	3.15920231	5.78053005	8.35931943
46	12.7777778	0.53670914	3.23937452	5.91894044	8.55501378
47	13.0555556	0.55880328	3.32021748	6.05802052	8.75137608
48	13.3333333	0.58158413	3.40174678	6.19778586	8.94842184
49	13.6111111	0.60506731	3.48397803	6.33825205	9.14616659
50	13.8888889	0.62926849	3.56692691	6.4794347	9.34462591
51	14.1666667	0.65420339	3.65060911	6.62134948	9.54381538
52	14.4444444	0.67988773	3.73504033	6.76401207	9.74375062
53	14.7222222	0.70633727	3.82023634	6.90743818	9.9444731
54	15.0000000	0.73356781	3.90621292	7.05164356	10.1459211
55	15.2777778	0.76159518	3.99298588	7.19664399	10.3481877
56	15.5555556	0.79043523	4.08057105	7.34245527	10.551263
57	15.8333333	0.82010384	4.16898433	7.48909324	10.7551625
58	16.1111111	0.85061694	4.252416	7.62657376	10.9599023
59	16.3888889	0.88199046	4.3483588	7.78491272	11.165498
60	16.6666667	0.91424037	4.43935188	7.93412604	11.3719655
61	16.9444444	0.94738268	4.53123684	8.08422968	11.5793208
62	17.2222222	0.98143342	4.6240297	8.23523962	11.7875797
63	17.5000000	1.01640865	4.71774649	8.38717185	11.9967582
64	17.7777778	1.05233445	4.8124033	8.54004242	12.2068722
65	18.0555556	1.08919694	4.90801622	8.69386738	12.4179378
66	18.3333333	1.12704226	5.00460138	8.84866282	12.6299709
67	18.6111111	1.16587658	5.10217494	9.00444485	12.8429877
68	18.8888889	1.2057161	5.20075309	9.16122963	13.0570041
69	19.1666667	1.24657704	5.30035202	9.31903331	13.2720363
70	19.4444444	1.28847566	5.40098798	9.4778721	13.4881004
71	19.7222222	1.33142822	5.50267724	9.63776221	13.7052126
72	20.0000000	1.37545103	5.60543608	9.79871989	13.923389
73	20.2777778	1.42056043	5.70928081	9.96071642	14.1426459
74	20.5555556	1.46677277	5.81422779	10.1239031	14.3629994
75	20.8333333	1.51410443	5.92029337	10.2881612	14.5844659
76	21.1111111	1.56251782	6.02749395	10.4535522	14.8070616
77	21.3888889	1.61219138	6.13584595	10.6200993	15.0309027
78	21.6666667	1.66297956	6.24536582	10.7877981	15.2557057
79	21.9444444	1.71495284	6.35607002	10.9566858	15.4817869
80	22.2222222	1.76812774	6.46797504	11.1267721	15.7090626
81	22.5000000	1.82252079	6.58109742	11.2980733	15.9375493
82	22.7777778	1.87814855	6.69545368	11.4706059	16.1672633
83	23.0555556	1.9350276	6.8110604	11.6443864	16.3982212
84	23.3333333	1.99317455	6.92793417	11.8194315	16.6304394
85	23.6111111	2.05260603	7.04609161	11.9957577	16.8639343
86	23.8888889	2.11333869	7.16554935	12.1733815	17.0987226
87	24.1666667	2.17538923	7.28632407	12.3523197	17.3348208
88	24.4444444	2.23877434	7.40843245	12.5325887	17.5722453
89	24.7222222	2.30351075	7.5318912	12.7142054	17.8110128
90	25.0000000	2.3696152	7.65671706	12.8971864	18.055114
91	25.2777778	2.43710449	7.78292679	13.0815483	18.2926434
92	25.5555556	2.5059954	7.91053717	13.267308	18.5355397
93	25.8333333	2.57630475	8.039565	13.4544822	18.7798455

v (km/jam)	v (m/s)	RHP yang dibutuhkan (Kw)			
		0°	5°	10°	15°
94	26.1111111	2.6480494	8.17002711	13.6430876	19.0255777
95	26.3888889	2.7212462	8.30194036	13.8331412	19.2727528
96	26.6666667	2.79591205	8.43532162	14.0246596	19.5213877
97	26.9444444	2.87206386	8.57018778	14.2176597	19.771499
98	27.2222222	2.94971857	8.70655577	14.4121585	20.0231037
99	27.5000000	3.02889313	8.84444252	14.6081728	20.2762185
100	27.7777778	3.10960453	8.983865	14.8057195	20.5308602
101	28.0555556	3.19186976	9.12484019	15.0048155	20.7870456
102	28.3333333	3.27570586	9.26738511	15.2054779	21.0447918
103	28.6111111	3.36112987	9.41151678	15.4077236	21.3041154
104	28.8888889	3.44815885	9.55725225	15.6115695	21.5650336
105	29.1666667	3.5368099	9.7046086	15.8170328	21.8275632
106	29.4444444	3.62710013	9.85360292	16.0241304	22.0917211
107	29.7222222	3.71904667	10.0042523	16.2328794	22.3575243
108	30	3.81266668	10.156574	16.443297	22.6249899
109	30.2777778	3.90797734	10.310585	16.6554001	22.8941349
110	30.5555556	4.00499584	10.4663026	16.869206	23.1649763
111	30.8333333	4.10373941	10.6237439	17.0847318	23.4375311
112	31.1111111	4.2042527	10.7829263	17.3019947	23.7118165
113	31.3888889	4.3064707	10.9438668	17.5210118	23.9878495
114	31.6666667	4.41049298	11.1065829	17.7418003	24.2656473
115	31.9444444	4.51630941	11.2710918	17.9643776	24.545227
116	32.2222222	4.62393731	11.4374107	18.1887608	24.8266057
117	32.5	4.73339403	11.6055571	18.4149672	25.1098008
118	32.7777778	4.84469693	11.7755482	18.6430142	25.3948293
119	33.0555556	4.95786339	11.9474015	18.8729189	25.6817084
120	33.3333333	5.07291083	12.1211342	19.1046988	25.9704555

**Lampiran 4: Perhitungan Traksi dan Power Kendaraan
Moda Murni Penggerak Listrik dan *Hybrid***

N (rpm)	Torsi (Nm)	Ft	V (km/jam)	Power (kW)
0	191	663.4248	0	0
10	191	663.4248	1.084807	0.199913333
20	191	663.4248	2.169614	0.399826667
30	191	663.4248	3.254422	0.59974
40	191	663.4248	4.339229	0.799653333
50	191	663.4248	5.424036	0.999566667
60	191	663.4248	6.508843	1.19948
70	191	663.4248	7.59365	1.399393333
80	191	663.4248	8.678458	1.599306667
90	191	663.4248	9.763265	1.79922
100	191	663.4248	10.84807	1.999133333
110	191	663.4248	11.93288	2.199046667
120	191	663.4248	13.01769	2.39896
130	191	663.4248	14.10249	2.598873333
140	191	663.4248	15.1873	2.798786667
150	191	663.4248	16.27211	2.9987
160	191	663.4248	17.35692	3.198613333
170	191	663.4248	18.44172	3.398526667
180	191	663.4248	19.52653	3.59844
190	191	663.4248	20.61134	3.798353333
200	191	663.4248	21.69614	3.998266667
210	191	663.4248	22.78095	4.19818
220	191	663.4248	23.86576	4.398093333
230	191	663.4248	24.95057	4.598006667
240	191	663.4248	26.03537	4.79792
250	191	663.4248	27.12018	4.997833333
260	191	663.4248	28.20499	5.197746667
270	191	663.4248	29.28979	5.39766
280	191	663.4248	30.3746	5.597573333
290	191	663.4248	31.45941	5.797486667
300	191	663.4248	32.54422	5.9974
310	184.91884	642.302331	33.62902	6
320	179.14013	622.230383	34.71383	6
330	173.71164	603.374917	35.79864	6
340	168.60247	585.628596	36.88344	6
350	163.78526	568.896351	37.96825	6
360	159.23567	553.093674	39.05306	6
370	154.932	538.145196	40.13787	6
380	150.85484	523.983481	41.22267	6
390	146.98677	510.548007	42.30748	6
400	143.3121	497.784307	43.39229	6
410	139.81668	485.643226	44.4771	6
420	136.48772	474.080292	45.5619	6
430	133.31358	463.055169	46.64671	6
440	130.28373	452.531188	47.73152	6
450	127.38854	442.474939	48.81632	6

N (rpm)	Torsi (Nm)	Ft	V (km/jam)	Power (kW)
460	124.61922	432.855919	49.90113	6
470	121.96775	423.646219	50.98594	6
480	119.42675	414.820256	52.07075	6
490	116.98947	406.354536	53.15555	6
500	114.64968	398.227445	54.24036	6
510	112.40165	390.419064	55.32517	6
520	110.24008	382.911005	56.40997	6
530	108.16008	375.686269	57.49478	6
540	106.15711	368.729116	58.57959	6
550	104.22698	362.02495	59.6644	6
560	102.36579	355.560219	60.7492	6
570	100.5699	349.322321	61.83401	6
580	98.835932	343.299522	62.91882	6
590	97.160747	337.480886	64.00362	6
600	95.541401	331.856204	65.08843	6
610	93.975149	326.415939	66.17324	6
620	92.459421	321.151166	67.25805	6
630	90.991811	316.053528	68.34285	6
640	89.570064	311.115192	69.42766	6
650	88.192063	306.328804	70.51247	6
660	86.855819	301.687459	71.59728	6
670	85.559464	297.184661	72.68208	6
680	84.301236	292.814298	73.76689	6
690	83.079479	288.570613	74.8517	6
700	81.89263	284.448175	75.9365	6
710	80.739212	280.441863	77.02131	6
720	79.617834	276.546837	78.10612	6
730	78.527179	272.758524	79.19093	6
740	77.466001	269.072598	80.27573	6
750	76.433121	265.484964	81.36054	6
760	75.427422	261.99174	82.44535	6
770	74.447845	258.58925	83.53015	6
780	73.493386	255.274003	84.61496	6
790	72.56309	252.042687	85.69977	6
800	71.656051	248.892153	86.78458	6
810	70.771408	245.819411	87.86938	6
820	69.908342	242.821613	88.95419	6
830	69.066073	239.896051	90.039	6
840	68.243858	237.040146	91.1238	6
850	67.440989	234.251438	92.20861	6
860	66.656792	231.527585	93.29342	6
870	65.890622	228.866348	94.37823	6
880	65.141865	226.265594	95.46303	6
890	64.409933	223.723284	96.54784	6
900	63.694268	221.23747	97.63265	6
910	62.994331	218.806289	98.71746	6
920	62.30961	216.427959	99.80226	6
930	61.639614	214.100777	100.8871	6
940	60.983873	211.823109	101.9719	6
950	60.341938	209.593392	103.0567	6

N (rpm)	Torsi (Nm)	Ft	V (km/jam)	Power (kW)
960	59.713376	207.410128	104.1415	6
970	59.097774	205.271879	105.2263	6
980	58.494735	203.177268	106.3111	6
990	57.90388	201.124972	107.3959	6
1000	57.324841	199.113723	108.4807	6
1010	56.757268	197.1423	109.5655	6
1020	56.200824	195.209532	110.6503	6
1030	55.655185	193.314294	111.7351	6
1040	55.120039	191.455503	112.8199	6
1050	54.595086	189.632117	113.9048	6
1060	54.080038	187.843135	114.9896	6
1070	53.574618	186.087591	116.0744	6
1080	53.078556	184.364558	117.1592	6
1090	52.591597	182.67314	118.244	6

**Lampiran 5: Perhitungan Traksi dan Power Kendaraan
Moda Penggerak Mesin dan Pengisi ACCU**

N (rpm)	Torsi (Nm)	Ft	V (km/jam)	Power (kW)
0	191	663.4248	0	0
10	191	663.4248	1.084807	0.199913333
20	191	663.4248	2.169614	0.399826667
30	191	663.4248	3.254422	0.59974
40	191	663.4248	4.339229	0.799653333
50	191	663.4248	5.424036	0.999566667
60	191	663.4248	6.508843	1.19948
70	191	663.4248	7.59365	1.399393333
80	191	663.4248	8.678458	1.599306667
90	191	663.4248	9.763265	1.7992
100	191	663.4248	10.84807	1.999133333
110	191	663.4248	11.93288	2.199046667
120	191	663.4248	13.01769	2.39896
130	191	663.4248	14.10249	2.598873333
135	191	663.4248	14.651246	2.7
140	184.258417	640.008394	15.1873	2.7
150	171.974522	597.341168	16.27211	2.7
160	161.226115	560.007345	17.35692	2.7
170	151.742226	527.065737	18.44172	2.7
180	143.312102	497.784307	19.52653	2.7
190	135.76936	471.585133	20.61134	2.7
200	128.980892	448.005876	21.69614	2.7
210	122.838944	426.672263	22.78095	2.7
220	117.255356	407.278069	23.86576	2.7
230	112.157297	389.570327	24.95057	2.7
240	107.484076	373.33823	26.03537	2.7
250	103.184713	358.404701	27.12018	2.7
260	99.2160706	344.619905	28.20499	2.7
270	95.5414013	331.856204	29.28979	2.7
280	92.1292084	320.004197	30.3746	2.7
290	88.9523391	308.96957	31.45941	2.7
300	85.9872611	298.670584	32.54422	2.7
310	83.2134785	289.036049	33.62902	2.7
320	80.6130573	280.003673	34.71383	2.7
330	78.1702374	271.518713	35.79864	2.7
340	75.8711128	263.532868	36.88344	2.7
350	73.7033667	256.003358	37.96825	2.7
360	71.656051	248.892153	39.05306	2.7
370	69.7194009	242.165338	40.13787	2.7
380	67.8846799	235.792566	41.22267	2.7
390	66.144047	229.746603	42.30748	2.7
400	64.4904459	224.002938	43.39229	2.7
410	62.9175082	218.539452	44.4771	2.7
420	61.4194722	213.336131	45.5619	2.7
430	59.9911124	208.374826	46.64671	2.7
440	58.6276781	203.639035	47.73152	2.7

N (rpm)	Torsi (Nm)	Ft	V (km/jam)	Power (kW)
450	57.3248408	199.113723	48.816324	2.7
460	56.0786486	194.785164	49.901131	2.7
470	54.8854858	190.640798	50.985938	2.7
480	53.7420382	186.669115	52.070746	2.7
490	52.6452619	182.859541	53.155553	2.7
500	51.5923567	179.20235	54.24036	2.7
510	50.5807419	175.688579	55.325167	2.7
520	49.6080353	172.309952	56.409974	2.7
530	48.6720346	169.058821	57.494782	2.7
540	47.7707006	165.928102	58.579589	2.7
550	46.9021424	162.911228	59.664396	2.7
560	46.0646042	160.002099	60.749203	2.7
570	45.2564532	157.195044	61.83401	2.7
580	44.4761696	154.484785	62.918818	2.7
590	43.7223362	151.866399	64.003625	2.7
600	42.9936306	149.335292	65.088432	2.7
610	42.288817	146.887172	66.173239	2.7
620	41.6067393	144.518025	67.258046	2.7
630	40.9463148	142.224088	68.342854	2.7
640	40.3065287	140.001836	69.427661	2.7
650	39.6864282	137.847962	70.512468	2.7
660	39.0851187	135.759356	71.597275	2.7
670	38.5017587	133.733097	72.682082	2.7
680	37.9355564	131.766434	73.76689	2.7
690	37.3857657	129.856776	74.851697	2.7
700	36.8516833	128.001679	75.936504	2.7
710	36.3326456	126.198838	77.021311	2.7
720	35.8280255	124.446077	78.106118	2.7
730	35.3372306	122.741336	79.190926	2.7
740	34.8597005	121.082669	80.275733	2.7
750	34.3949045	119.468234	81.36054	2.7
760	33.9423399	117.896283	82.445347	2.7
770	33.5015303	116.365163	83.530154	2.7
780	33.0720235	114.873302	84.614962	2.7
790	32.6533903	113.419209	85.699769	2.7
800	32.2452229	112.001469	86.784576	2.7
810	31.8471338	110.618735	87.869383	2.7
820	31.4587541	109.269726	88.95419	2.7
830	31.0797329	107.953223	90.038998	2.7
840	30.7097361	106.668066	91.123805	2.7
850	30.3484451	105.413147	92.208612	2.7
860	29.9955562	104.187413	93.293419	2.7
870	29.6507797	102.989857	94.378226	2.7
880	29.313839	101.819517	95.463034	2.7
890	28.98447	100.675478	96.547841	2.7
900	28.6624204	99.5568613	97.632648	2.7
910	28.3474487	98.4628299	98.717455	2.7
920	28.0393243	97.3925818	99.802262	2.7
930	27.7378262	96.3453497	100.88707	2.7
940	27.4427429	95.3203992	101.97188	2.7

N (rpm)	Torsi (Nm)	Ft	V (km/jam)	Power (kW)
950	27.1538719	94.3170265	103.05668	2.7
960	26.8710191	93.3345575	104.14149	2.7
970	26.5939983	92.3723456	105.2263	2.7
980	26.322631	91.4297706	106.31111	2.7
990	26.0567458	90.5062376	107.39591	2.7
1000	25.7961783	89.6011752	108.48072	2.7
1010	25.5407706	88.7140349	109.56553	2.7
1020	25.2903709	87.8442894	110.65033	2.7
1030	25.0448333	86.9914322	111.73514	2.7
1040	24.8040176	86.1549762	112.81995	2.7
1050	24.5677889	85.3344526	113.90476	2.7
1060	24.3360173	84.5294106	114.98956	2.7
1070	24.1085779	83.7394161	116.07437	2.7
1080	23.8853503	82.9640511	117.15918	2.7
1090	23.6662187	82.202913	118.24398	2.7

Lampiran 6: Perhitungan Konsumsi Energi

Time (s)	V (km/h)	Ra (N)	Rr (N)	Fi (N)	RHP acc (kW)	s acc (m)	trapezoidal
1	0	0	23.29875	0	0	0	0
2	0	0	23.29875	0	0	0	0
3	0	0	23.29875	0	0	0	0
4	0	0	23.29875	0	0	0	0
5	0	0	23.29875	0	0	0	0
6	0	0	23.29875	0	0	0	0
7	0	0	23.29875	0	0	0	0
8	0	0	23.29875	0	0	0	0
9	0	0	23.29875	0	0	0	0
10	0	0	23.29875	0	0	0	0
11	0	0	23.29875	0	0	0	0
12	0	0	23.29875	0	0	0	0
13	0	0	23.29875	0	0	0	0
14	0	0	23.29875	0	0	0	0
15	0	0	23.29875	0	0	0	0
16	0	0	23.29875	0	0	0	0
17	0	0	23.29875	0	0	0	0
18	0	0	23.29875	0	0	0	0
19	0	0	23.29875	0	0	0	0
20	0	0	23.29875	0	0	0	0
21	0	0	23.29875	68.79736106	0	0.1388888889	0
22	1	0.007552614	23.29886649	110.0757777	0.03705061	0.5	0.018525305
23	2.6	0.051055669	23.3000198	151.3541943	0.126176028	1.027777778	0.081613319
24	4.8	0.174012222	23.30463038	165.1136665	0.251456412	1.666666667	0.18881622
25	7.2	0.3915275	23.31495443	165.1136665	0.377640297	2.333333333	0.314584355
26	9.6	0.696048889	23.33201448	165.1136665	0.504377946	3	0.441009122
27	12	1.087576389	23.35686065	158.2339304	0.608927892	3.652777778	0.556652919
28	14.3	1.544433998	23.38883297	158.2339304	0.727580812	4.291666667	0.668254352
29	16.6	2.081198262	23.42953949	158.2339304	0.847267081	4.930555556	0.787423946
30	18.9	2.69786918	23.47965773	158.2339304	0.968160151	5.569444444	0.907713616
31	21.2	3.394446752	23.53981951	158.2339304	1.090434936	6.208333333	1.029297544
32	23.5	4.170930978	23.61061905	144.4744582	1.1244448943	6.819444444	1.107441939
33	25.6	4.949680988	23.68503028	103.1960416	0.937463131	7.319444444	1.030956037
34	27.1	5.546715109	23.74412502	61.91762495	0.686597057	7.652777778	0.812030094
35	28	5.921249228	23.78202876	48.15815274	0.605588906	7.875	0.646092981
36	28.7	6.221012471	23.81280237	34.39868053	0.513670171	8.041666667	0.559629539
37	29.2	6.43966064	23.8354848	41.27841663	0.580378892	8.194444444	0.547024532
38	29.8	6.707023169	23.86348316	41.27841663	0.594749418	8.361111111	0.587564155
39	30.4	6.97982358	23.89234001	-55.03788885	0	0	0.297374709
40	29.6	6.617298117	23.85405541	-61.91762495	0	0	0
41	28.7	6.221012471	23.81280237	-55.03788885	0	0	0
42	27.9	5.879030117	23.77772532	-27.51894442	0	0	0
43	27.5	5.711664195	23.7607419	-13.75947221	0	0	0
44	27.3	5.628887548	23.75238781	6.879736106	0.274979337	7.597222222	0.137489668
45	27.4	5.670200345	23.75655342	6.879736106	0.276332728	7.625	0.275656033
46	27.5	5.711664195	23.7607419	6.879736106	0.277689975	7.652777778	0.277011352
47	27.6	5.753279097	23.76495329	0	0.226306448	7.666666667	0.251998212

Time (s)	V (km/h)	Ra (N)	Rr (N)	Fi (N)	RHP acc (kW)	s acc (m)	trapezoidal
48	27.6	5.753279097	23.76495329	0	0.226306448	7.666666667	0.226306448
49	27.6	5.753279097	23.76495329	6.879736106	0.279051092	7.680555556	0.25267877
50	27.7	5.795045052	23.76918762	6.879736106	0.280416093	7.708333333	0.279733592
51	27.8	5.836962058	23.77344495	20.63920832	0.388038696	7.763888889	0.334227395
52	28.1	5.963619392	23.78635531	34.39868053	0.500715892	7.875	0.444377294
53	28.6	6.177735993	23.80833626	27.51894442	0.45684541	8	0.478780651
54	29	6.351748216	23.82634129	13.75947221	0.353941469	8.083333333	0.40539344
55	29.2	6.43966064	23.8354848	20.63920832	0.41297198	8.152777778	0.383456725
56	29.5	6.57266217	23.84937721	13.75947221	0.362042942	8.222222222	0.387507461
57	29.7	6.662085117	23.85875738	27.51894442	0.478828242	8.305555556	0.420435592
58	30.1	6.84274364	23.87780373	27.51894442	0.486946862	8.416666667	0.482887552
59	30.5	7.025818998	23.89723356	13.75947221	0.378560279	8.5	0.432753571
60	30.7	7.118262991	23.90709307	-68.79736106	0	0	0.18928014
61	29.7	6.662085117	23.85875738	-185.7528749	0	0	0
62	27	5.505855469	23.74002776	-275.1894442	0	0	0
63	23	3.995332706	23.59429405	-295.8286526	0	0	0
64	18.7	2.641073524	23.47490973	-309.5881248	0	0	0
65	14.2	1.522909049	23.38726635	-330.2273331	0	0	0
66	9.4	0.677348956	23.33030893	-309.5881248	0	0	0
67	4.9	0.181338258	23.30494146	-199.5123471	0	0	0
68	2	0.030210455	23.29940899	-137.5947221	0	0	0
69	0	0	23.29875	0	0	0	0
70	0	0	23.29875	0	0	0	0
71	0	0	23.29875	0	0	0	0
72	0	0	23.29875	0	0	0	0
73	0	0	23.29875	116.9555138	0	0.236111111	0
74	1.7	0.021827054	23.29918896	282.0691803	0.144212037	1.041666667	0.072106019
75	5.8	0.254069929	23.30818784	412.7841663	0.703002572	2.444444444	0.423607305
76	11.8	1.051625947	23.35446956	447.1828469	1.545763756	4.180555556	1.124383164
77	18.3	2.529294839	23.46564001	426.5436386	2.300404415	5.944444444	1.923084085
78	24.5	4.53345644	23.64486294	337.1070692	2.485970006	7.486111111	2.39318721
79	29.4	6.528177274	23.84472273	213.2718193	1.989765207	8.597222222	2.237867607
80	32.5	7.977448339	24.000022311	116.9555138	1.3445357	9.263888889	1.667150454
81	34.2	8.833839219	24.09558406	13.75947221	0.443544507	9.527777778	0.894040104
82	34.4	8.93746108	24.10728483	6.879736106	0.381500606	9.569444444	0.412522557
83	34.5	8.989498589	24.11317363	6.879736106	0.383164746	9.597222222	0.382332676
84	34.6	9.014687151	24.11908808	6.879736106	0.384833803	9.625	0.383999275
85	34.7	9.094026765	24.12502823	6.879736106	0.386507792	9.652777778	0.385670798
86	34.8	9.146517431	24.13099412	27.51894442	0.587699074	9.722222222	0.487103433
87	35.2	9.357990617	24.15511574	55.03788885	0.685831953	9.888888889	0.726765514
88	36	9.7881875	24.2046054	68.79736106	1.02790154	10.138888889	0.946866746
89	37	10.33952831	24.26882863	61.91762495	0.992072592	10.40277778	1.009987066
90	37.9	10.84865001	24.32890044	48.15815274	0.877339764	10.625	0.934706178
91	38.6	11.25309247	24.37712767	13.75947221	0.529567257	10.75	0.703453511
92	38.8	11.37000694	24.39115062	0	0.385425809	10.77777778	0.457496533
93	38.8	11.37000694	24.39115062	-6.879736106	0	0	0.192712905
94	38.7	11.31147418	24.38412556	-13.75947221	0	0	0
95	38.5	11.19486182	24.37015693	-34.39868053	0	0	0
96	38	10.90597434	24.33570908	-41.27841663	0	0	0

Time (s)	V (km/h)	Ra (N)	Rr (N)	Fi (N)	RHP acc (kW)	s acc (m)	trapezoidal
97	37.4	10.5642941	24.29525993	-34.39868053	0	0	0
98	36.9	10.28371449	24.26228732	-20.63920832	0	0	0
99	36.6	10.11717936	24.24282248	-13.75947221	0	0	0
100	36.4	10.0069112	24.22997813	0	0.346172992	10.11111111	0.173086496
101	36.4	10.0069112	24.22997813	6.879736106	0.415734768	10.125	0.38095388
102	36.5	10.06196975	24.23638711	13.75947221	0.487252989	10.16666667	0.451493879
103	36.7	10.17254002	24.24928429	13.75947221	0.4911181551	10.22222222	0.48921727
104	36.9	10.28371449	24.26228732	6.879736106	0.424613814	10.26388889	0.457897682
105	37	10.33952831	24.26882863	13.75947221	0.4971138	10.30555556	0.460863807
106	37.2	10.4516091	24.28199099	6.879736106	0.430004474	10.34722222	0.463559137
107	37.3	10.50787607	24.28861212	6.879736106	0.431811991	10.375	0.430908232
108	37.4	10.5642941	24.29525993	-6.879736106	0	0	0.215905995
109	37.3	10.50787607	24.28861212	-34.39868053	0	0	0
110	36.8	10.22805173	24.25577255	-68.79736106	0	0	0
111	35.8	9.679731966	24.19207645	-75.67709716	0	0	0
112	34.7	9.094026765	24.12502823	-199.5123471	0	0	0
113	31.8	7.637505191	23.96305944	-199.5123471	0	0	0
114	28.9	6.308018582	23.82180485	-151.3541943	0	0	0
115	26.7	5.38418286	23.727872	-144.4744582	0	0	0
116	24.6	4.570539774	23.64840552	41.27841663	0.47489864	6.916666667	0.23744932
117	25.2	4.796211875	23.67011757	68.79736106	0.6808455834	7.138888889	0.577872237
118	26.2	5.184416225	23.7080633	96.31630548	0.911241713	7.47222222	0.796043773
119	27.6	5.753279097	23.76495329	110.0757777	1.070220744	7.888888889	0.990731229
120	29.2	6.43966064	23.83554848	123.8352499	1.25000654	8.361111111	1.160113642
121	31	7.258061873	23.92206397	123.8352499	1.334854624	8.861111111	1.292430582
122	32.8	8.125404043	24.01652319	103.1960416	1.233079272	9.319444444	1.283966948
123	34.3	8.885574623	24.10142165	55.03788885	0.838681544	9.638888889	1.035880408
124	35.1	9.304885742	24.14904655	13.75947221	0.460330791	9.777777778	0.649506168
125	35.3	9.411236545	24.16121085	-13.75947221	0	0	0.230165396
126	35.1	9.304895742	24.14904655	-34.39868053	0	0	0
127	34.6	9.041687151	24.11908808	-61.91762495	0	0	0
128	33.7	8.57742798	24.06677857	-103.1960416	0	0	0
129	32.2	7.830852105	23.98414717	-178.8731388	0	0	0
130	29.6	6.617298117	23.85405541	-247.6704998	0	0	0
131	26	5.105566937	23.70029664	-275.1894442	0	0	0
132	22	3.655465085	23.56320959	-240.7907637	0	0	0
133	18.5	2.584882077	23.47023729	-130.714986	0	0	0
134	16.6	2.081198262	23.42953949	68.79736106	0.434865122	4.75	0.217432561
135	17.6	2.339497654	23.45013551	233.9110276	1.269647675	5.361111111	0.852256399
136	21	3.330702691	23.53417407	288.9489164	1.842247127	6.416666667	1.555947401
137	25.2	4.796211875	23.67011757	268.3097081	2.077432263	7.541666667	1.959839695
138	29.1	6.395628902	23.83090126	158.2339304	1.523388723	8.402777778	1.800410493
139	31.4	7.446575114	23.94236587	34.39868053	0.573814254	8.791666667	1.048601489
140	31.9	7.685615341	23.96829432	-34.39868053	0	0	0.286907127
141	31.4	7.446575114	23.94236587	-55.03788885	0	0	0
142	30.6	7.071965469	23.90215123	-75.67709716	0	0	0
143	29.5	6.57266217	23.84937721	-103.1960416	0	0	0
144	28	5.921249228	23.78202876	-213.2718193	0	0	0
145	24.9	4.682696089	23.65916345	-323.3475979	0	0	0
146	20.2	3.08176854	23.51238925	-371.5057497	0	0	0

Time (s)	V (km/h)	Ra (N)	Rr (N)	Fi (N)	RHP acc (kW)	s acc (m)	trapezoidal
147	14.8	1.654324529	23.39691505	-364.6260136	0	0	0
148	9.5	0.681623397	23.33115497	-323.347597	0	0	0
149	4.8	0.174012222	23.30463038	-233.9110276	0	0	0
150	1.4	0.014803123	23.29902016	-96.31630548	0	0	0
151	0	0	23.29875	0	0	0	0
152	0	0	23.29875	0	0	0	0
153	0	0	23.29875	0	0	0	0
154	0	0	23.29875	0	0	0	0
155	0	0	23.29875	0	0	0	0
156	0	0	23.29875	0	0	0	0
157	0	0	23.29875	0	0	0	0
158	0	0	23.29875	0	0	0	0
159	0	0	23.29875	0	0	0	0
160	0	0	23.29875	0	0	0	0
161	0	0	23.29875	0	0	0	0
162	0	0	23.29875	0	0	0	0
163	0	0	23.29875	0	0	0	0
164	0	0	23.29875	0	0	0	0
165	0	0	23.29875	0	0	0	0
166	0	0	23.29875	0	0	0	0
167	0	0	23.29875	0	0	0	0
168	0	0	23.29875	0	0	0	0
169	0	0	23.29875	0	0	0	0
170	0	0	23.29875	0	0	0	0
171	0	0	23.29875	0	0	0	0
172	0	0	23.29875	0	0	0	0
173	0	0	23.29875	0	0	0	0
174	0	0	23.29875	0	0	0	0
175	0	0	23.29875	0	0	0	0
176	0	0	23.29875	0	0	0	0
177	0	0	23.29875	0	0	0	0
178	0	0	23.29875	0	0	0	0
179	0	0	23.29875	0	0	0	0
180	0	0	23.29875	0	0	0	0
181	0	0	23.29875	0	0	0	0
182	0	0	23.29875	137.5947221	0	0.277777778	0
183	2	0.030210455	23.29940899	275.1894442	0.165843924	1.111111111	0.082921962
184	6	0.271894097	23.30902261	440.3031108	0.773140046	2.555555556	0.469491985
185	12.4	1.1612899	23.36182494	619.1762495	2.217186699	4.694444444	1.495163373
186	21.4	3.458795021	23.5455454	591.6573051	3.677597978	7.138888889	2.947393241
187	30	6.797352431	23.87300629	488.4612635	4.326096852	9.319444444	4.001848317
188	37.1	10.39549318	24.2753965	371.5057497	4.185875923	11.055555556	4.255986387
189	42.5	13.6419087	24.67049994	282.0691803	3.782282648	12.375	3.984079285
190	46.6	16.40095405	25.02656091	220.1515554	3.385983964	13.38888889	3.584133306
191	49.8	18.73078436	25.33755637	178.8731388	3.0840238	14.19444444	3.235003882
192	52.4	20.7376649	25.61417567	137.5947221	2.6777444412	14.83333333	2.880734106
193	54.4	22.35090321	25.84147782	82.55683327	1.975765905	15.27777778	2.326605159
194	55.6	23.34784823	25.98403017	34.39868053	1.293171966	15.51388889	1.634468935
195	56.1	23.76966171	26.04480846	6.879736106	0.883484715	15.59722222	1.08832834
196	56.2	23.85447757	26.05706216	0	0.779174592	15.61111111	0.831329654

Time (s)	V (km/h)	Ra (N)	Rr (N)	Fi (N)	RHP acc (kW)	s acc (m)	trapezoidal
197	56.2	23.85447757	26.05706216	0	0.779174592	15.61111111	0.779174592
198	56.2	23.85447757	26.05706216	34.39868053	1.316176216	15.68055556	1.047675404
199	56.7	24.28082262	26.1188225	34.39868053	1.335573629	15.81944444	1.325874923
200	57.2	24.71094397	26.18140519	34.39868053	1.355179694	15.95833333	1.345376661
201	57.7	25.14484164	26.24481387	34.39868053	1.374996386	16.09722222	1.36508804
202	58.2	25.58251561	26.30905214	34.39868053	1.39502568	16.23611111	1.385011033
203	58.7	26.02396588	26.37412358	41.27841663	1.527447474	16.38888889	1.461236577
204	59.3	26.55869094	26.45331412	34.39868053	1.439848238	16.54166667	1.483647856
205	59.8	27.0084491	26.52023108	13.75947221	1.117730976	16.63888889	1.278789607
206	60	27.18940972	26.54723415	0	0.895610731	16.66666667	1.006670853
207	60	27.18940972	26.54723415	-6.879736106	0	0	0.447805366
208	59.9	27.09885388	26.53371571	0	0.892386366	16.63888889	0.446193183
209	59.9	27.09885388	26.53371571	0	0.892386366	16.63888889	0.892386366
210	59.9	27.09885388	26.53371571	0	0.892386366	16.63888889	0.892386366
211	59.9	27.09885388	26.53371571	0	0.892386366	16.63888889	0.892386366
212	59.9	27.09885388	26.53371571	-6.879736106	0	0	0.446193183
213	59.8	27.0084491	26.52023108	-13.75947221	0	0	0
214	59.6	26.82809268	26.49336315	-34.39868053	0	0	0
215	59.1	26.37984505	26.42678301	-137.5947221	0	0	0
216	57.1	24.6246176	26.16882269	-268.3097081	0	0	0
217	53.2	21.37570971	25.70356519	-337.1070692	0	0	0
218	48.3	17.61941724	25.1874825	-302.7083887	0	0	0
219	43.9	14.55547286	24.78627381	-247.6704998	0	0	0
220	40.3	12.26612457	24.49981149	-55.03788885	0	0	0
221	39.5	11.7839657	24.44108995	123.8352499	1.756217241	11.22222222	0.878108621
222	41.3	12.88241785	24.57571136	268.3097081	3.507836578	12.01388889	2.632022691
223	45.2	15.43029212	24.89885585	337.1070692	4.738921393	13.23611111	4.123378986
224	50.1	18.95713619	25.36840016	247.6704998	4.063611503	14.41666667	4.401266448
225	53.7	21.77939692	25.76046822	144.4744582	2.864213657	15.20833333	3.46391258
226	55.8	23.51612047	26.00824356	0	0.767627642	15.5	1.81592065
227	55.8	23.51612047	26.00824356	-75.67709716	0	0	0.383813821
228	54.7	22.59810026	25.87667894	-96.31630548	0	0	0
229	53.3	21.45614505	25.71488195	-68.79736106	0	0	0
230	52.3	20.65858903	25.60314459	-20.63920832	0	0	0
231	52	20.42226775	25.57024081	6.879736106	0.763710201	14.45833333	0.3818551
232	52.1	20.50089046	25.5811772	-20.63920832	0	0	0.3818551
233	51.8	20.26547548	25.54846252	-68.79736106	0	0	0
234	50.8	19.49057731	25.44145265	-110.0757777	0	0	0
235	49.2	18.2821591	25.27670034	-116.9555138	0	0	0
236	47.5	17.04058491	25.11024296	-123.8352499	0	0	0
237	45.7	15.77355842	24.94347436	-123.8352499	0	0	0
238	43.9	14.55547286	24.78627381	-130.714986	0	0	0
239	42	13.32281076	24.63050965	-123.8352499	0	0	0
240	40.2	12.20532602	24.49237459	-130.714986	0	0	0
241	38.3	11.07885367	24.35629672	-130.714986	0	0	0
242	36.4	10.0069112	24.22997813	-123.8352499	0	0	0
243	34.6	9.041687151	24.11908808	-130.714986	0	0	0
244	32.7	8.075934423	24.01106486	-144.4744582	0	0	0
245	30.6	7.071965469	23.90215123	-171.9934026	0	0	0
246	28.1	5.963619392	23.78635531	-178.8731388	0	0	0

Time (s)	V (km/h)	Ra (N)	Rr (N)	Fi (N)	RHP acc (kW)	s acc (m)	trapezoidal
247	25.5	4.911087131	23.68126906	-165.1136665	0	0	0
248	23.1	4.030150256	23.59751697	-130.714986	0	0	0
249	21.2	3.394446752	23.53981951	-116.9555138	0	0	0
250	19.5	2.871881402	23.49435914	-116.9555138	0	0	0
251	17.8	2.39297016	23.45447295	-171.9934026	0	0	0
252	15.3	1.767991367	23.40541728	-261.429972	0	0	0
253	11.5	0.998833177	23.3509953	-295.8286526	0	0	0
254	7.2	0.3915275	23.31495443	-323.347597	0	0	0
255	2.5	0.047203836	23.2999012	-171.9934026	0	0	0
256	0	0	23.29875	0	0	0	0
257	0	0	23.29875	0	0	0	0
258	0	0	23.29875	0	0	0	0
259	0	0	23.29875	0	0	0	0
260	0	0	23.29875	0	0	0	0
261	0	0	23.29875	0	0	0	0
262	0	0	23.29875	0	0	0	0
263	0	0	23.29875	0	0	0	0
264	0	0	23.29875	0	0	0	0
265	0	0	23.29875	0	0	0	0
266	0	0	23.29875	34.39868053	0	0.069444444	0
267	0.5	0.001888153	23.29877059	165.1136665	0.026168656	0.472222222	0.013084328
268	2.9	0.063517482	23.30041839	364.6260136	0.312547459	1.541666667	0.169358058
269	8.2	0.507837753	23.32118041	343.9868053	0.837802709	2.972222222	0.575175084
270	13.2	1.315967431	23.37249583	316.4678609	1.250906522	4.305555556	1.044354615
271	17.8	2.39297016	23.45447295	247.6704998	1.352394273	5.444444444	1.301650398
272	21.4	3.458795021	23.5455454	185.7528749	1.264723446	6.319444444	1.30855886
273	24.1	4.386633628	23.63090839	158.2339304	1.246850135	7.013888889	1.255786791
274	26.4	5.263869722	23.7159194	137.5947221	1.221546416	7.611111111	1.234198275
275	28.4	6.091636196	23.79947408	103.1960416	1.049909754	8.097222222	1.135728085
276	29.9	6.752112274	23.86823278	41.27841663	0.59715916	8.388888889	0.823534457
277	30.5	7.025818998	23.89723356	0	0.261986973	8.472222222	0.429573066
278	30.5	7.025818998	23.89723356	-13.75947221	0	0	0.130993487
279	30.3	6.933979214	23.88747055	-6.879736106	0	0	0
280	30.2	6.888285901	23.88262514	-6.879736106	0	0	0
281	30.1	6.84274364	23.87780373	0	0.25685791	8.361111111	0.128428955
282	30.1	6.84274364	23.87780373	0	0.25685791	8.361111111	0.25685791
283	30.1	6.84274364	23.87780373	0	0.25685791	8.361111111	0.25685791
284	30.1	6.84274364	23.87780373	0	0.25685791	8.361111111	0.25685791
285	30.1	6.84274364	23.87780373	0	0.25685791	8.361111111	0.25685791
286	30.1	6.84274364	23.87780373	6.879736106	0.314380148	8.375	0.285619029
287	30.2	6.888285901	23.88262514	13.75947221	0.373560437	8.416666667	0.343970293
288	30.4	6.97982358	23.89234001	41.27841663	0.609271566	8.527777778	0.491416002
289	31	7.258061873	23.92206397	55.03788885	0.742432904	8.722222222	0.675852235
290	31.8	7.637505191	23.96305944	61.91762495	0.826077341	8.958333333	0.784255123
291	32.7	8.075934423	24.01106486	61.91762495	0.853875337	9.208333333	0.839976339
292	33.6	8.526598889	24.06109371	55.03788885	0.81783876	9.444444444	0.835857048
293	34.4	8.93746108	24.10728483	41.27841663	0.710199109	9.638888889	0.764018934
294	35	9.251951919	24.14300324	27.51894442	0.592218468	9.777777778	0.651208788
295	35.4	9.464633524	24.16733191	6.879736106	0.398365065	9.847222222	0.495291767
296	35.6	9.518181556	24.17347897	-13.75947221	0	0	0.199182533

Time (s)	V (km/h)	Ra (N)	Rr (N)	Fi (N)	RHP acc (kW)	s acc (m)	trapezoidal
297	35.3	9.411236545	24.16121085	-27.51894442	0	0	0
298	34.9	9.199159149	24.13698578	-68.79736106	0	0	0
299	33.9	8.679539319	24.07822443	-103.1960416	0	0	0
300	32.4	7.928431875	23.99483961	-123.8352499	0	0	0
301	30.6	7.071965469	23.90215123	-116.9555138	0	0	0
302	28.9	6.308018582	23.82180485	-75.67709716	0	0	0
303	27.8	5.836962058	23.77344495	-41.27841663	0	0	0
304	27.2	5.587725802	23.74824502	-20.63920832	0	0	0
305	26.9	5.46514688	23.73595319	-27.51894442	0	0	0
306	26.5	5.303823049	23.7198811	-27.51894442	0	0	0
307	26.1	5.144916055	23.70416881	-27.51894442	0	0	0
308	25.7	4.988425897	23.68881361	-13.75947221	0	0	0
309	25.5	4.911087131	23.68126906	13.75947221	0.299992118	7.111111111	0.149996059
310	25.7	4.988425897	23.68881361	48.15815274	0.548519328	7.236111111	0.424255723
311	26.4	5.263869722	23.7159194	61.91762495	0.666581037	7.458333333	0.607550182
312	27.3	5.628887548	23.75238781	55.03788885	0.640178662	7.694444444	0.653379849
313	28.1	5.963619392	23.78635531	-13.75947221	0	0	0.320089331
314	27.9	5.879030117	23.77772532	-130.714986	0	0	0
315	26	5.105566937	23.70029664	-227.0312915	0	0	0
316	22.7	3.891786371	23.58475081	-254.5502359	0	0	0
317	19	2.726493586	23.4820602	-206.3920832	0	0	0
318	16	1.933469136	23.4180396	-96.31630548	0	0	0
319	14.6	1.60991516	23.3936322	41.27841663	0.268810187	4.138888889	0.134405094
320	15.2	1.744955895	23.40368288	116.9555138	0.599995311	4.458333333	0.434402749
321	16.9	2.157102031	23.43552899	165.1136665	0.895260119	5.027777778	0.747627715
322	19.3	2.813273119	23.48938204	185.7528749	1.136853258	5.736111111	1.016056689
323	22	3.655465085	23.556320959	178.8731388	1.259449971	6.472222222	1.198151615
324	24.6	4.570539774	23.64840552	151.3541943	1.227083121	7.138888889	1.243266546
325	26.8	5.424589344	23.73190129	75.67709716	0.78042782	7.597222222	1.00375471
326	27.9	5.879030117	23.77772532	13.75947221	0.336475764	7.777777778	0.558451792
327	28.1	5.963619392	23.78635531	-27.51894442	0	0	0.168237882
328	27.7	5.795045052	23.76918762	-34.39868053	0	0	0
329	27.2	5.587725802	23.74824502	-27.51894442	0	0	0
330	26.8	5.424589344	23.73190129	-13.75947221	0	0	0
331	26.6	5.343927429	23.72386528	13.75947221	0.316445902	7.416666667	0.158222951
332	26.8	5.424589344	23.73190129	13.75947221	0.319485501	7.472222222	0.317965702
333	27	5.505855469	23.74002776	13.75947221	0.322540166	7.527777778	0.321012833
334	27.2	5.587725802	23.74824502	13.75947221	0.325610014	7.583333333	0.32407509
335	27.4	5.670200345	23.75655342	13.75947221	0.328695164	7.638888889	0.327152589
336	27.6	5.753279097	23.76495329	6.879736106	0.279051092	7.680555556	0.303873128
337	27.7	5.795045052	23.76918762	13.75947221	0.33335184	7.722222222	0.306201466
338	27.9	5.879030117	23.77772532	13.75947221	0.336475764	7.777777778	0.334913802
339	28.1	5.963619392	23.78635531	13.75947221	0.339615405	7.833333333	0.338045585
340	28.3	6.048812876	23.79507793	20.63920832	0.396853251	7.902777778	0.368234328
341	28.6	6.177735993	23.80833626	27.51894442	0.456845451	8	0.426849331
342	29	6.351748216	23.82634129	41.27841663	0.575621855	8.138888889	0.516233633
343	29.6	6.617298117	23.85405541	34.39868053	0.533375836	8.291666667	0.554498845
344	30.1	6.84274364	23.87780373	27.51894442	0.486946862	8.416666667	0.510161349
345	30.5	7.025818998	23.89723356	13.75947221	0.378560279	8.5	0.432753571
346	30.7	7.118262991	23.90709307	6.879736106	0.323246203	8.541666667	0.350903241

Time (s)	V (km/h)	Ra (N)	Rr (N)	Fi (N)	RHP acc (kW)	s acc (m)	trapezoidal
347	30.8	7.164711566	23.91205911	0	0.265879038	8.5555555556	0.29456262
348	30.8	7.164711566	23.91205911	0	0.265879038	8.5555555556	0.265879038
349	30.8	7.164711566	23.91205911	0	0.265879038	8.5555555556	0.265879038
350	30.8	7.164711566	23.91205911	0	0.265879038	8.5555555556	0.265879038
351	30.8	7.164711566	23.91205911	0	0.265879038	8.5555555556	0.265879038
352	30.8	7.164711566	23.91205911	0	0.265879038	8.5555555556	0.265879038
353	30.8	7.164711566	23.91205911	6.879736106	0.324739002	8.5694444444	0.29530902
354	30.9	7.211311194	23.9170494	0	0.267185095	8.5833333333	0.295962049
355	30.9	7.211311194	23.9170494	0	0.267185095	8.5833333333	0.267185095
356	30.9	7.211311194	23.9170494	-6.879736106	0	0	0.133592548
357	30.8	7.164711566	23.91205911	-27.51894442	0	0	0
358	30.4	6.97982358	23.89234001	-55.03788885	0	0	0
359	29.6	6.617298117	23.85405541	-82.55683327	0	0	0
360	28.4	6.091636196	23.79947408	-89.43656938	0	0	0
361	27.1	5.546715109	23.74412502	-75.67709716	0	0	0
362	26	5.105566937	23.70029664	-41.27841663	0	0	0
363	25.4	4.872644327	23.67752989	6.879736106	0.249977701	7.0694444444	0.12498885
364	25.5	4.911087131	23.68126906	55.03788885	0.592380902	7.1944444444	0.421179301
365	26.3	5.224067447	23.71198015	68.79736106	0.713996847	7.4444444444	0.653188874
366	27.3	5.628887548	23.75238781	75.67709716	0.796692658	7.7361111111	0.755344752
367	28.4	6.091636196	23.79947408	55.03788885	0.669995438	8	0.733344048
368	29.2	6.43966064	23.8354848	20.63920832	0.41297198	8.152777778	0.541483709
369	29.5	6.57266217	23.84937721	0	0.249291712	8.1944444444	0.331131846
370	29.5	6.57266217	23.84937721	-34.39868053	0	0	0.124645856
371	29	6.351748216	23.82634129	-61.91762495	0	0	0
372	28.1	5.963619392	23.78635531	-61.91762495	0	0	0
373	27.2	5.587725802	23.74824502	-61.91762495	0	0	0
374	26.3	5.224067447	23.71198015	-41.27841663	0	0	0
375	25.7	4.988425897	23.68881361	-13.75947221	0	0	0
376	25.5	4.911087131	23.68126906	6.879736106	0.251260654	7.097222222	0.125630327
377	25.6	4.949680988	23.68503028	27.51894442	0.399314885	7.1666666667	0.325287769
378	26	5.105566937	23.70029664	27.51894442	0.40679028	7.277777778	0.403052582
379	26.4	5.263869722	23.7159194	41.27841663	0.515226842	7.4166666667	0.461008561
380	27	5.505855469	23.74002776	48.15815274	0.58053027	7.597222222	0.547878556
381	27.7	5.795045052	23.76918762	55.03788885	0.650966324	7.8055555556	0.615748297
382	28.5	6.134610569	23.80389351	61.91762495	0.727194355	8.0416666667	0.689080339
383	29.4	6.528177274	23.84472273	55.03788885	0.697521442	8.277777778	0.712357899
384	30.2	6.888285901	23.88262514	20.63920832	0.431273779	8.4305555556	0.564397611
385	30.5	7.025818998	23.89723356	-13.75947221	0	0	0.21563689
386	30.3	6.933979214	23.88747055	-55.03788885	0	0	0
387	29.5	6.57266217	23.84937721	-55.03788885	0	0	0
388	28.7	6.221012471	23.81280237	-55.03788885	0	0	0
389	27.9	5.879030117	23.77772532	-27.51894442	0	0	0
390	27.5	5.711664195	23.76074749	-13.75947221	0	0	0
391	27.3	5.628887548	23.75238781	-20.63920832	0	0	0
392	27	5.505855469	23.74002776	-34.39868053	0	0	0
393	26.5	5.303823049	23.7198811	-48.15815274	0	0	0
394	25.8	5.027321858	23.69261908	-55.03788885	0	0	0
395	25	4.720383632	23.66279297	-240.7907637	0	0	0
396	21.5	3.491195734	23.54843864	-378.3854858	0	0	0

Time (s)	V (km/h)	Ra (N)	Rr (N)	Fi (N)	RHP acc (kW)	s acc (m)	trapezoidal
397	16	1.933469136	23.4180396	-412.7841663	0	0	0
398	10	0.755261381	23.33558856	-343.9868053	0	0	0
399	5	0.188815345	23.3052622	-192.632611	0	0	0
400	2.2	0.036554651	23.29958629	-82.55683327	0	0	0
401	1	0.007552614	23.29886649	-68.79736106	0	0	0
402	0	0	23.29875	0	0	0	0
403	0	0	23.29875	0	0	0	0
404	0	0	23.29875	0	0	0	0
405	0	0	23.29875	0	0	0	0
406	0	0	23.29875	0	0	0	0
407	0	0	23.29875	82.55683327	0	0.166666667	0
408	1.2	0.010875764	23.29893376	137.5947221	0.053634844	0.611111111	0.026817422
409	3.2	0.077338765	23.30088392	185.7528749	0.185894309	1.263888889	0.119764576
410	5.9	0.262906487	23.30859992	199.5123471	0.365609649	2.041666667	0.275751979
411	8.8	0.584874414	23.32551143	220.1515554	0.596595856	2.888888889	0.481102753
412	12	1.087576389	23.35686065	233.9110276	0.861184882	3.805555556	0.728890369
413	15.4	1.791177892	23.40716876	240.7907637	1.137842305	4.763888889	0.999513594
414	18.9	2.69786918	23.47965773	220.1515554	1.293227682	5.694444444	1.215534994
415	22.1	3.688772112	23.56622507	185.7528749	1.307631659	6.513888889	1.30042967
416	24.8	4.645159599	23.65555574	137.5947221	1.142835236	7.166666667	1.225233447
417	26.8	5.424589344	23.73190129	130.714986	1.190154326	7.708333333	1.166494781
418	28.7	6.221012471	23.81280237	130.714986	1.281525162	8.236111111	1.235839744
419	30.6	7.071965469	23.90215123	123.8352499	1.315879616	8.75	1.298702389
420	32.4	7.928431875	23.99483961	110.0757777	1.277991443	9.222222222	1.296935529
421	34	8.730821566	24.08398549	96.31630548	1.219571618	9.638888889	1.24878153
422	35.4	9.464633524	24.16733191	75.67709716	1.074872449	9.986111111	1.147222034
423	36.5	10.06196975	24.23638711	68.79736106	1.045276029	10.27777778	1.060074239
424	37.5	10.62086317	24.30193446	75.67709716	1.152082237	10.56944444	1.098679133
425	38.6	11.25309247	24.37712767	75.67709716	1.193461791	10.875	1.172772014
426	39.7	11.9035991	24.45560491	68.79736106	1.159643231	11.166666667	1.176552511
427	40.7	12.51082925	24.52983673	55.03788885	1.040999217	11.416666667	1.100321224
428	41.5	13.00748914	24.59122713	13.75947221	0.592045784	11.555555556	0.8165225
429	41.7	13.13316463	24.60685547	-13.75947221	0	0	0.296022892
430	41.5	13.00748914	24.59122713	-34.39868053	0	0	0
431	41	12.69594382	24.55264817	-27.151894442	0	0	0
432	40.6	12.4494265	24.5222887	-20.63920832	0	0	0
433	40.3	12.26612457	24.49981149	-6.879736106	0	0	0
434	40.2	12.20532602	24.49237459	-6.879736106	0	0	0
435	40.1	12.14467854	24.4849654	-20.63920832	0	0	0
436	39.8	11.96364238	24.46290365	-61.91762495	0	0	0
437	38.9	11.42869075	24.3982029	-96.31630548	0	0	0
438	37.5	10.62086317	24.30193446	-116.9555138	0	0	0
439	35.8	9.679731966	24.19207645	-110.0757777	0	0	0
440	34.2	8.833839219	24.09558406	-116.9555138	0	0	0
441	32.5	7.9774448339	24.00022311	-110.0757777	0	0	0
442	30.9	7.211311194	23.9170494	-103.1960416	0	0	0
443	29.4	6.528177274	23.84472273	-96.31630548	0	0	0
444	28	5.921249228	23.78202876	-103.1960416	0	0	0
445	26.5	5.303823049	23.7198811	-103.1960416	0	0	0
446	25	4.720383632	23.66279297	-103.1960416	0	0	0

Time (s)	V (km/h)	Ra (N)	Rr (N)	Fi (N)	RHP acc (kW)	s acc (m)	trapezoidal
447	23.5	4.170930978	23.61061905	-110.0757777	0	0	0
448	21.9	3.62230911	23.56021461	-103.1960416	0	0	0
449	20.4	3.1143095764	23.51771669	-68.79736106	0	0	0
450	19.4	2.842501734	23.49186097	-41.27841663	0	0	0
451	18.8	2.669395826	23.47727426	-27.51894442	0	0	0
452	18.4	2.557012932	23.46792928	-27.51894442	0	0	0
453	18	2.447046875	23.45888412	-34.39868053	0	0	0
454	17.5	2.31298798	23.4479943	-41.27841663	0	0	0
455	16.9	2.157102031	23.43552899	-34.39868053	0	0	0
456	16.4	2.031351011	23.42563557	13.75947221	0.178652757	4.583333333	0.089326378
457	16.6	2.081198262	23.42953949	75.67709716	0.46658835	4.763888889	0.322620553
458	17.7	2.366158381	23.45229504	116.9555138	0.701972005	5.152777778	0.584280178
459	19.4	2.842501734	23.49186097	103.1960416	0.698024956	5.597222222	0.699998481
460	20.9	3.299057239	23.5313814	96.31630548	0.714935264	6	0.70648011
461	22.3	3.755839322	23.57231768	61.91762495	0.552828038	6.319444444	0.633881651
462	23.2	4.065118858	23.60076088	0	0.178291225	6.444444444	0.365559632
463	23.2	4.065118858	23.60076088	-68.79736106	0	0	0.089145612
464	22.2	3.722230191	23.56926108	-130.714986	0	0	0
465	20.3	3.112356626	23.51504313	-165.1136665	0	0	0
466	17.9	2.4149932991	23.4566693	-185.7528749	0	0	0
467	15.2	1.744955895	23.40368288	-199.5123471	0	0	0
468	12.3	1.142634944	23.36056095	-206.3920832	0	0	0
469	9.3	0.653225569	23.32947628	-199.5123471	0	0	0
470	6.4	0.309355062	23.31082126	-178.8731388	0	0	0
471	3.8	0.109059743	23.30202915	-123.8352499	0	0	0
472	2	0.030210455	23.29940899	-75.67709716	0	0	0
473	0.9	0.006117617	23.29883952	-61.91762495	0	0	0
474	0	0	23.29875	0	0	0	0
475	0	0	23.29875	0	0	0	0
476	0	0	23.29875	0	0	0	0
477	0	0	23.29875	0	0	0	0
478	0	0	23.29875	0	0	0	0
479	0	0	23.29875	0	0	0	0
480	0	0	23.29875	0	0	0	0
481	0	0	23.29875	0	0	0	0
482	0	0	23.29875	0	0	0	0
483	0	0	23.29875	0	0	0	0
484	0	0	23.29875	0	0	0	0
485	0	0	23.29875	96.31630548	0	0.194444444	0
486	1.4	0.014803123	23.29902016	213.2718193	0.092005528	0.819444444	0.046002764
487	4.5	0.15294043	23.30375419	295.8286526	0.399106684	1.847222222	0.24556106
488	8.8	0.584874414	23.32551143	316.4678609	0.832035714	3.083333333	0.615571199
489	13.4	1.356147336	23.37532105	268.3097081	1.090764379	4.26388889	0.961400047
490	17.3	2.260421788	23.44376666	130.714986	0.751681033	5.069444444	0.921222706
491	19.2	2.784195556	23.4869223	34.39868053	0.323572258	5.402777778	0.537626645
492	19.7	2.931093894	23.49941341	6.879736106	0.182281054	5.486111111	0.252926656
493	19.8	2.960926719	23.5019696	61.91762495	0.486092867	5.625	0.334186961
494	20.7	3.236219492	23.52585594	199.5123471	1.301077929	6.152777778	0.893585398
495	23.6	4.206503789	23.6139474	309.5881248	2.211900665	7.180555556	1.756489297
496	28.1	5.963619392	23.78635531	323.347597	2.756122712	8.458333333	2.484011688

Time (s)	V (km/h)	Ra (N)	Rr (N)	Fi (N)	RHP acc (kW)	s acc (m)	trapezoidal
497	32.8	8.125404043	24.01652319	240.7907637	2.486720073	9.597222222	2.621421393
498	36.3	9.952003694	24.2235955	55.03788885	0.899569338	10.194444444	1.693144705
499	37.1	10.39549318	24.2753965	-137.5947221	0	0	0.449784669
500	35.1	9.304895742	24.14904655	-275.1894442	0	0	0
501	31.1	7.304963605	23.92710286	-213.2718193	0	0	0
502	28	5.921249228	23.78202876	-34.39868053	0	0	0
503	27.5	5.711664195	23.7607419	137.5947221	1.276207229	7.916666667	0.638103615
504	29.5	6.57266217	23.84937721	309.5881248	2.786194401	8.819444444	2.031200815
505	34	8.730821566	24.08398549	206.3920832	2.259176185	9.861111111	2.522685293
506	37	10.33952831	24.26882863	68.79736106	1.06278099	10.416666667	1.660978588
507	38	10.90597434	24.33570908	-130.714986	0	0	0.531390495
508	36.1	9.842641846	24.21090917	-316.4678609	0	0	0
509	31.5	7.494081055	23.94750245	-481.5815274	0	0	0
510	24.5	4.53345644	23.64486294	-481.5815274	0	0	0
511	17.5	2.31298798	23.4479943	-481.5815274	0	0	0
512	10.5	0.832675673	23.34036749	-412.7841663	0	0	0
513	4.5	0.15294043	23.30375419	-240.7907637	0	0	0
514	1	0.007552614	23.29886649	-68.79736106	0	0	0
515	0	0	23.29875	0	0	0	0
516	0	0	23.29875	0	0	0	0
517	0	0	23.29875	0	0	0	0
518	0	0	23.29875	199.5123471	0	0.402777778	0
519	2.9	0.063517482	23.30041839	350.8665414	0.30146344	1.513888889	0.15073172
520	8	0.483367284	23.31983762	550.3788885	1.275960207	3.333333333	0.788711824
521	16	1.933469136	23.4180396	550.3788885	2.558801765	5.555555556	1.917380986
522	24	4.350305556	23.62747348	550.3788885	3.855711117	7.777777778	3.207256441
523	32	7.733876543	23.97355388	467.8220552	4.440262094	9.833333333	4.147986606
524	38.8	11.37000694	24.39115062	295.8286526	3.573801287	11.375	4.007031691
525	43.1	14.02981094	24.71942848	199.5123471	2.85252066	12.375	3.213160974
526	46	15.98133083	24.9705996	103.1960416	1.841890753	12.986111111	2.347205707
527	47.5	17.04058491	25.11024296	0	0.556156757	13.194444444	1.199023755
528	47.5	17.04058491	25.11024296	-185.7528749	0	0	0.278078378
529	44.8	15.15839802	24.86368989	-323.347597	0	0	0
530	40.1	12.14467854	24.4849654	-433.4233747	0	0	0
531	33.8	8.628408123	24.0724888	-454.062583	0	0	0
532	27.2	5.587725802	23.74824502	-495.3409996	0	0	0
533	20	3.021045525	23.50714036	-495.3409996	0	0	0
534	12.8	1.237420247	23.36703535	-399.0246941	0	0	0
535	7	0.370078077	23.31385246	-330.2273331	0	0	0
536	2.2	0.036554651	23.29958629	-151.3541943	0	0	0
537	0	0	23.29875	0	0	0	0
538	0	0	23.29875	0	0	0	0
539	0	0	23.29875	0	0	0	0
540	0	0	23.29875	0	0	0	0
541	0	0	23.29875	185.7528749	0	0.375	0
542	2.7	0.055058555	23.30014544	364.6260136	0.290985913	1.486111111	0.145492957
543	8	0.483367284	23.31983762	550.3788885	1.275960207	3.333333333	0.78347306
544	16	1.933469136	23.4180396	550.3788885	2.558801765	5.555555556	1.917380986
545	24	4.350305556	23.62747348	550.3788885	3.855711117	7.777777778	3.207256441
546	32	7.733876543	23.97355388	357.7462775	3.461810737	9.611111111	3.658760927

Time (s)	V (km/h)	Ra (N)	Rr (N)	Fi (N)	RHP acc (kW)	s acc (m)	trapezoidal
547	37.2	10.4516091	24.28199099	220.1515554	2.633813273	10.77777778	3.047812005
548	40.4	12.32707416	24.50727611	185.7528749	2.497923304	11.59722222	2.565868289
549	43.1	14.02981094	24.71942848	103.1960416	1.699400448	12.18055556	2.098611876
550	44.6	15.02335729	24.84628248	41.27841663	1.005334254	12.47222222	1.352367351
551	45.2	15.43029212	24.89885585	6.879736106	0.592733767	12.56944444	0.799034011
552	45.3	15.49864328	24.90772068	6.879736106	0.595016759	12.59722222	0.593875263
553	45.4	15.56714548	24.91661492	6.879736106	0.597306317	12.625	0.596161538
554	45.5	15.63579874	24.92553859	6.879736106	0.599602456	12.65277778	0.598454387
555	45.6	15.70460306	24.93449173	6.879736106	0.601905191	12.68055556	0.600753824
556	45.7	15.77355842	24.94347436	6.879736106	0.604214538	12.70833333	0.603059865
557	45.8	15.84266484	24.95248653	6.879736106	0.606530513	12.73611111	0.605372526
558	45.9	15.9119223	24.96152827	6.879736106	0.60885313	12.76388889	0.607691822
559	46	15.98133083	24.9705996	6.879736106	0.611182406	12.79166667	0.610017768
560	46.1	16.0508904	24.97970056	6.879736106	0.613518355	12.81944444	0.61235038
561	46.2	16.12060102	24.98883118	6.879736106	0.615860993	12.84722222	0.614689674
562	46.3	16.1904627	24.99799149	6.879736106	0.618210336	12.875	0.617035665
563	46.4	16.26047543	25.00718153	20.63920832	0.797910708	12.93055556	0.708060522
564	46.7	16.47141994	25.03493031	34.39868053	0.984656927	13.04166667	0.891283818
565	47.2	16.82601515	25.08177578	55.03788885	1.271065579	13.22222222	1.127861253
566	48	17.40122222	25.15829083	61.91762495	1.393028507	13.45833333	1.332047043
567	48.9	18.05988567	25.2466864	61.91762495	1.429295343	13.70833333	1.411161925
568	49.8	18.73078436	25.33755637	48.15815274	1.275799826	13.93055556	1.352547585
569	50.5	19.26105337	25.40995823	34.39868053	1.10917207	14.09722222	1.192485948
570	51	19.64434852	25.46260455	6.879736106	0.736478097	14.18055556	0.922825084
571	51.1	19.72146071	25.47322729	-6.879736106	0	0	0.368239048
572	51	19.64434852	25.46260455	-41.27841663	0	0	0
573	50.4	19.1848475	25.39952222	-96.31630548	0	0	0
574	49	18.13382576	25.25666046	-158.2339304	0	0	0
575	46.7	16.47141994	25.03493031	-185.7528749	0	0	0
576	44	14.62186034	24.79475938	-199.5123471	0	0	0
577	41.1	12.75795078	24.56030788	-192.632611	0	0	0
578	38.3	11.07885367	24.35629672	-199.5123471	0	0	0
579	35.4	9.464633524	24.16733191	-247.6704998	0	0	0
580	31.8	7.637505191	23.96305944	-309.5881248	0	0	0
581	27.3	5.628887548	23.75238781	-337.1070692	0	0	0
582	22.4	3.789599506	23.5753949	-323.3475979	0	0	0
583	17.7	2.366158381	23.45229504	-295.8286526	0	0	0
584	13.4	1.356147336	23.37532105	-282.0691803	0	0	0
585	9.3	0.653225569	23.32947628	-261.429972	0	0	0
586	5.5	0.228466568	23.30701436	-240.7907637	0	0	0
587	2	0.030210455	23.29940899	-137.5947221	0	0	0
588	0	0	23.29875	0	0	0	0
589	0	0	23.29875	0	0	0	0
590	0	0	23.29875	0	0	0	0
591	0	0	23.29875	0	0	0	0
592	0	0	23.29875	0	0	0	0
593	0	0	23.29875	0	0	0	0
594	0	0	23.29875	0	0	0	0
595	0	0	23.29875	0	0	0	0
596	0	0	23.29875	0	0	0	0

Time (s)	V (km/h)	Ra (N)	Rr (N)	Fi (N)	RHP acc (kW)	s acc (m)	trapezoidal
597	0	0	23.29875	0	0	0	0
598	0	0	23.29875	0	0	0	0
599	0	0	23.29875	0	0	0	0
600	0	0	23.29875	0	0	0	0

BIODATA PENULIS



Penulis dilahirkan di Medan, 15 September 1998, merupakan anak kedua dari dua bersaudara. Penulis menempuh pendidikan formal yaitu di SD Muhammadiyah 15 Surabaya, SMP Al-Hikmah Surabaya, dan SMA Al-Hikmah Surabaya. Setelah lulus dari SMA Al-Hikmah Surabaya, penulis melanjutkan pendidikannya di Departemen Teknik Mesin Institut Teknologi Sepuluh Nopember. Penulis diterima di Departemen Teknik Mesin ITS pada tahun 2016

melalui jalur SNMPTN. Selama penulis menjalani pendidikannya di Departemen Teknik Mesin ITS, penulis aktif dalam beberapa kegiatan maupun organisasi ditingkat departemen hingga institut. Jika ingin menghubungi penulis dapat melalui email: sitaangga@gmail.com.